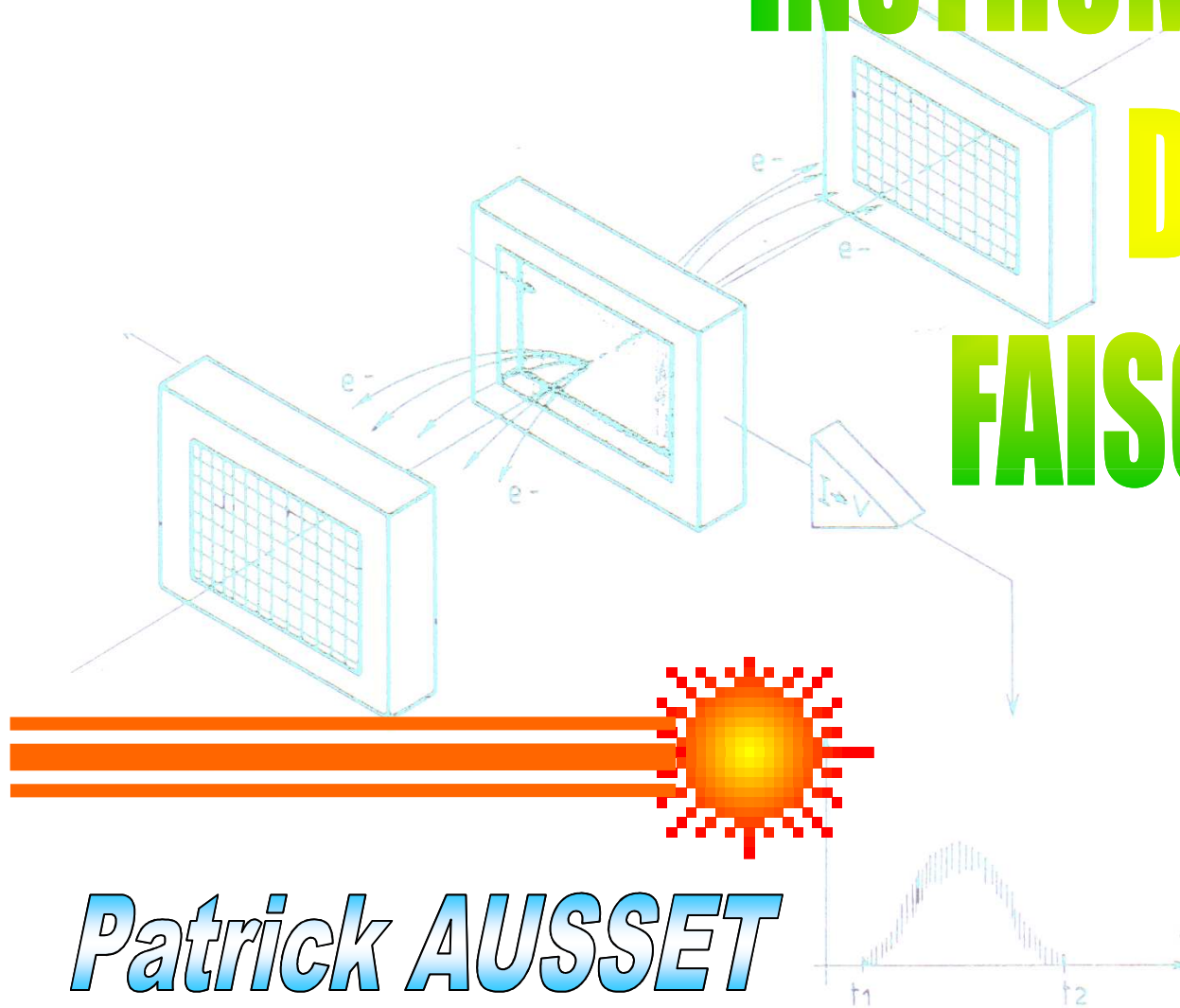


INSTRUMENTATION DES FAISCEAUX



Patrick AUSSET



SOMMAIRE

1° INTRODUCTION

ॐ **Accélérateurs de particules et nécessité des diagnostics de faisceau**

2° GENERALITES SUR LES DIAGNOSTICS DE FAISCEAU

ॐ **Caractéristiques physiques essentielles d'un faisceau de particules chargées accélérées**

ॐ **Mesures à effectuer. Les phénomènes physiques utilisés pour la mesure des faisceaux**

ॐ **Les perturbations apportées au faisceau**

ॐ **Les contraintes de mesure liées à l'environnement**

3° LES CAPTEURS DE FAISCEAU ASSOCIES AUX MESURES FONDAMENTALES

ॐ **Intensité du faisceau**

a) Capteurs destructifs: cage de Faraday, détecteur à émission secondaire

b) Capteurs non destructifs: transformateurs de courant, « wall current monitor », électrode capacitive.

ॐ **Mesure de phase, mesure de longueur de bunch, mesure de l'énergie**

SOMMAIRE 2/2

4° AUTRES DETECTEURS, AUTRES MESURES

- ॐ **Multiplicateurs de charges: Multiplicateurs d'électrons.**
- ॐ **Amplificateurs de lumière: Photomultiplicateurs.**
- ॐ **Dispositifs à transfert de charges. Caméra CCD**
- ॐ **Caméra à balayage de fente**

5° MONITEURS DE PERTES DE FAISCEAU

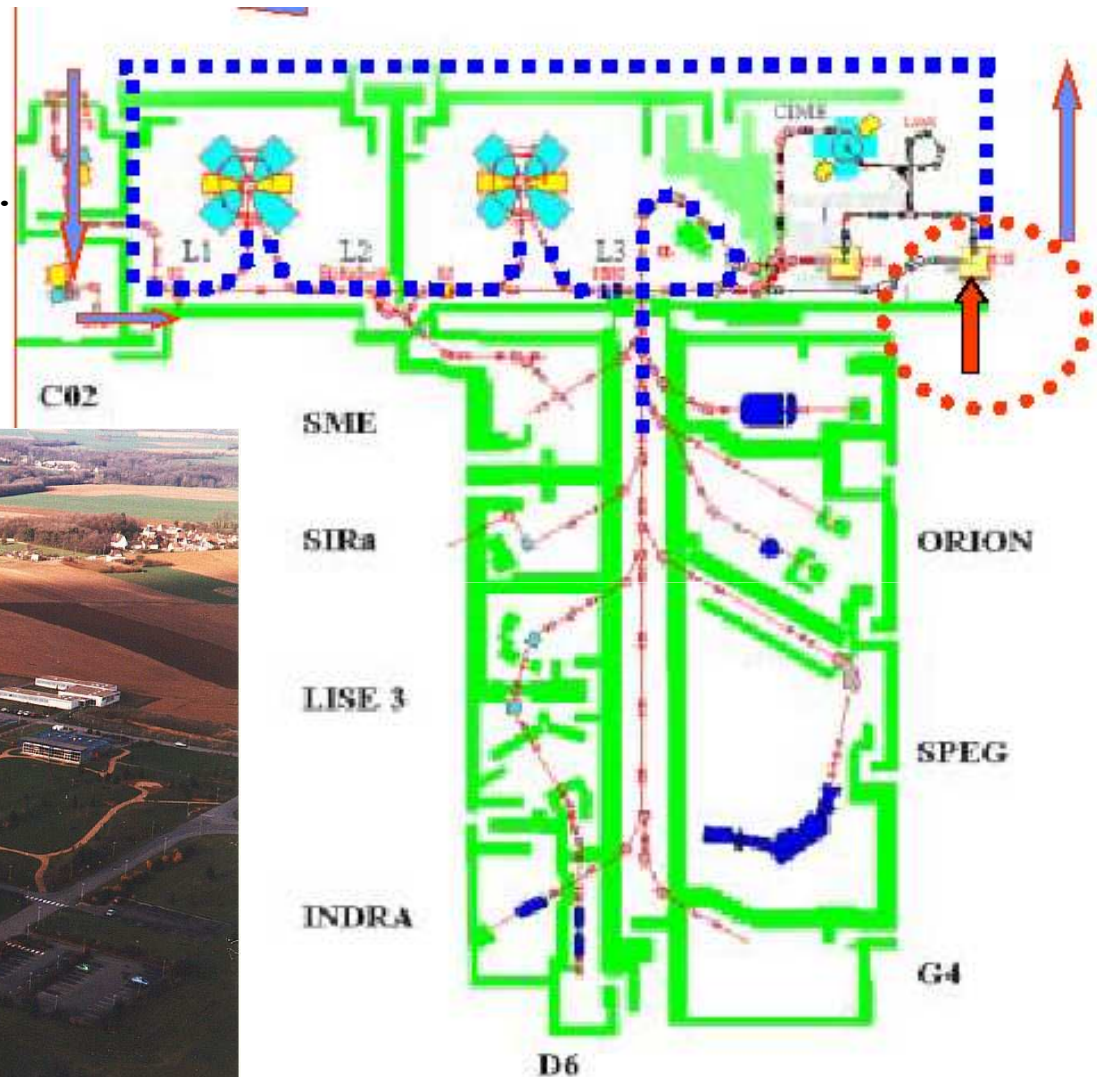
- ॐ **Contrôle du faisceau dans les accélérateurs. Pertes de faisceau**
- ॐ **Mesures à effectuer. Exemples de détecteurs**

Cyclotron: Le GANIL (CAEN)

Faisceaux stables < 100 MeV/u
par cyclotrons à secteurs séparés

Faisceaux radioactifs postaccélérés:
SPIRAL Ganil=Driver, CIME=postacc.

Projet futur "SPIRAL-2"



Accélérateurs circulaires: Synchrotron

1945: Veksler et Mc Millan inventent le synchrotron

1946: Goward et Barnes construisent le premier synchrotron

1949: Mc Millan construit un synchrotron à électron

La trajectoire est à rayon constant :

$$\rho = \left| \frac{p(t)}{q \cdot B(r,t)} \right|$$

Le champ B est variable

$$\omega_{RF} = 2 \cdot \pi \cdot f = 2 \cdot \pi \cdot \frac{v_{particule}}{L} \cdot n$$

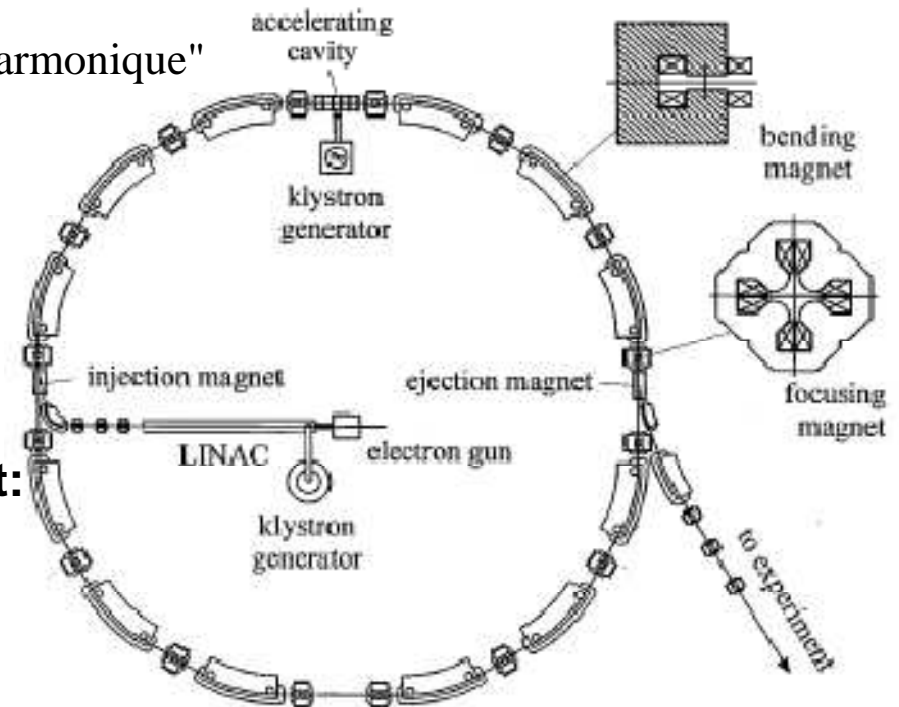
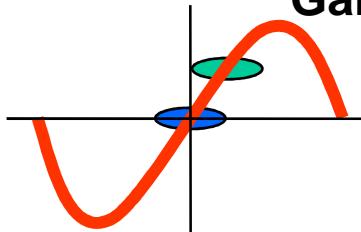
n : "nombre harmonique"

$\Rightarrow \omega_{RF}$ varie avec $v_{particule}$

$\Rightarrow v_{particule} = cte$ alors $\omega = cte$

Gain d'énergie par tour constant:

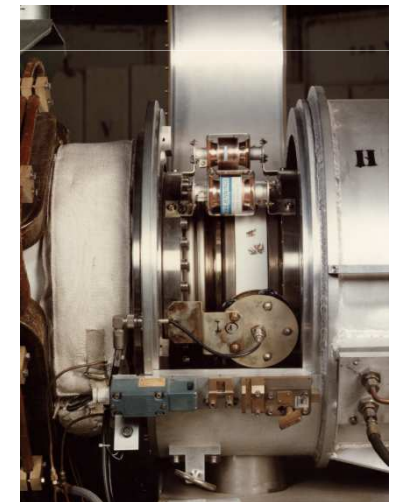
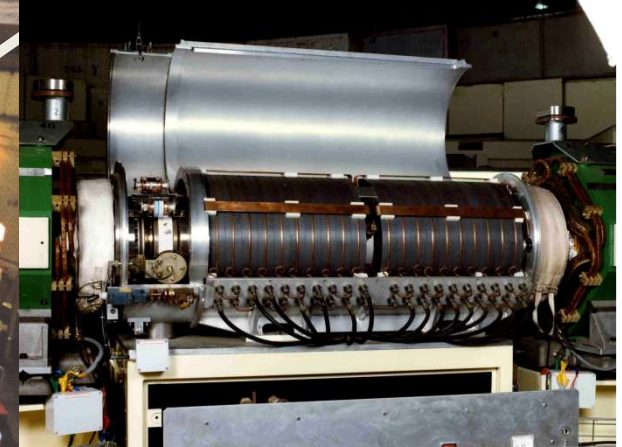
$$\Delta E = q V_0 \sin \phi_s$$



Accélérateurs circulaires à ions: Synchrotron à hadrons



R.F.: 2 Cav. ferrite $\lambda/4$
160 KHz-2,5 MHz



Synchrotron MIMAS:

circonférence de $\sim 30\text{m}$

Proton: (750 keV ; 375 keV) - 47 MeV

Ions lourds: 187 keV - 12 MeV

Champ magnétique

Dipôle: Induction 0,08 T- 0,97 T

Q-pôle: 0.041 T/m 1, 847 T/m

Accélérateurs circulaires à ions: Collisionneurs

1943

R. Wideroe again.. “...I had thus come upon *a simple method for improving the exploitation of particle energies available .. for nuclear reactions*. As with cars (collisions), when a target particle (at rest) is bombarded, a considerable portion of the kinetic energy (of the incident particle) is used to hurl it (or the reaction products) away.

Only a relatively small portion of the accelerated particle’s energy is used to actually to split or destroy the colliding particles. However, *when the collision is frontal, most of the available kinetic energy can be exploited.*

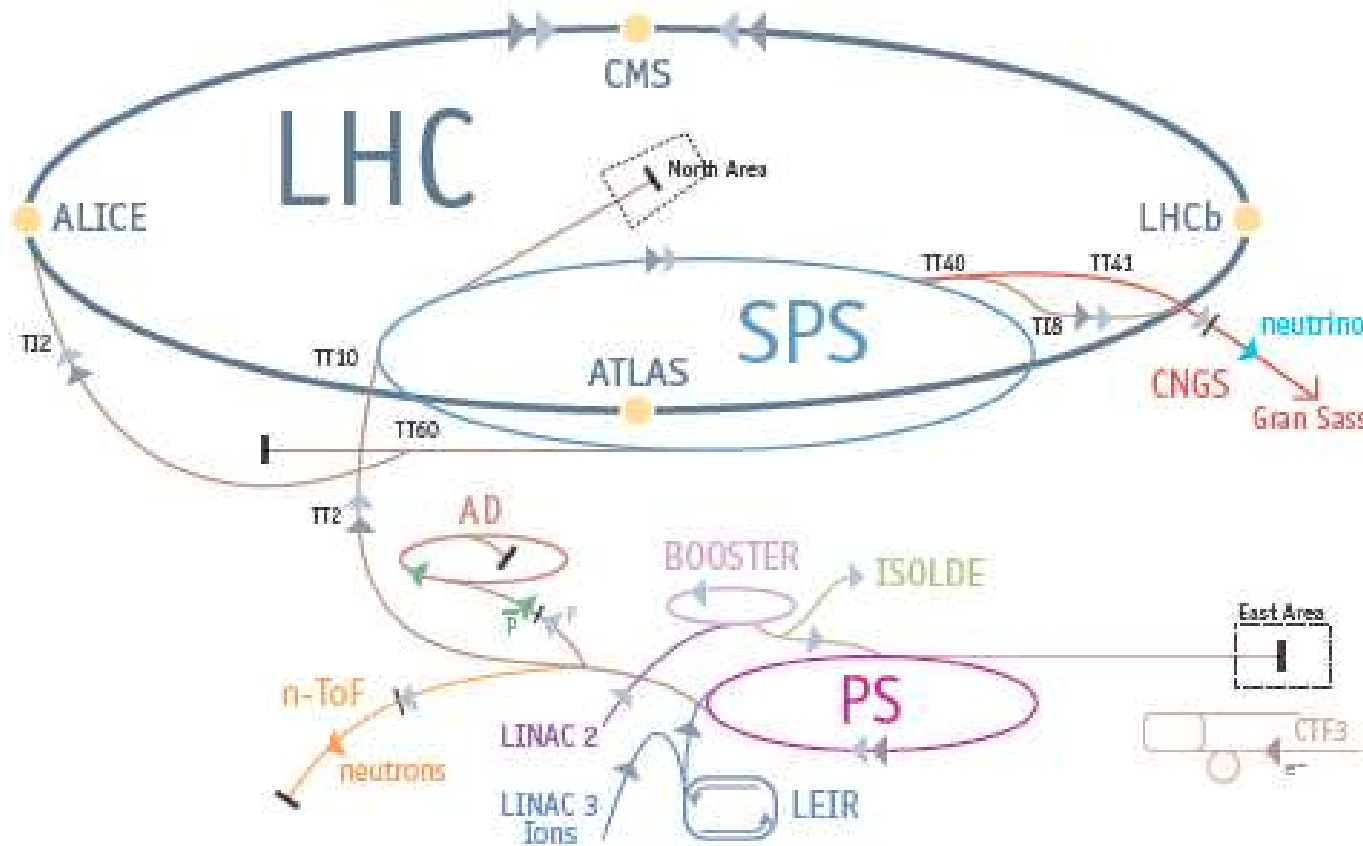
For nuclear particles, relativistic mechanics must be applied, and .. the effect .. be even greater “.

In addition :

“... If it were possible to *store the particles in rings for longer periods*, and if these ‘stored’ particles were *made to run in opposite directions*, the result would be one opportunity for collision at each revolution.

Because the accelerated particles would move very quickly they would make many thousand revolutions per second and one could expect to obtain a collision rate that would be sufficient for many interesting experiments.”

Accélérateurs circulaires à ions: Synchrotron à hadrons



LHC:
 protons 7 TeV
 Pb 54+: 2,76 TeV / A

SPS: 450 GeV

P.S. : 24 GeV

BOOSTER: 1,4 GeV

- 1232 dipôles principaux cryogéniques: 1,9°K; 8,33 T max; 11700 A. - 392 Qpôles
- Energie stockée dans les aimants: 11 GJ
- 8 cavités supra (4,5°K) RF par faisceau. Champ 5 M V/m . 400 MHz
- Durée de remplissage: 4'20'' par anneau. Durée accélération: 20'. Durée vie: 10 h
- Faisceau: 2808 bunches x $1,1 \cdot 10^{11}$ p/bunch - 25 ns entre bunch - Energie: 350 MJ
- Luminosité: 10^{34} cm⁻².s⁻¹. - $600 \cdot 10^6$ collisions par seconde

Accélérateurs circulaires à ions: Synchrotron à électrons LEP2

L.E.P. pas une source R.S. mais un collisionneur

Électron – positon $2 \times 100 \text{ GeV}$

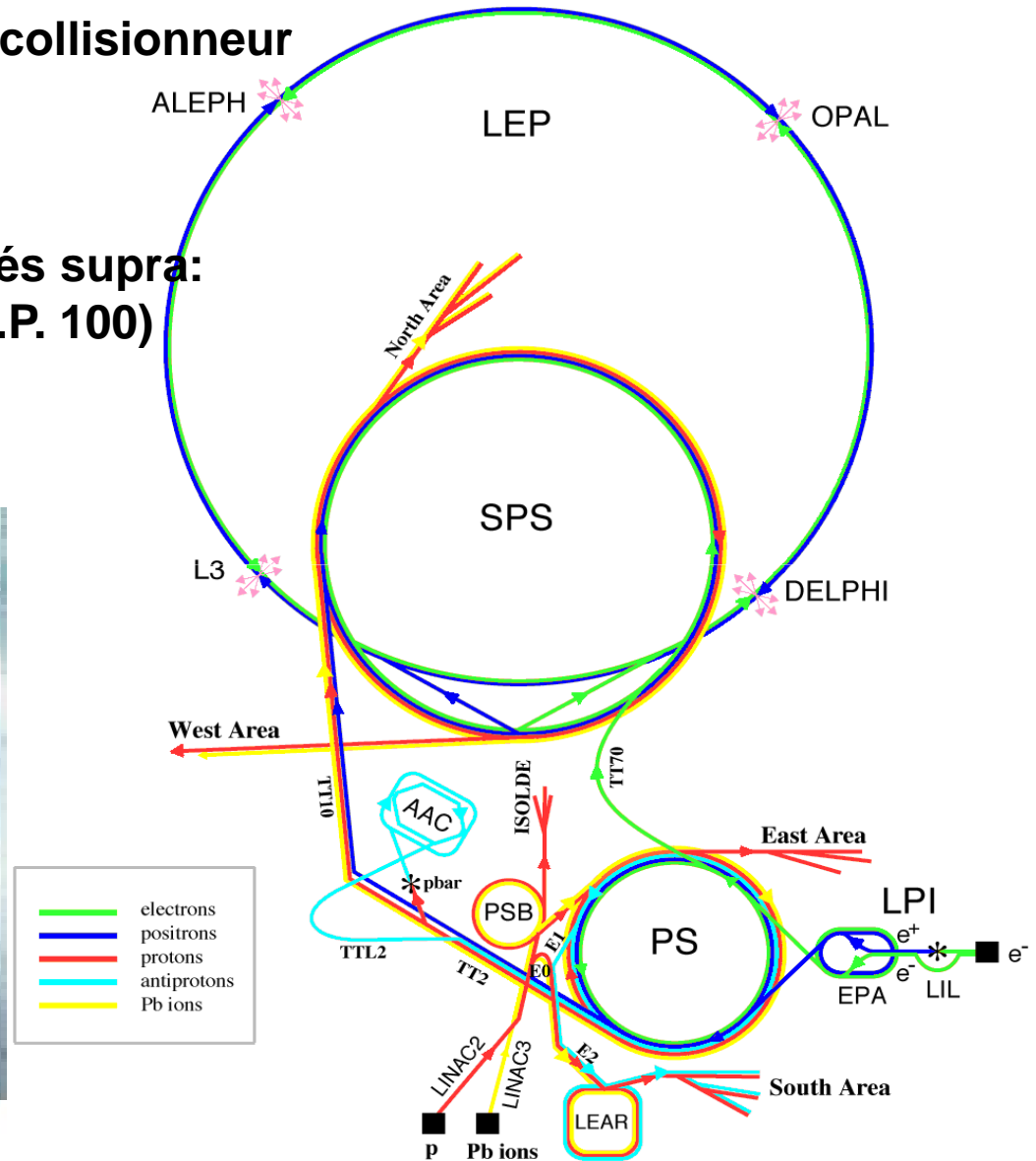
- $R = 3100 \text{ m}$ et $B = 0,107 \text{ T}$ à 100 GeV

- Sept 1999: 208 GeV avec 272 cavités supra:

- Perte énergie / tour: 2.85 GeV (L.E.P. 100)

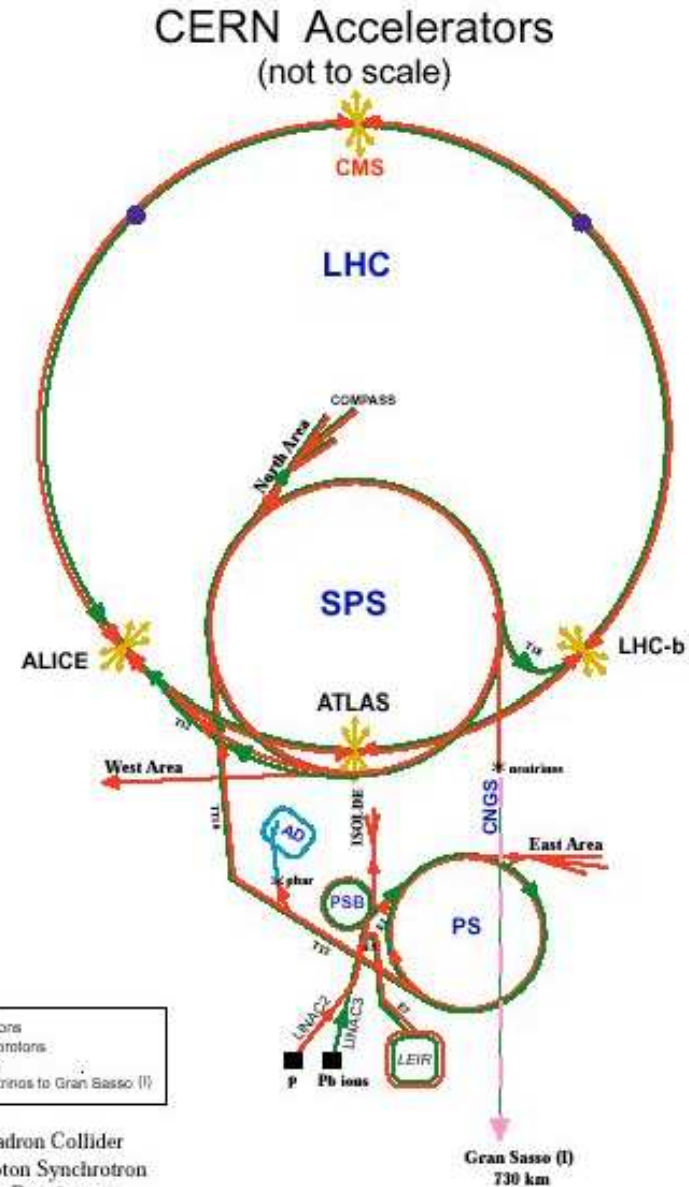


LEP Tunnel, 27 Km circumference



Très grande installation:

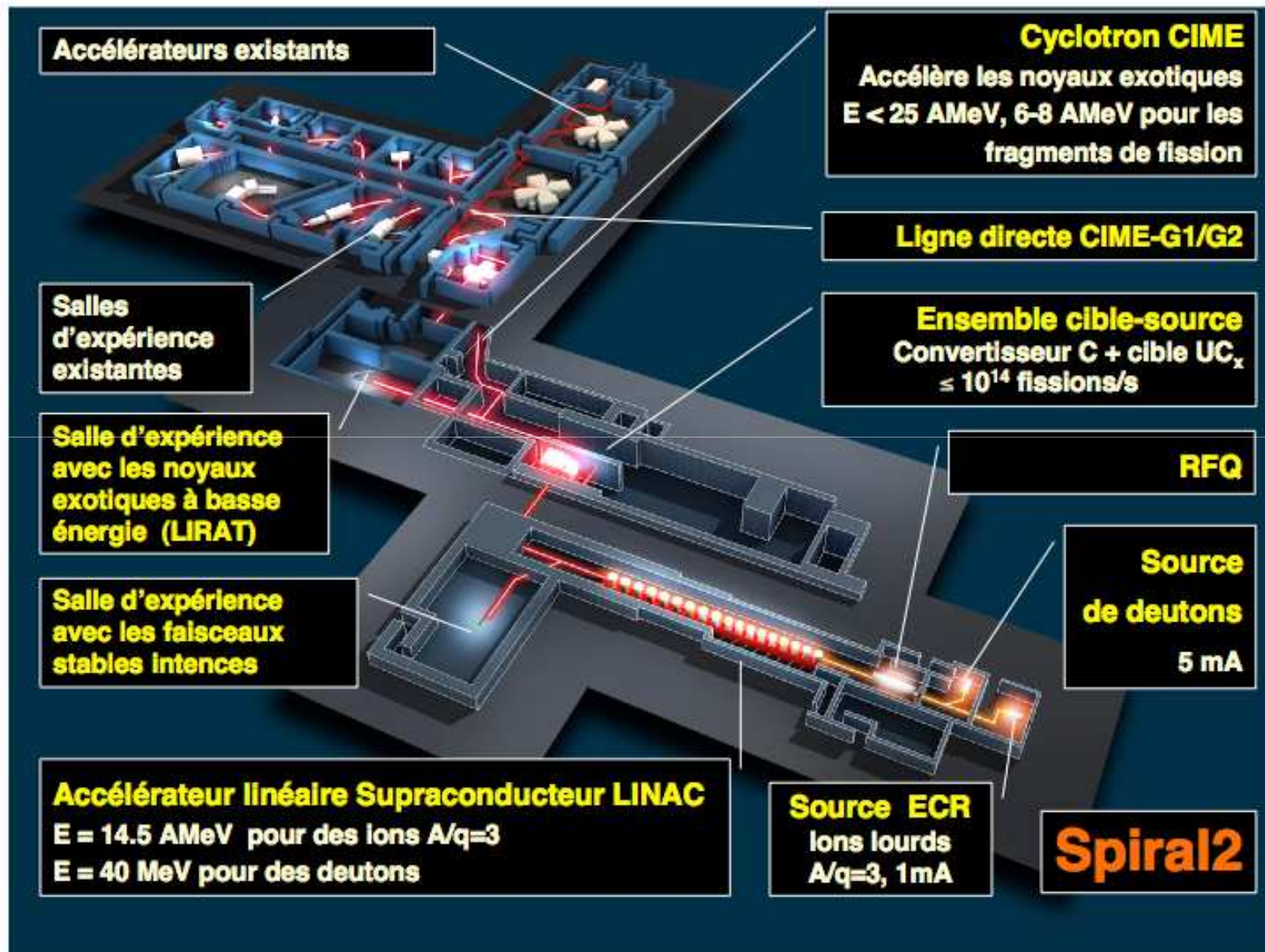
Futur collisionneur: L.H.C.
C.E.R.N.
(physique des particules)



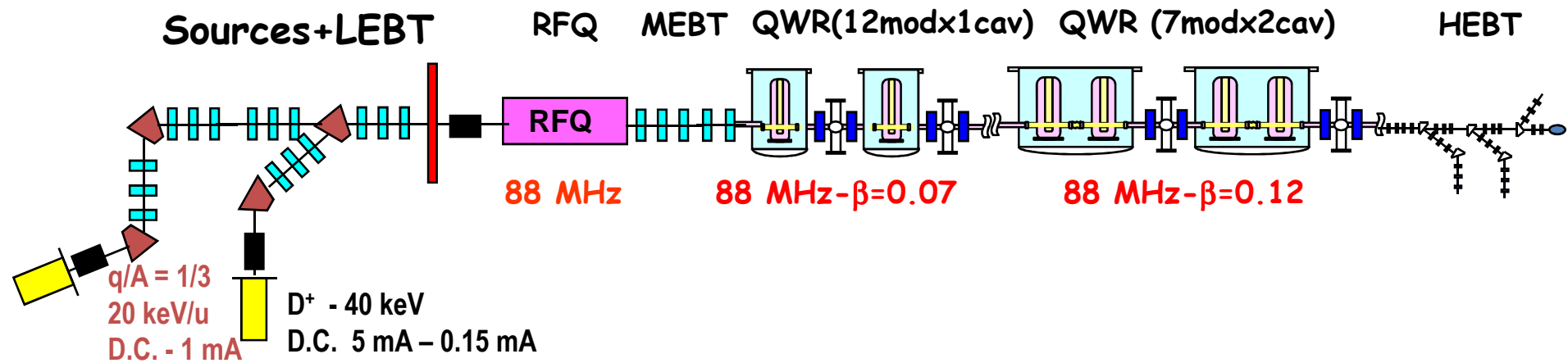
LHC: Large Hadron Collider
SPS: Super Proton Synchrotron
AD: Antiproton Decelerator
ISOLDE: Isotope Separator OnLine DEvice
PSB: Proton Synchrotron Booster
PS: Proton Synchrotron
LINAC: LINear ACcelerator
LEIR: Low Energy Ion Ring
CNGS: Cern Neutrinos to Gran Sasso

Redell, LEIR, PS Division, CERN, 02.05.08
Revised and adapted by Antonello Del Hone, IPT Div.,
in collaboration with B. Desforges, SL Div., and
D. Abujarraf, PS Div., CERN, 23.05.08

Exemple de machine pour la physique nucléaire: SPIRAL 2



Exemple de machine pour la physique nucléaire: SPIRAL 2

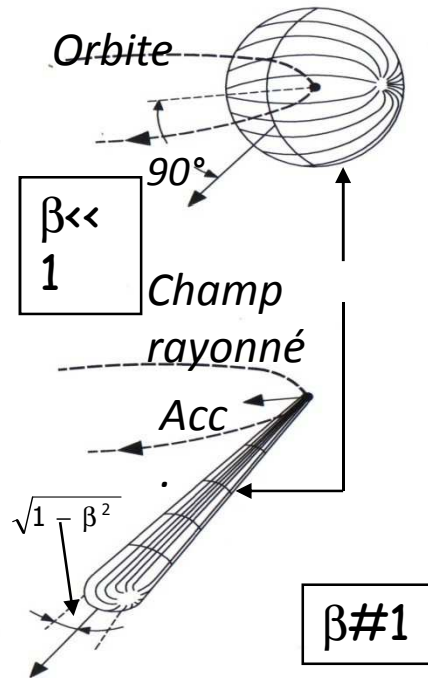
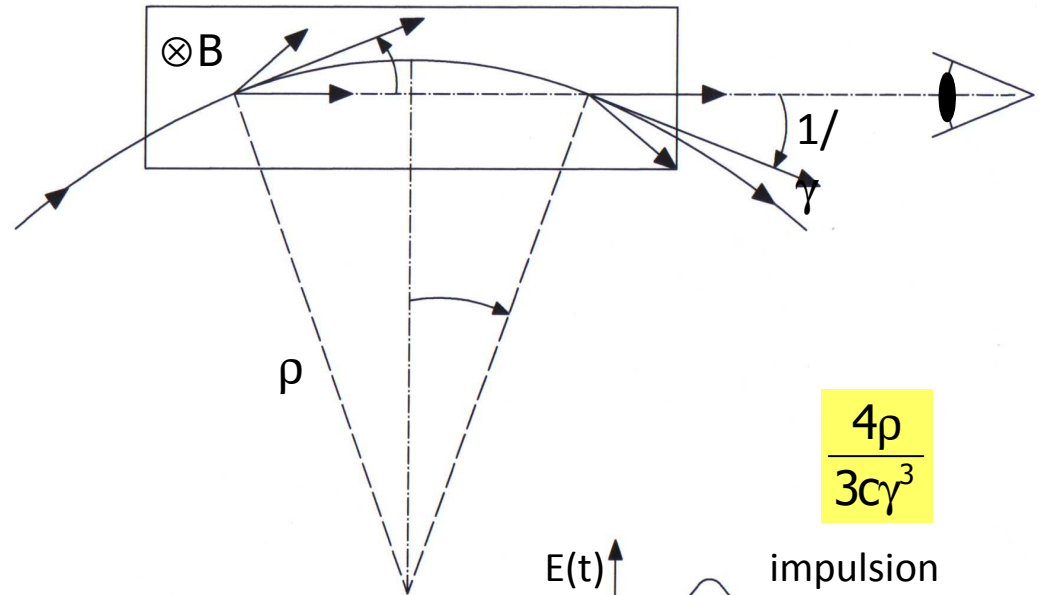
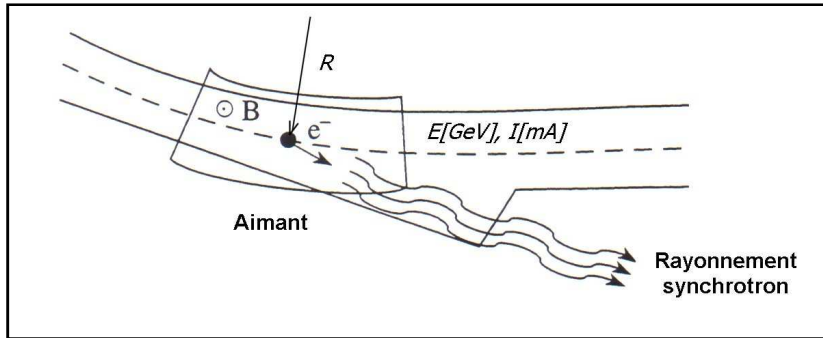


Deutons: 40 MeV; 5 mA

Ions lourds: $Q/A = 1/3$; 14.5 MeV/A

Faisceaux radio actifs: 10^{14} fissions /s

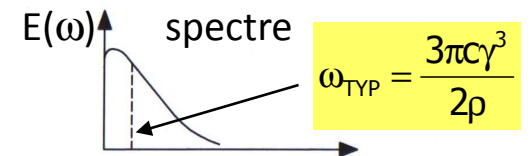
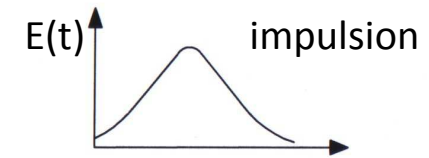
Accélérateurs circulaires: Rayonnement Synchrotron



Perte d'énergie par tour:

$$\Delta E(\text{keV}) = 88,5 \cdot \frac{E^4(\text{GeV})}{\rho(\text{m})}$$

$$\frac{4\rho}{3c\gamma^3}$$



$$\theta \approx \frac{1}{\gamma} = \frac{511}{E[\text{keV}]} \quad \text{vitesse proche de } c$$

Accélérateurs circulaires: Limites du synchrotron



Limite acceleration de proton dans LHC:

$$\rho = \left| \frac{p(t)}{q \cdot B(r,t)} \right|$$

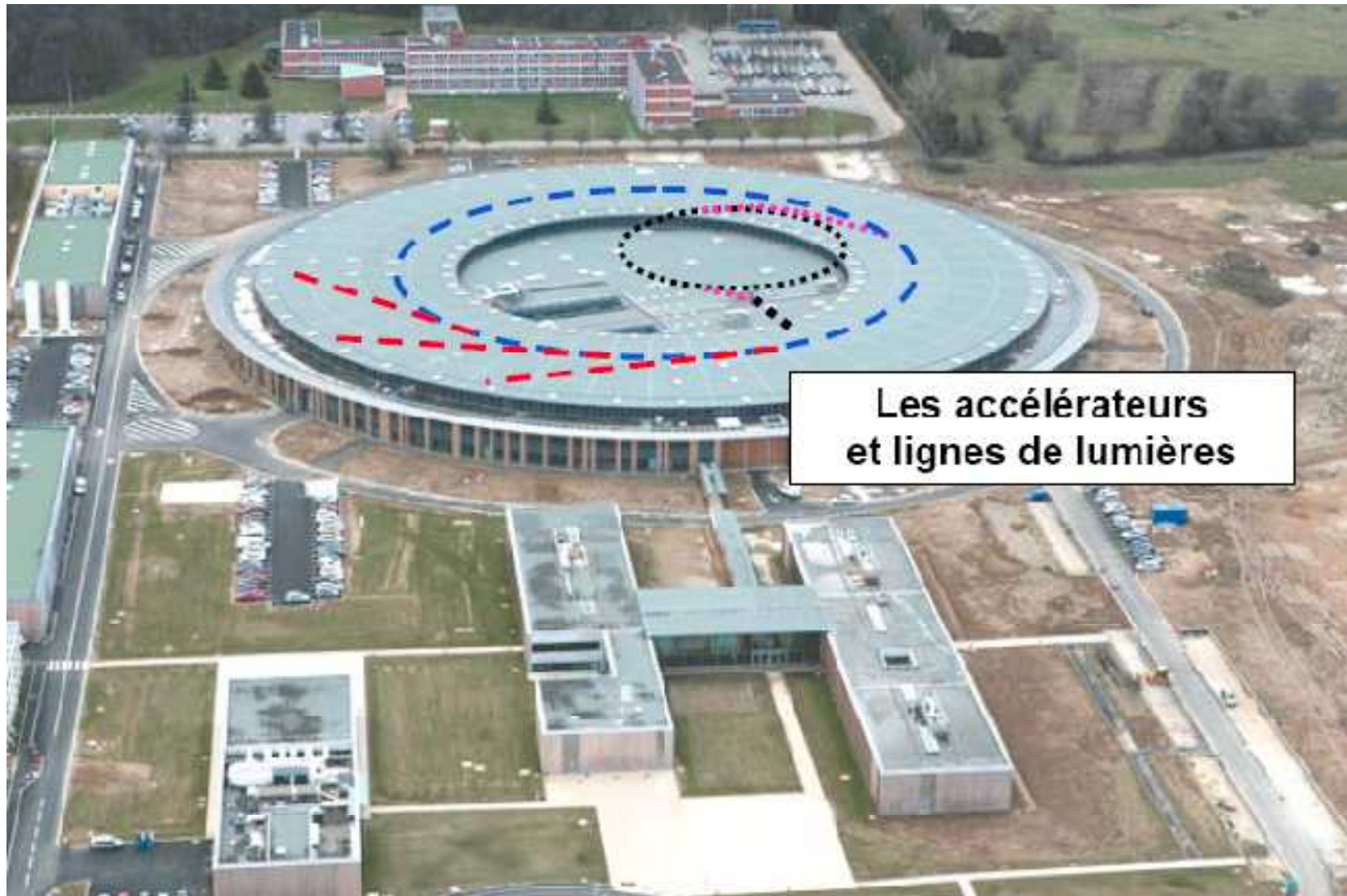
Augmenter Rayon (?)

Rayonnement synchrotron: $\Delta E \approx 6,65 \text{ keV} / \text{tour}$

Limite acceleration e- dans LEP: puissance rayonnée / tour : $\sim 20 \text{ MW}$

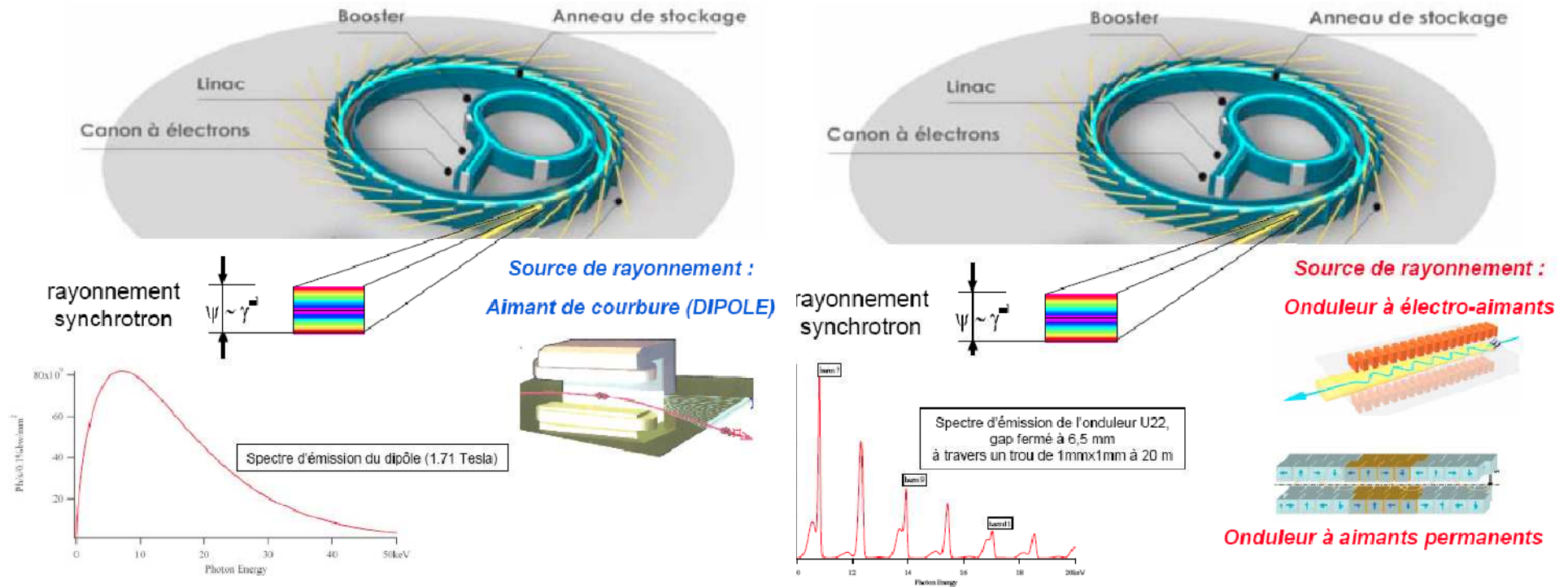
=>Solution : Accélérer des e- en ligne droite!

Accélérateurs à rayonnement synchrotron



Les accélérateurs
et lignes de lumières

Accélérateurs à rayonnement synchrotron: Synchrotron Soleil



Anneau de stockage:

Circonférence: 354,1m
 Energie: 2,75 GeV
 Fréquence : 0,846 MHz
 I faisceau= 500 mA

Anneau booster:

Circonférence: 157m

LINAC:

500 mA dans 416 bunch
 100 mA dans 8 bunch

Ligne de lumière:

43 lignes possibles:
 11 en operation: oct 2007
 21 lignes sur onduleur

Accélérateurs de particules chargées: Cavité supraconductrice

→ Un **supraconducteur** (SC) est un matériau qui a la propriété de transporter un courant électrique sans aucune perte.

Il a une **résistivité strictement nulle** !!! ($\rho = 0$)

→ Le phénomène de supraconductivité a été observé pour la première fois en **1911 par Kamerlingh Onnes** en mesurant la résistance d'un échantillon de mercure dans l'hélium liquide

→ La supraconductivité n'apparaît qu'**en dessous d'une certaine température**, appelée température critique (T_c) pour plusieurs matériaux

Matériau	Ti	Al	Sn	Hg	Pb	Nb	Nb ₃ Sn	YBa ₂ Cu ₃ O ₇
T_c [K]	0,4	1,14	3,72	4,15	7,9	9,2	18	92

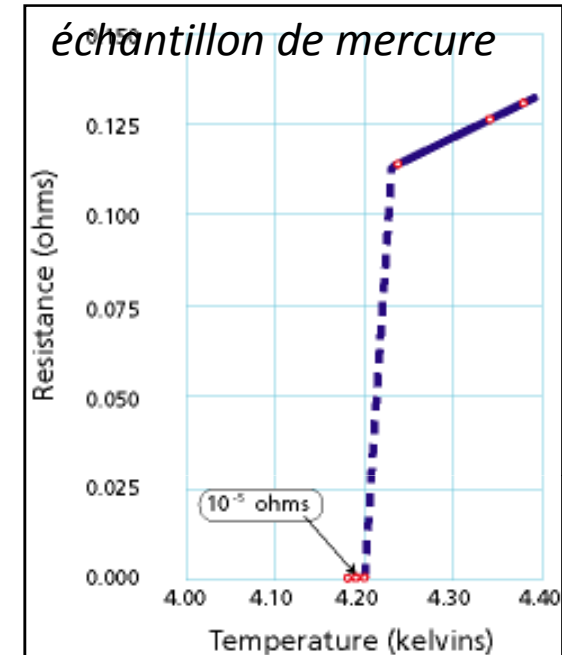
Hélium liquide

→ **4,2 K**

Azote liquide

→ **77 K**

La mesure effectuée par K. Onnes en 1911 sur un échantillon de mercure



AVANTAGE INTRINSEQUE des cavités froides :

Dissipations quasi-négligeables sur les parois de la cavité (grâce à la supraconductivité)

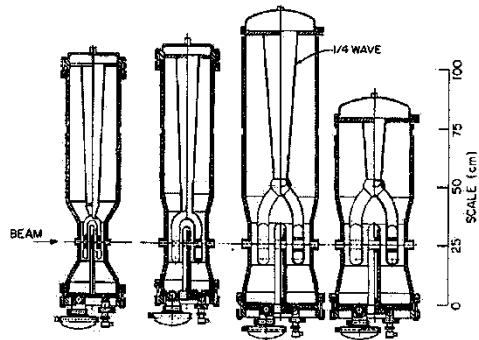
⇒ ~100% puissance RF injectée est fournie au faisceau : **EXCELLENT RENDEMENT RF !!!**

Accélérateurs de particules chargées: Cavité supraconductrice

$\beta = 0,01$

$\beta = 0,1$

$\beta = 1$



Structures inter-digitales (ATLAS, Argonne)

48 et 72 MHz - $\beta = 0,009$ à $0,037$



Résonateurs quart d'onde (ALPI, Legnaro)

80 à 352 MHz - $\beta = 0,047$ à $0,25$

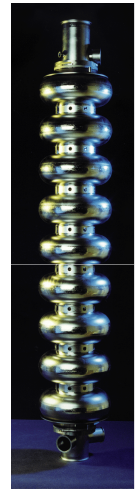
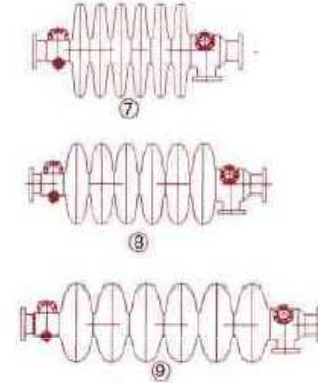
Cavité ré-entrante (Legnaro)

352 MHz - $\beta \geq 0,1$



Cavités elliptiques

350 MHz à 3 GHz - $\beta = 0,47$ à 1



Cavité TTF

1,3 GHz - $\beta = 1$



RFQs supra (Legnaro)

80 MHz - $\beta = 0,009$ à $0,035$



Résonateurs split-ring (ATLAS, Argonne)

97 et 145 MHz - $\beta = 0,06$ à $0,16$



Résonateur demi-onde (Argonne)

355 MHz - $\beta = 0,12$



Cavités spoke (CNRS Orsay)

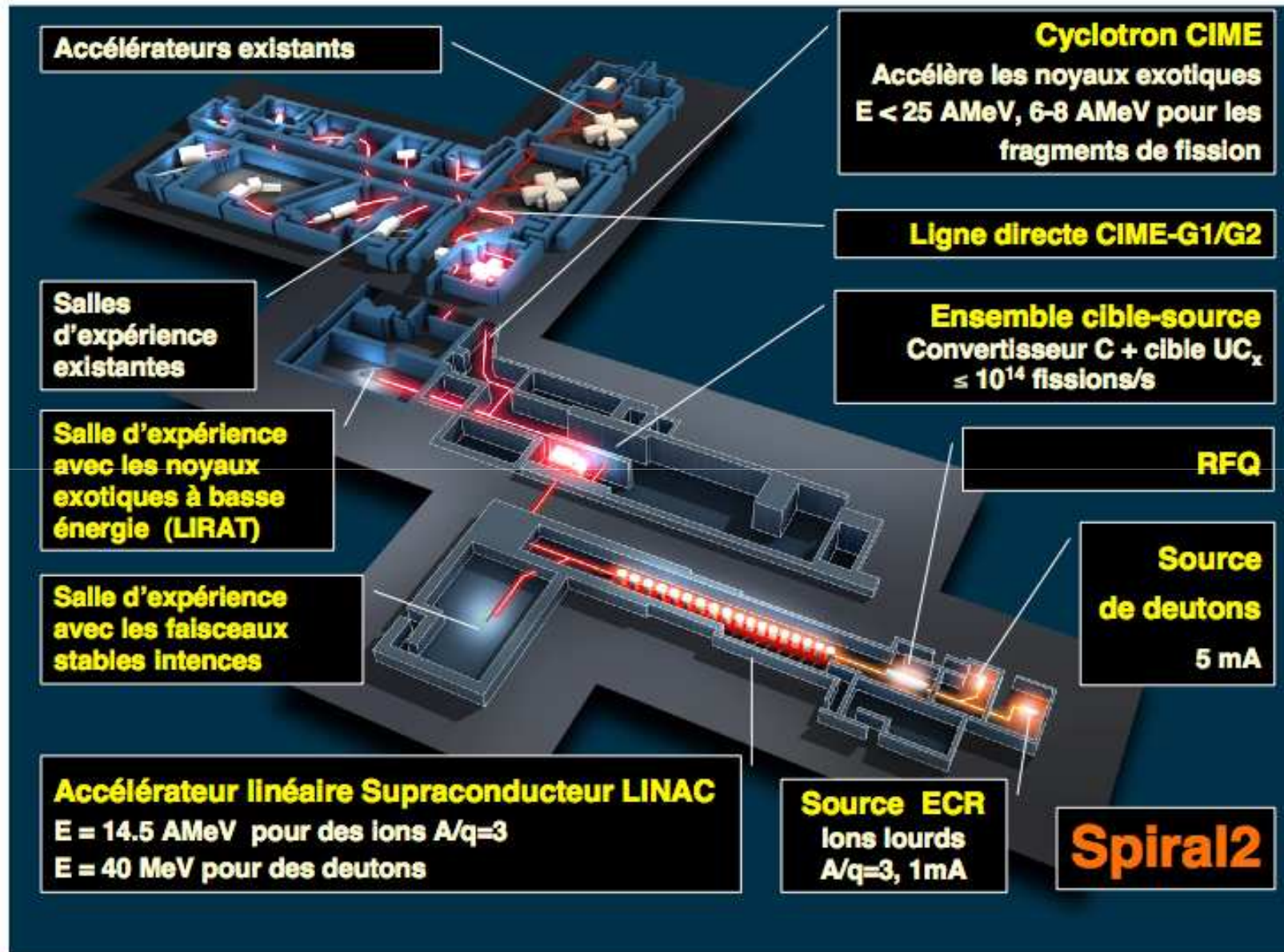
352 MHz - $\beta = 0,15$ et $0,35$



Cavité APT (Los Alamos)

700 MHz - $\beta = 0,64$

Accélérateurs à cavités supra conductrices



Accélérateurs : perspectives

HESR: \Rightarrow novel 8 MeV cooler required
pbar-p collisions à 1-15 GeV
 QCD spectroscopy

SIS 100: high current low charge states
 \rightarrow goal e.g. 10^{12} U^{28+} at 1 GeV/u

SIS 300: stretcher with slow extraction
 high energy e.g. 34 GeV/u U^{92+}

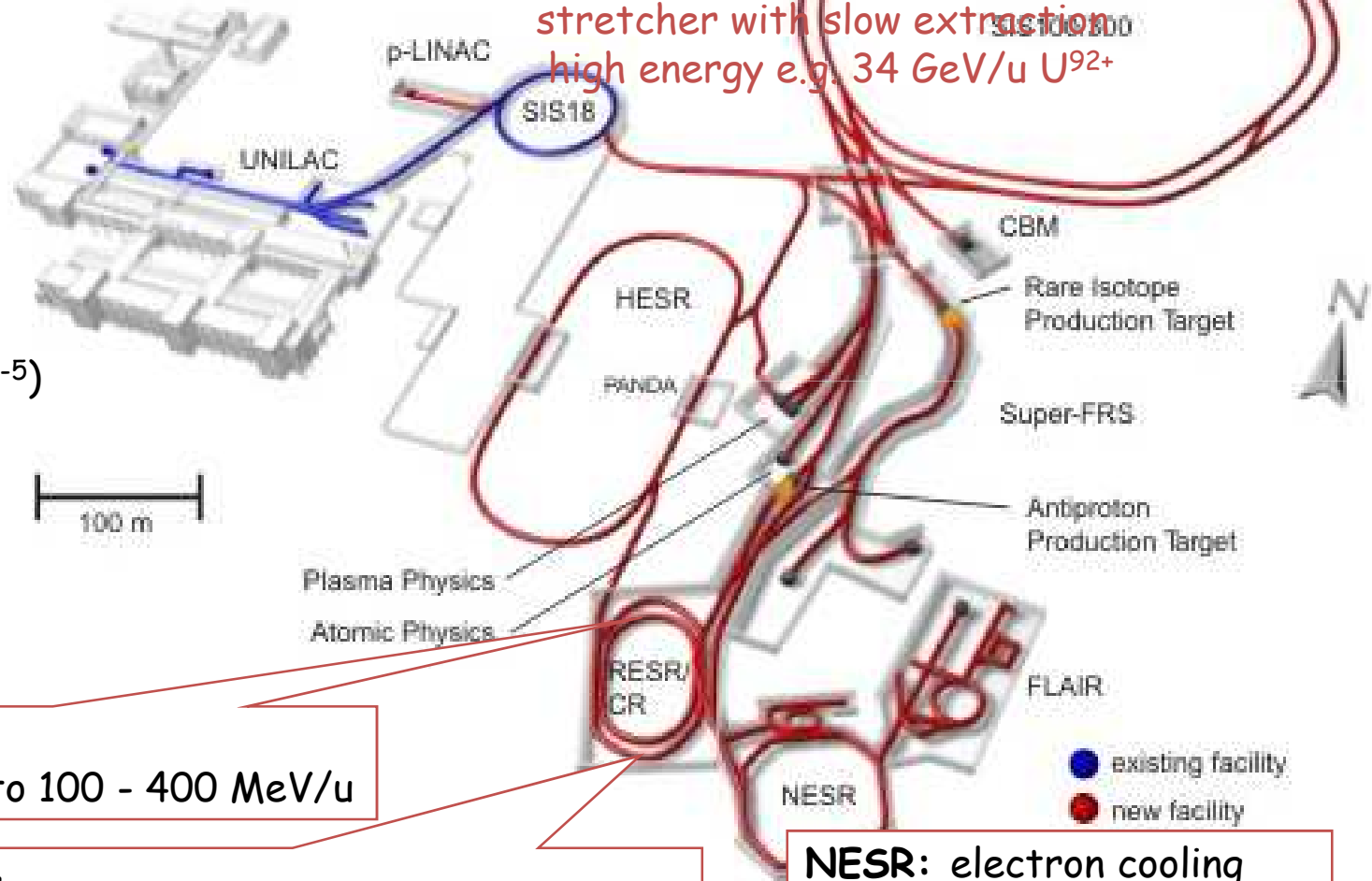
pbar-p collisions:

1-15 GeV

$N_{max} = 10^{11}$

$L = 2 \times 10^{32} \text{ cm}^{-2} \text{ s}^{-1}$

$\Delta E = 100 \text{ keV}$ ($\Delta p/p = 10^{-5}$)

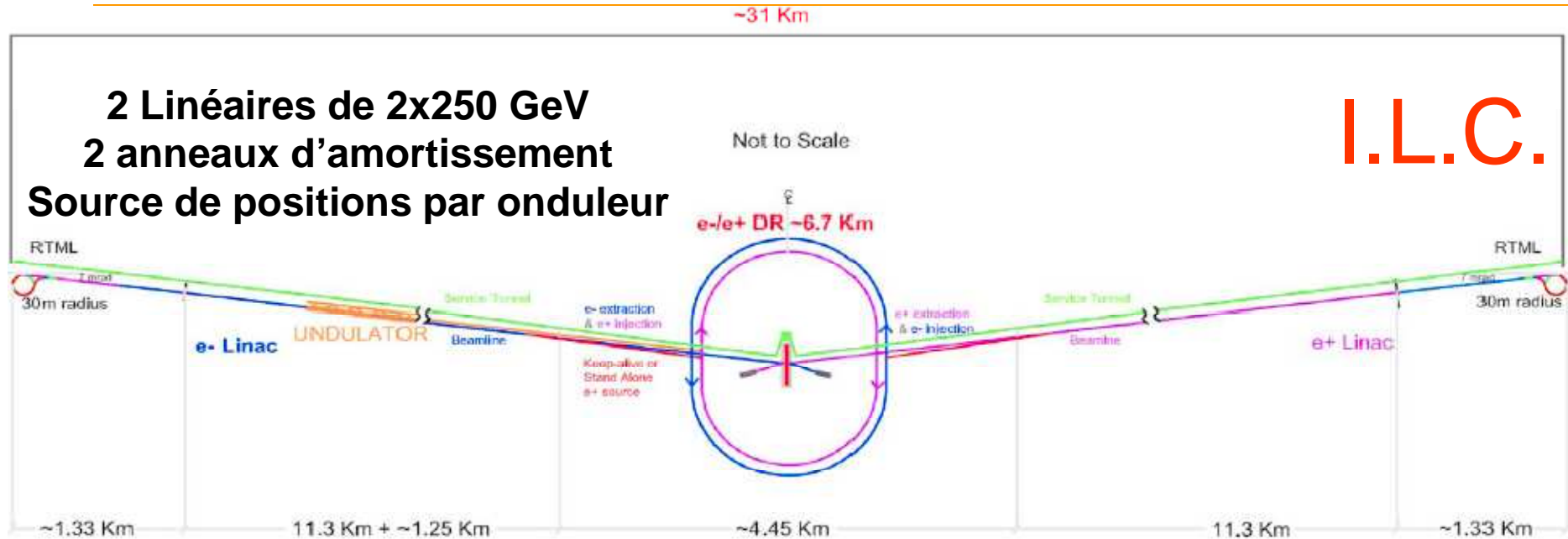


RESR:
 deceleration (1T/s) to 100 - 400 MeV/u

Collector Ring
 adiabatic debunching, fast stochastic cooling

NESR: electron cooling
 deceleration to 4 MeV/u

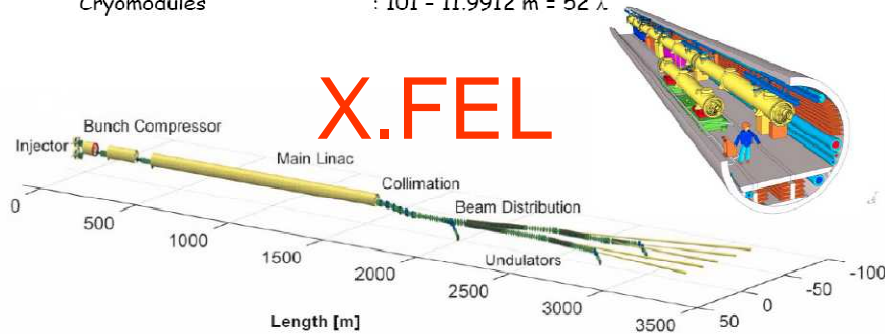
Accélérateurs : perspectives



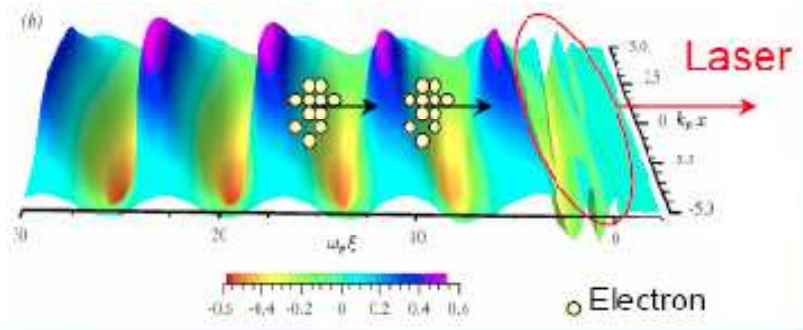
Schematic Layout of the 500 GeV Machine

Coût construction (€ 2005) : 850 M€
 Energie : 17,5 GeV
 Longueur : 3.4 km (Linac : 1.7 km)

Cavités : 808 - Nb RRR 300 - $E_{acc} = 23.6 \text{ MV/m}$ - $Q_0 > 10^{10}$
 Cryomodules : 101 - 11.9912 m = 52λ



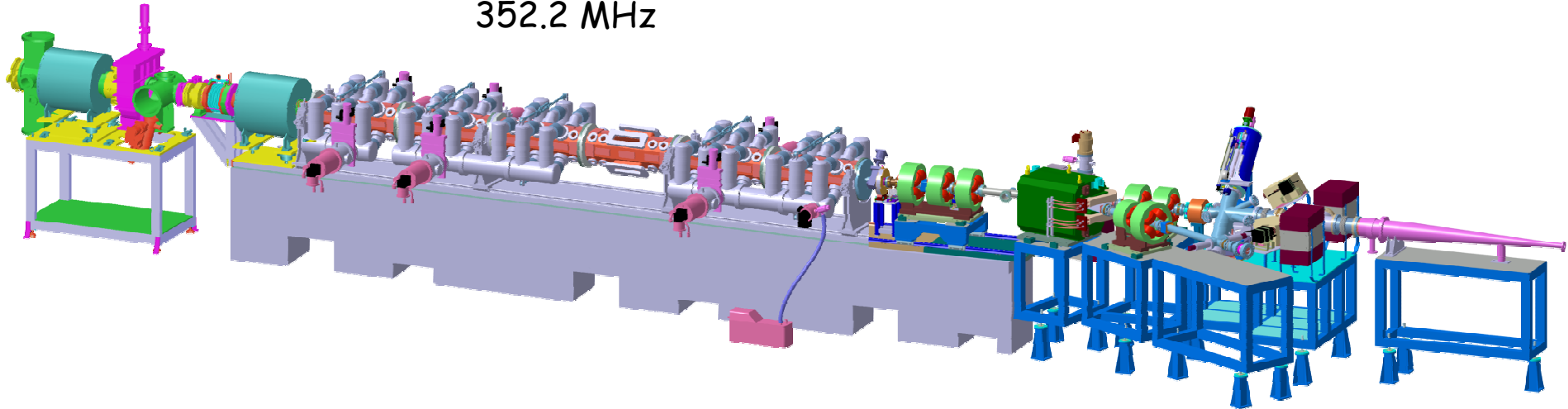
Laser in plasma displaces electrons
 Wake velocity = Group velocity of light



Exemple de LINAC injecteur à très haute intensité: IPHI

RFQ: 6 tronçons
3 MeV; 100 mA C.W.
352.2 MHz

LIGNE DIAGNOSTICS
et BLOC D'ARRÊT 300 kW

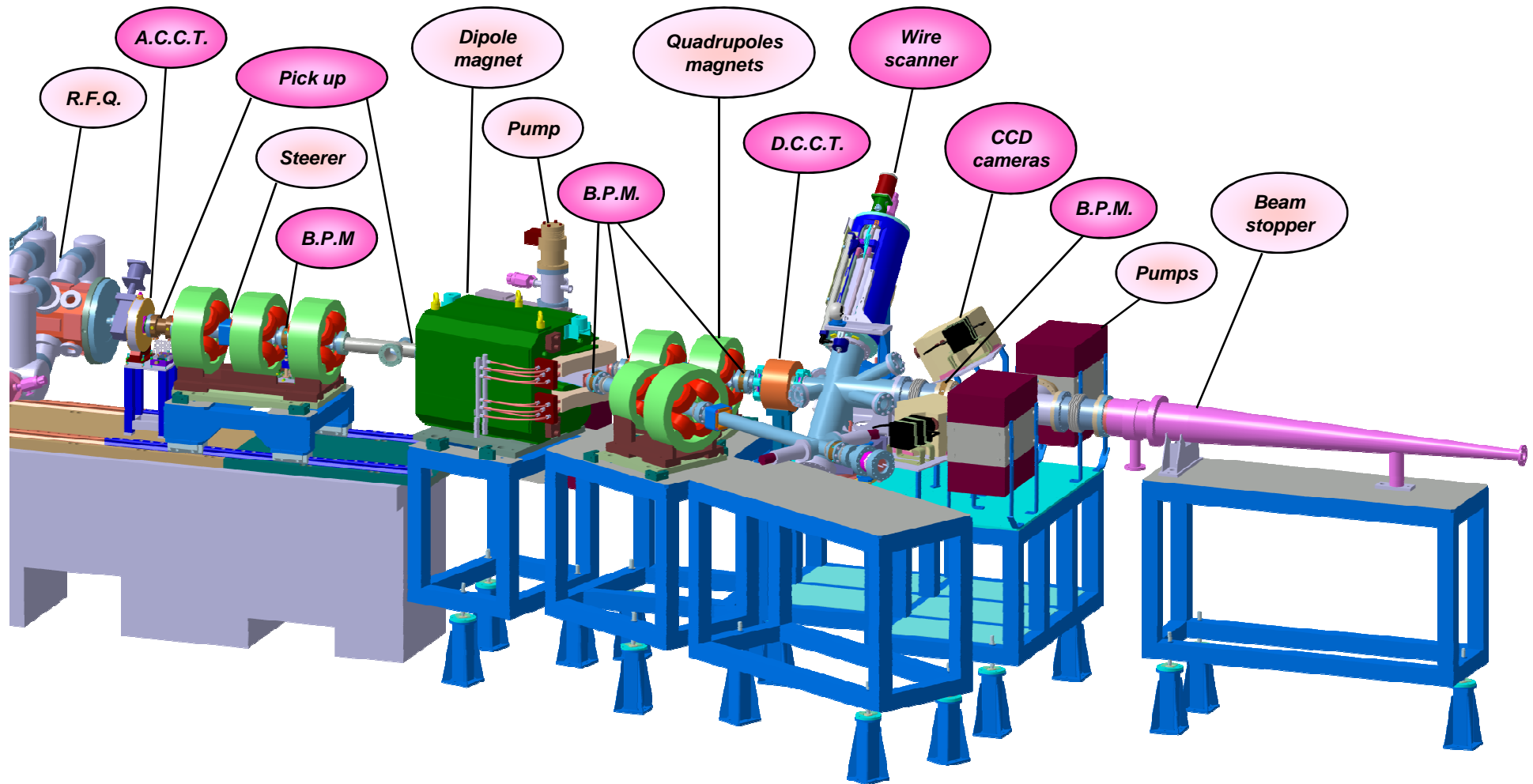


Source SILHI: Protons
100 KeV; 100 mA; C.W.

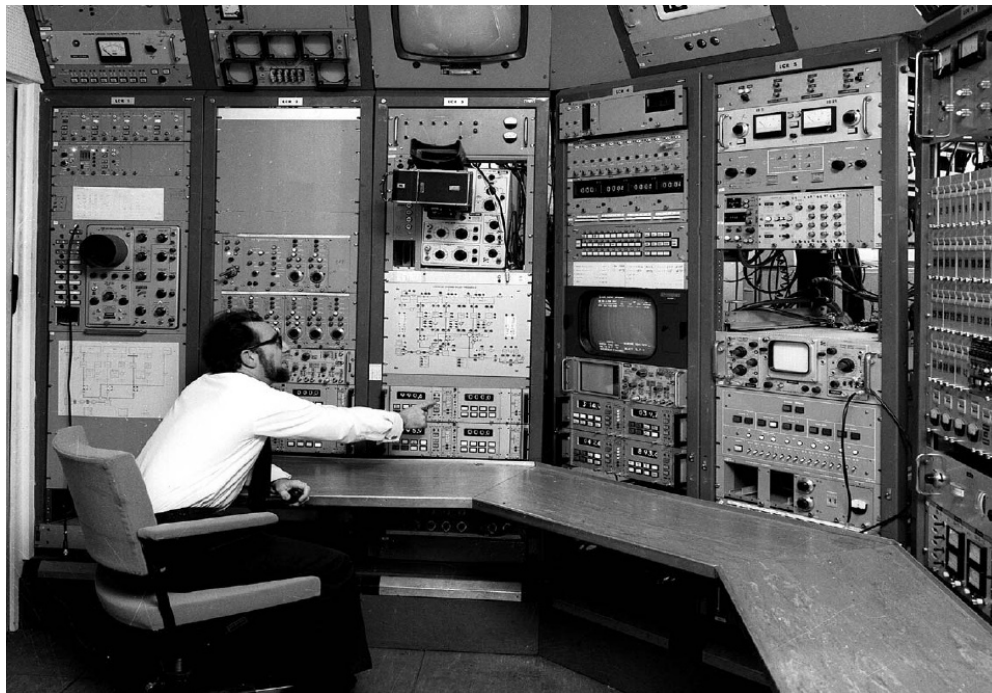
COLLABORATION CEA / DAPNIA - CNRS / IN2P3 - CERN

- IPHI: « front end » de démonstration pour les accélérateurs fort courant.
 - Transmutation des déchets nucléaires (Essais fiabilité: cadre EUROTRANS)
 - Production de faisceaux secondaires intenses
- Fin 2007- 2008: Transfert du RFQ au CERN dans le cadre du projet « Super Proton Linac »

Exemple d'implantation de diagnostics de faisceau: Ligne Haute Energie de IPHI



The New CERN control center,
ready spring 2006



Contrôle du faisceau:

Accélérateur en fonctionnement normal

Mesure des paramètres du faisceau:

Mise en route des accélérateurs

Changement du mode de fonctionnement des machines

Aide à l'obtention rapide des caractéristiques nominales du faisceau

Aide au diagnostic des dysfonctionnements et à la remise en fonctionnement

A la demande des expérimentateurs

Amélioration de la connaissance du fonctionnement des machines

En fonctionnement nominal et hors nominal

Développement machine

LES MESURES A EFFECTUER

Mesures de base (fonctionnement journalier, contrôle du fonctionnement):

Intensité et nombre de charges du faisceau.

Phase du faisceau par rapport à la tension accélératrice.

Position transverse du centre de gravité du faisceau dans le tube à vide.

Mesure des profils transverses horizontal et vertical du faisceau.

Mesures complémentaires (mise en route, changement paramètres, études machine):

Intensité: Mesure des pertes de faisceau, rendement de transmission des sous ensembles (lignes de transport par exemple).

Mesures temporelles et de phase: Energie du faisceau.

Position: alignement, procédure d'alignement automatique faisceau, feedback.

Profils transverses: émittance transverse du faisceau.

LES MESURES A EFFECTUER (suite)

Mesures spécifiques (études du fonctionnement de la machine, développement):

Mesures statiques sans excitation du faisceau

Exemples: orbite fermée dans les synchrotrons, fluctuations transverse et longitudinale, mesures tour par tour si la bande passante des détecteurs est suffisante. (machines circulaires)

Mesures dynamiques avec excitation du faisceau

(Etude de la réponse à l'excitation transverse ou longitudinale du faisceau)

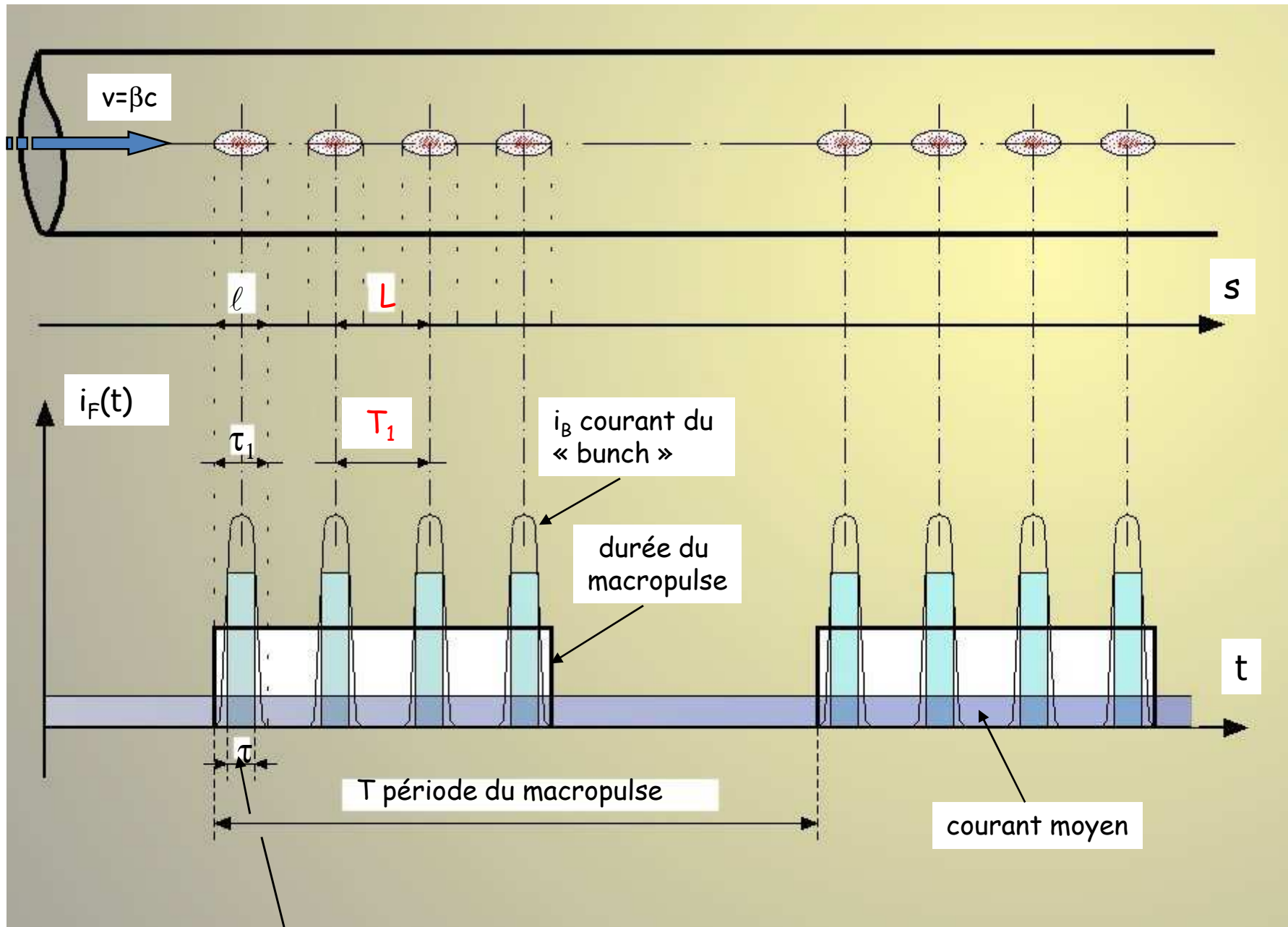
Exemples: Orbite fermée, nombre d'onde, fonction de transfert du faisceau ...et toutes les mesure spécifiques aux synchrotrons. Dispersion d'énergie dans les Linac.

Mesures dynamiques avec excitation du faisceau:

(L'excitation du faisceau dépend de la réponse du détecteur)

Exemples: Feedback de position (collisionneurs; machines à rayonnement synchrotron),
contrôle de l'intensité du faisceau (machines médicales)

CARACTERISTIQUES ELEMENTAIRES DU FAISCEAU



τ durée du bunch (équivalent rectangulaire)

CARACTERISTIQUES PHYSIQUES ELEMENTAIRES DU FAISCEAU

Faisceau: ensemble de particules chargées se déplaçant à la vitesse $v = \beta \cdot c$

- β : rapport de la vitesse de la particule/celle de la lumière (rappel: $0 < \beta < 1$)
- c : vitesse de la lumière = $299\,792\,458 \text{ m.s}^{-1} \sim 3 \cdot 10^8 \text{ m.s}^{-1}$
- Charge électrique élémentaire: $q = 1.602\,176\,462 \cdot 10^{-19} \text{ C} \sim 1.6 \cdot 10^{-19} \text{ C}$

Bunch: Le plus petit « paquet » de particules accélérées par la machine

- Généralement caractérisé par son nombre total N de charges : $Q = N \cdot q$
- Le courant électrique est par définition: $I_b = \frac{dQ}{dt}$ et s'exprime en A, mA

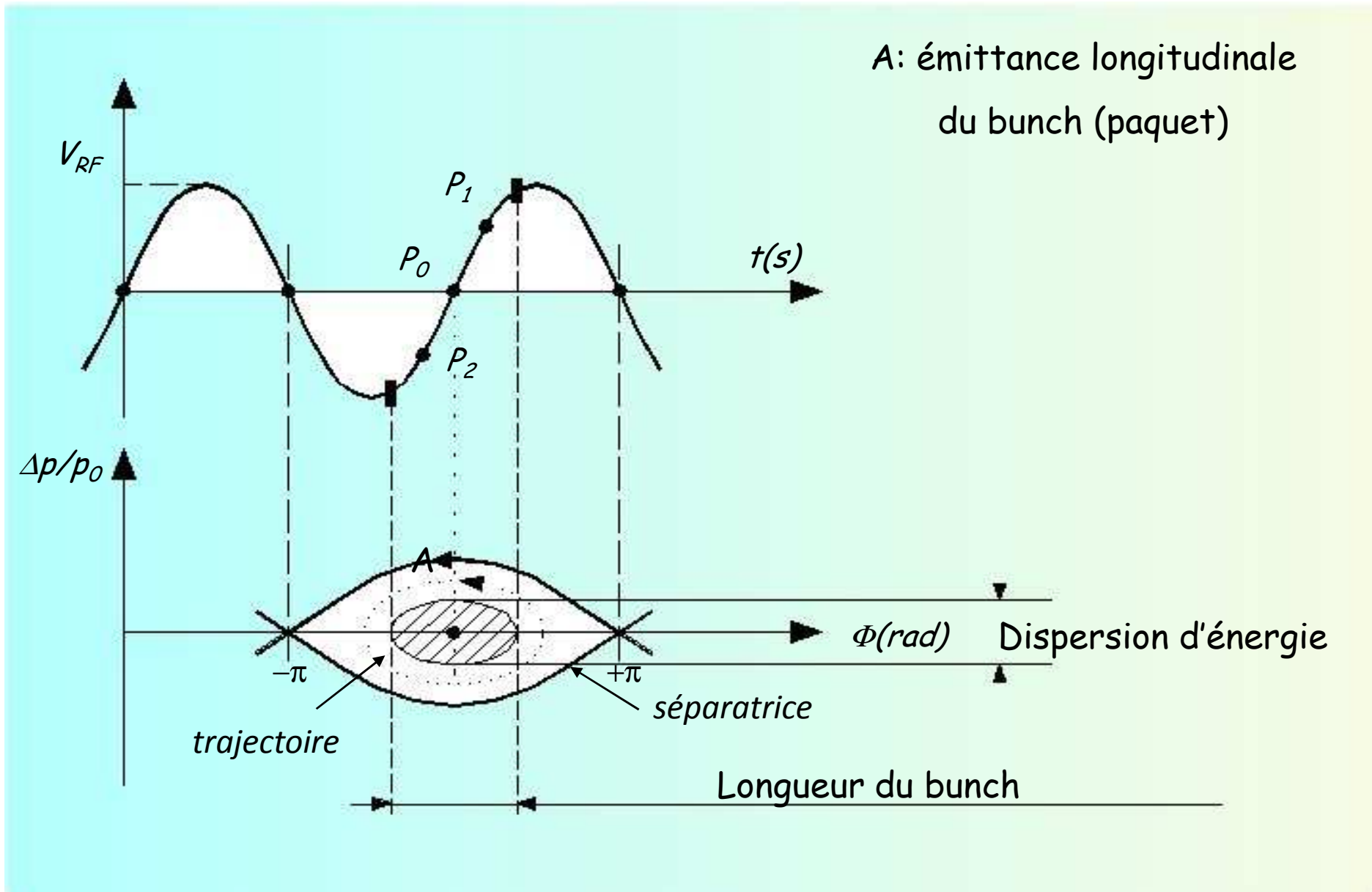
...

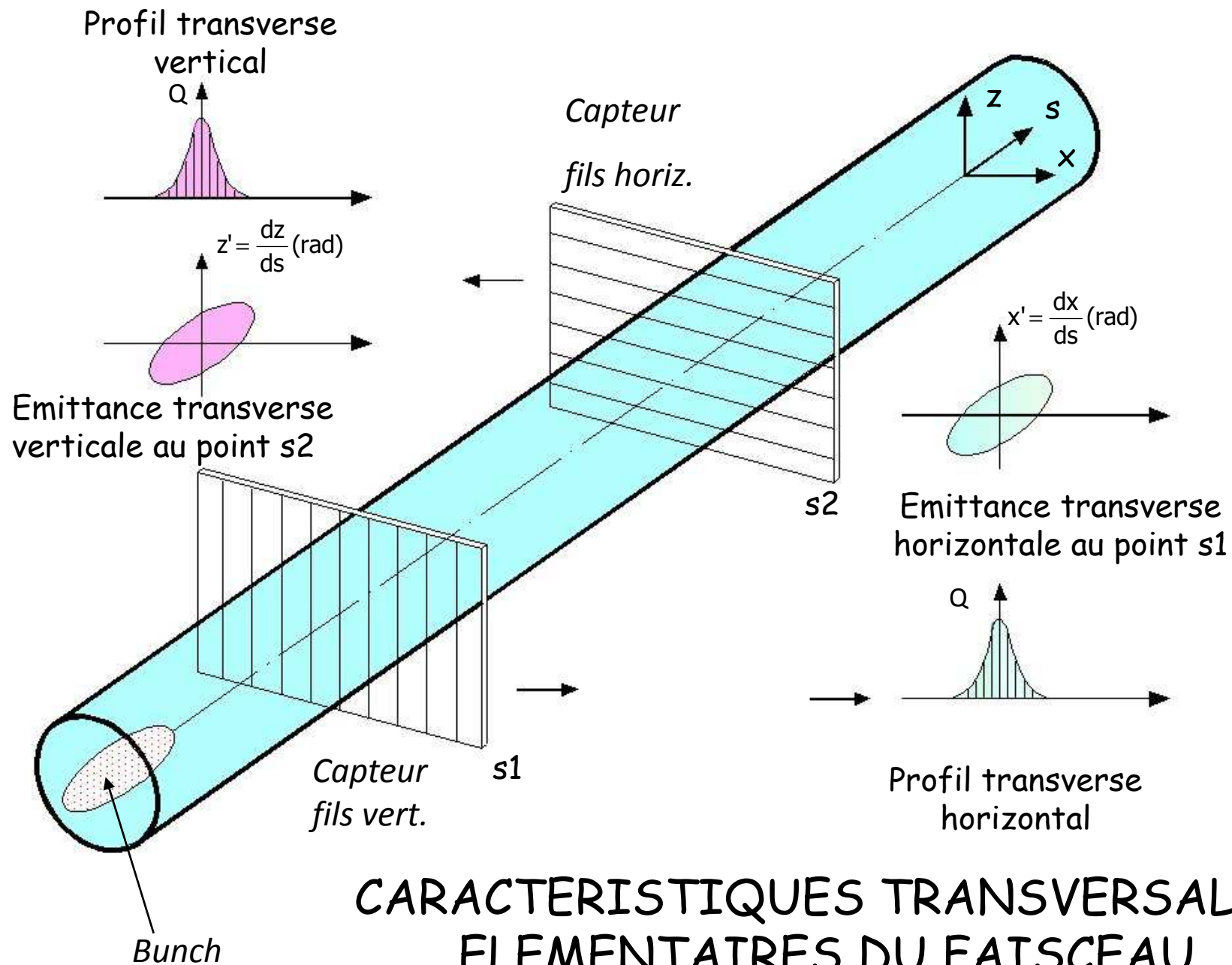
Macro pulse: Ensemble des « bunches » accélérés par la machine constituant finalement le faisceau « utile » pour l'expérience.

- Généralement caractérisé par son courant moyen exprimé en A, mA

Courant moyen du faisceau: Correspond au courant du faisceau totalement intercepté par une cible placée sur le trajet du faisceau. Il s'exprime en A, mA

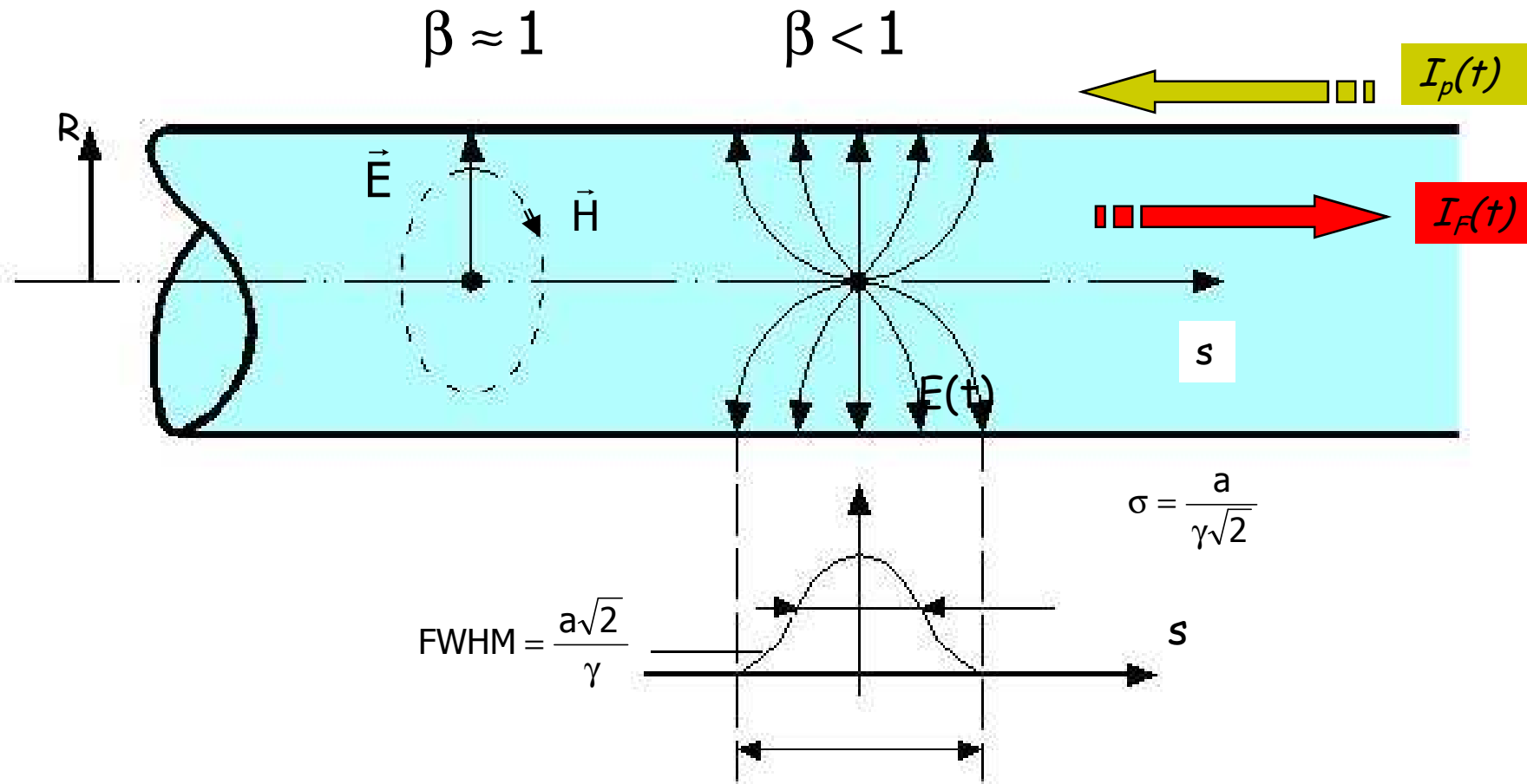
CARACTERISTIQUES LONGITUDINALES DU FAISCEAU





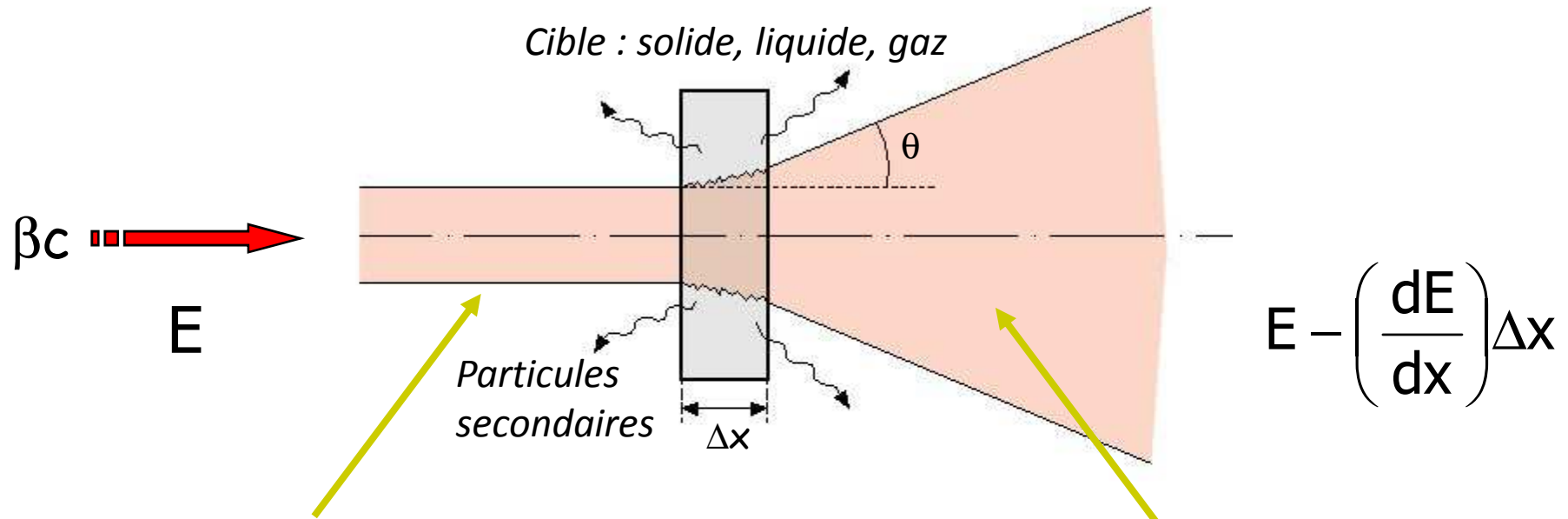
CARACTERISTIQUES TRANSVERSALES ELEMENTAIRES DU FAISCEAU

CHAMP ELECTROMAGNETIQUE ASSOCIE AU FAISCEAU



- ⚡ Champ EM du type TEM
- ⚡ Courant de paroi égal et opposé à celui du faisceau
- ⚡ La répartition du courant de paroi dépend de la position du faisceau dans le tube à vide

INTERACTION RAYONNEMENT MATIERE



Faisceau incident
-e et β^+
-protons et ions lourds

Faisceau transmis
-perte d'énergie
-modif. caract. optiques

- Interception des charges électriques. Ionisation
- Echauffement de la cible
- Emission de particules secondaires
- Emission de rayonnement EM

INTERACTION FAISCEAU-MATIÈRE

Diffusion multiple-parcours

L'angle de déviation moyen d' un faisceau traversant une cible peut être estimé par :

$$\theta_0 = \frac{15 \text{ MeV} / c}{p\beta \sqrt{\frac{\delta_x}{L_R}}} \quad \text{avec } L_R \text{ longueur de radiation}$$

Longueur de radiation L_R :

Distance au bout de laquelle l' énergie d' un électron incident est divisée par 1/e par perte radiative uniquement.

Parcours:

Dans le cas de l' hypothèse (grossière) du ralentissement continu, on définit le parcours comme la distance au bout de laquelle la moitié des particules du faisceau est arrêtée:

$$P(T) = \int_0^{T_0} \left(\frac{dE}{dx} \right)^{-1} dE$$

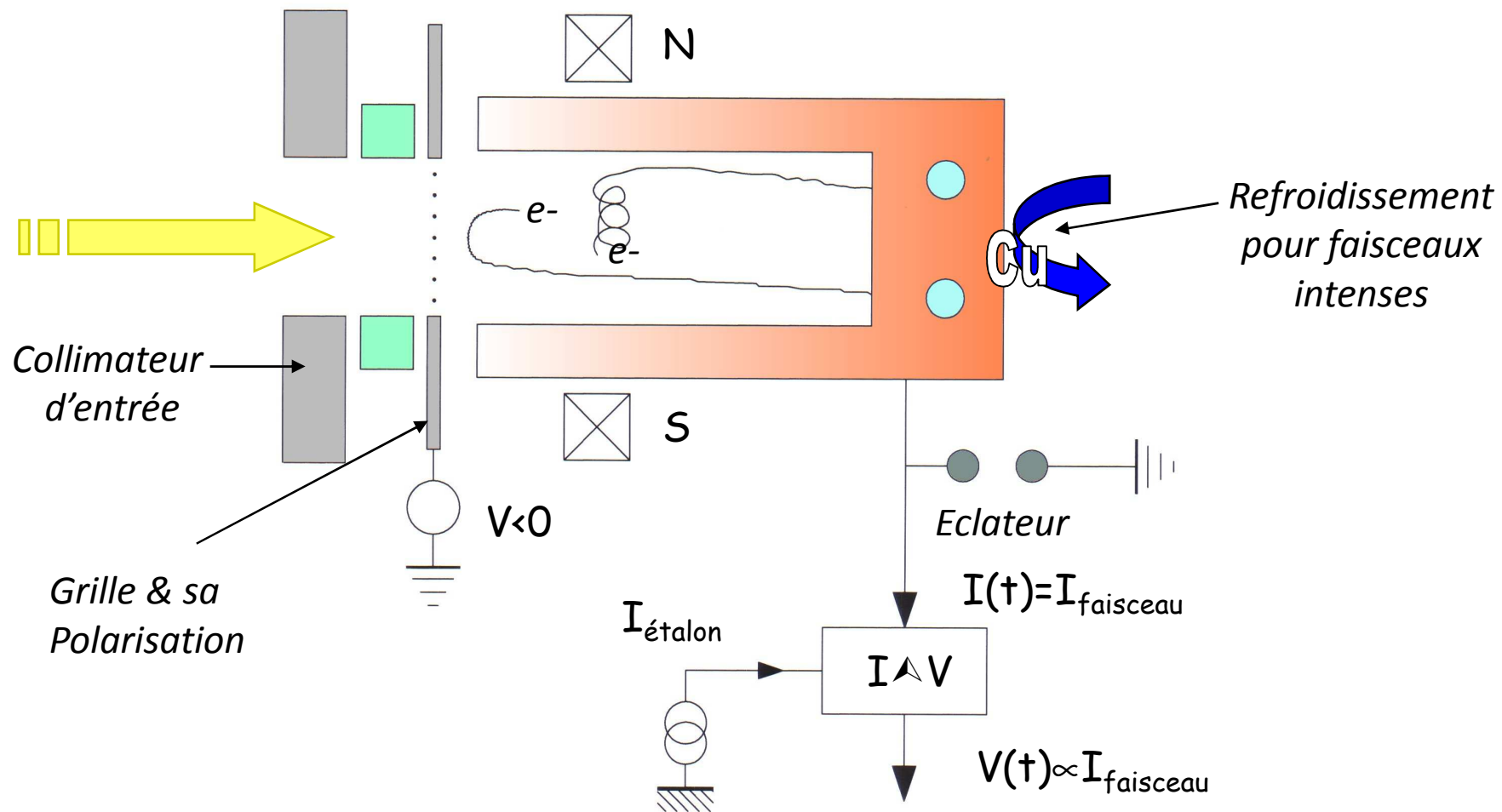
CONTRAINTES DE CONCEPTION ET DE REALISATION DE L'INSTRUMENTATION FAISCEAU LIEES A L'ENVIRONNEMENT DES ACCELERATEURS

Capteurs + Electronique:

- Champs électriques, magnétiques, électromagnétiques.
Perturbations lumineuses parasites:
Acquisition de signaux faibles, transmission et traitement des signaux.
- Rayonnements nucléaires,
- Perturbations mécaniques: défauts et modifications d'alignement, vibrations mécaniques.
- Echauffement du capteur et de l'électronique.

Les Mesures d'Intensité

Les cages de Faraday: principe de fonctionnement



Exemples de Réalisation

Les cages de Faraday pour forts faisceaux



Cage de Faraday et bloc d'arrêt de 25 KW. Linac de GSI. (Bride 150 mm²)

Exemples de Réalisation

Les cages de Faraday pour forts faisceaux



Cage de Faraday non refroidie (Linac de GSI) Diamètre utile: 50 mm avec dispositif magnétique et électrique de suppression d'électrons secondaires

Exemples de Réalisation

Les cages de Faraday coaxiales

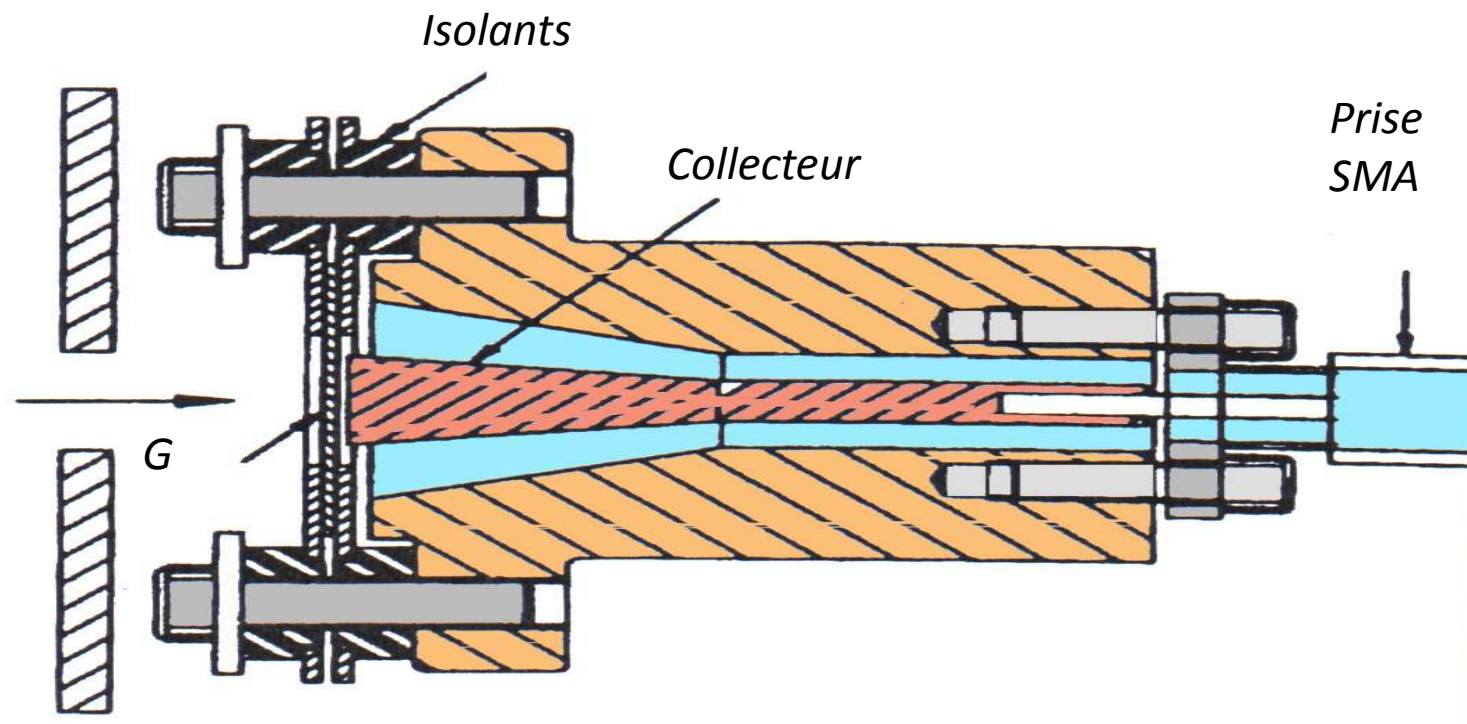


Schéma de principe d'une cage de Faraday adaptées aux hautes fréquences

Exemples de Réalisation

Les cages de Faraday coaxiales



Exemple de réalisation d'une cage de Faraday (G.S.I.):

Gauche: ensemble monté;

Milieu: grille de polarisation;

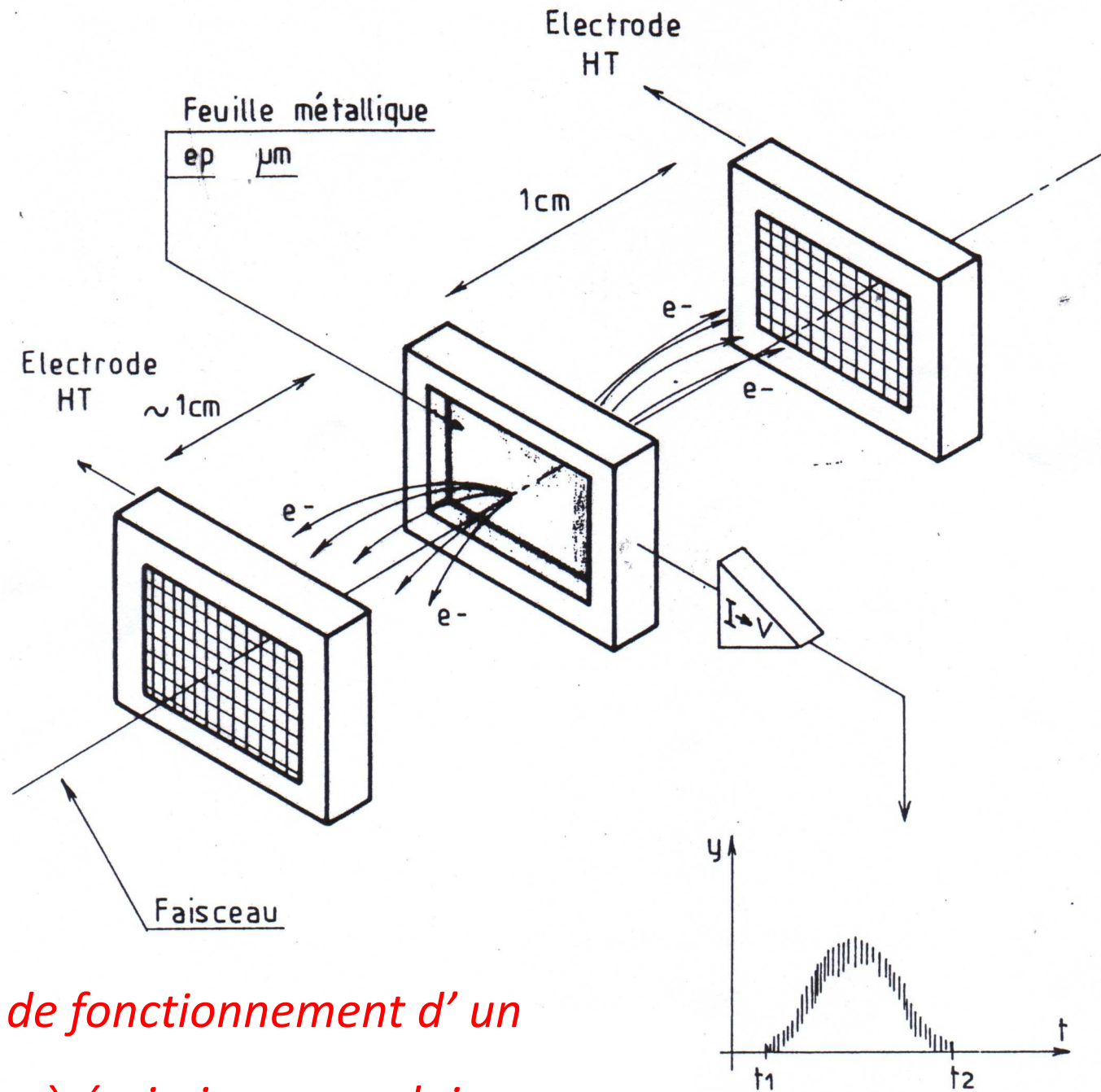
Droite: collecteur et circuit de refroidissement

Les Mesures d'Intensité

Les Détecteurs à Emission Secondaire

Propriétés:

- Détecteur (peu) interceptif.
- Moniteur nécessitant un étalonnage.
- Moniteur fonctionnant pour toutes les natures de faisceau.
- Bande passante étendue pouvant dépasser le GHz.
- Moniteur utilisé dans les lignes de transfert de faisceau.

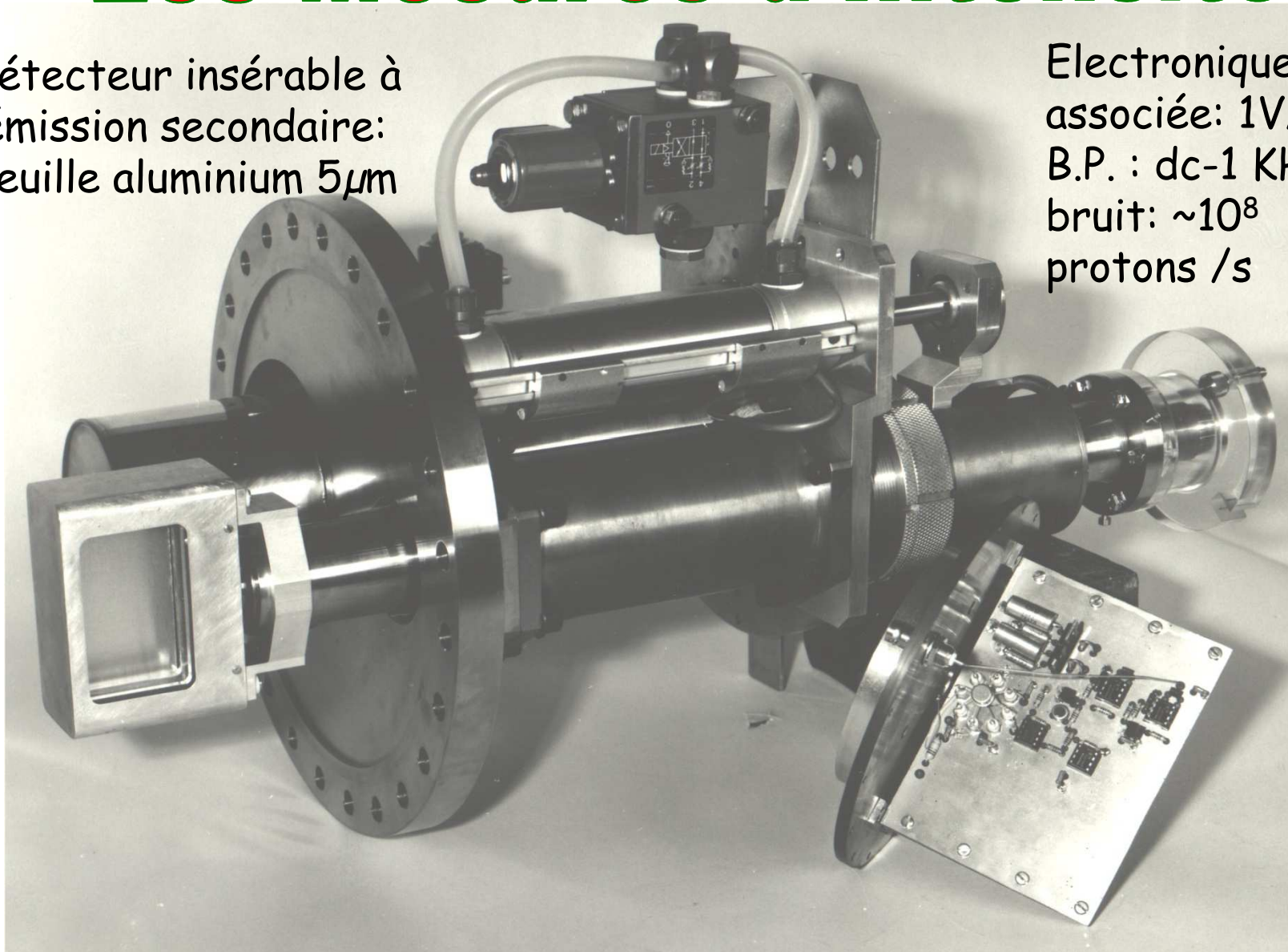


Principe de fonctionnement d'un détecteur à émission secondaire

Les Mesures d'Intensité

Détecteur insérable à
émission secondaire:
Feuille aluminium $5\mu\text{m}$

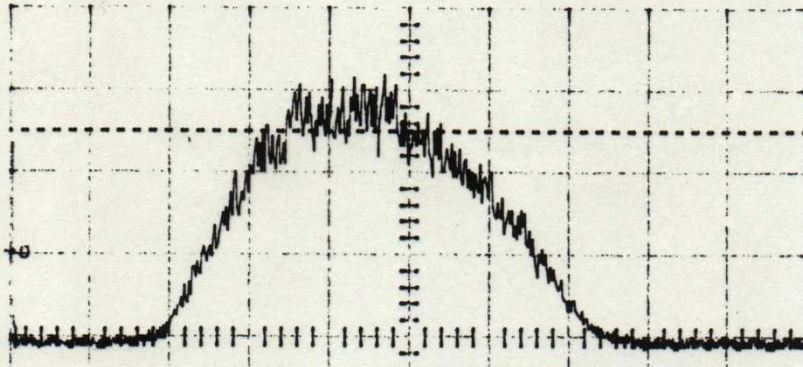
Electronique
associée: $1\text{V}/\text{nA}$;
B.P. : dc-1 KHz;
bruit: $\sim 10^8$
protons /s



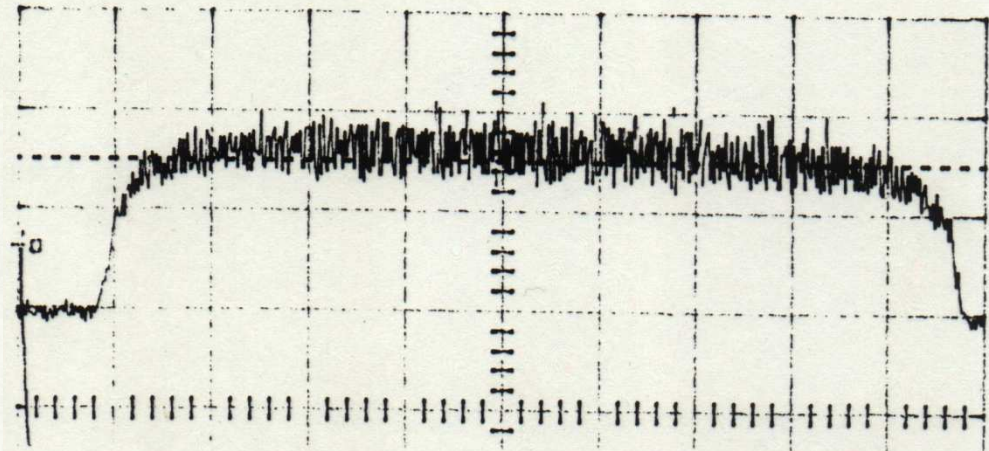
Les Détecteurs à Emission Secondaire

APPLICATION AU CONTRÔLE DU DEVERSEMENT DU DEVERSEMENT DU SYNCHROTRON SATURNE II

Ejection de SATURNE II d'une faisceau de 5×10^{10} protons
polarisés à une énergie de 2,82 GeV



Déversement obtenu sans dispositif de contrôle
(détecteur utilisé : chambre à émission secondaire)
1 V/div 50 ms/div



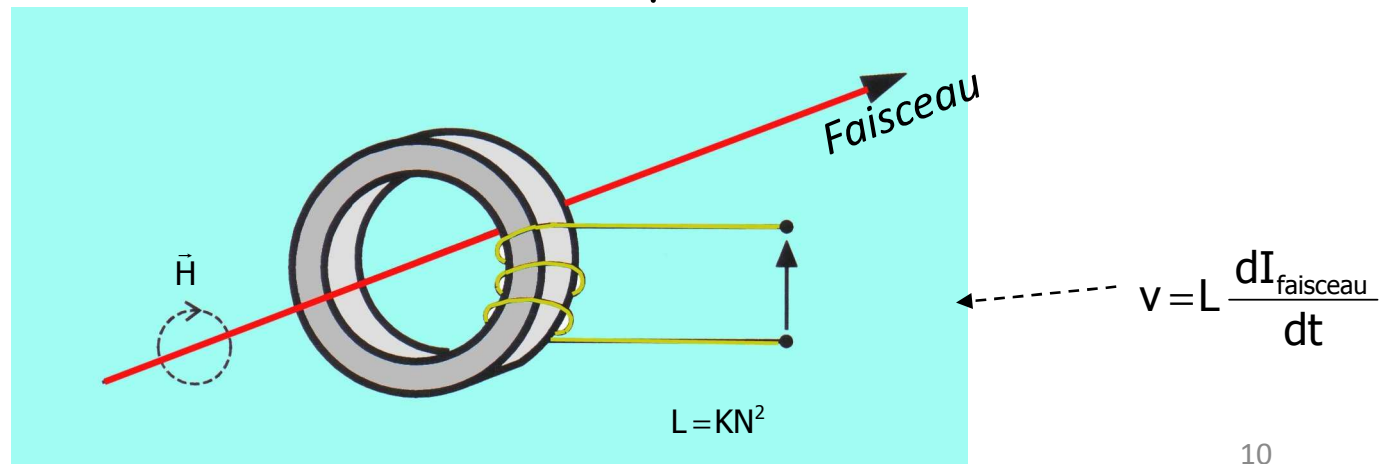
Déversement obtenu avec dispositif de contrôle
(même détecteur - mêmes échelles)

Les Mesures d'Intensité

Les Transformateurs d'Intensité

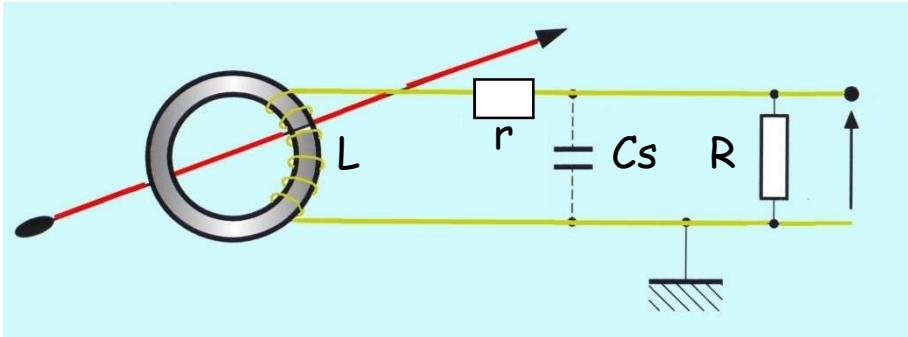
Propriétés:

- Utilise le champ H associé au faisceau
- Non destructif du faisceau
- Moniteur absolu.
- Large bande passante possible: ~ 1 GHz
- Utilisable pour toutes les particules accélérées chargées
- Nombreuses réalisations commerciales disponibles

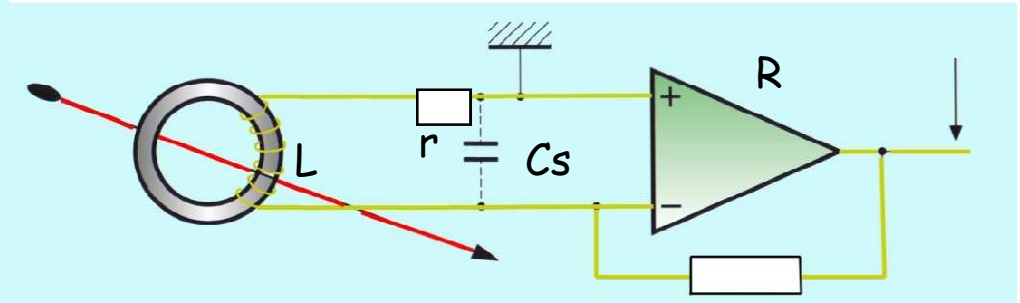


Les Mesures d'Intensité

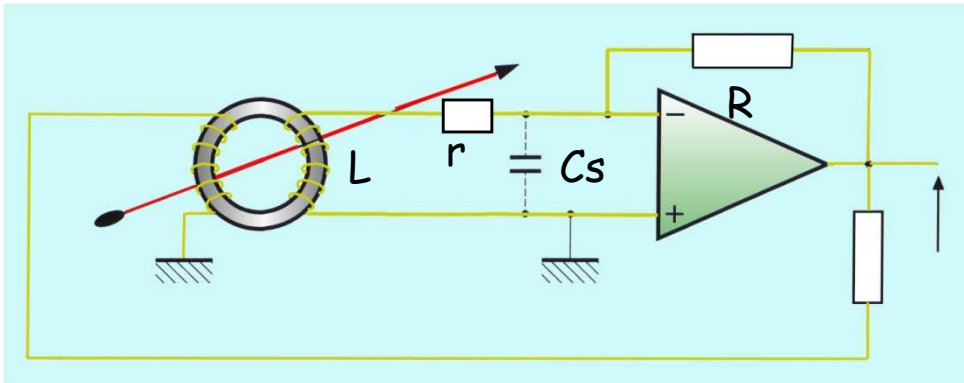
Les Transformateurs d'Intensité



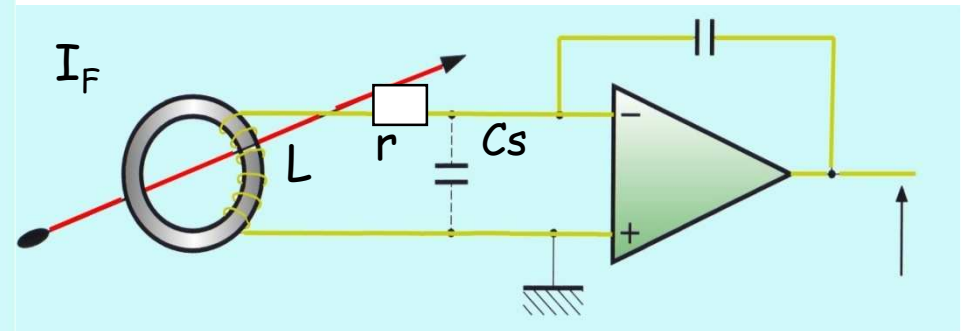
Transformateur AC passif



Transformateur AC actif



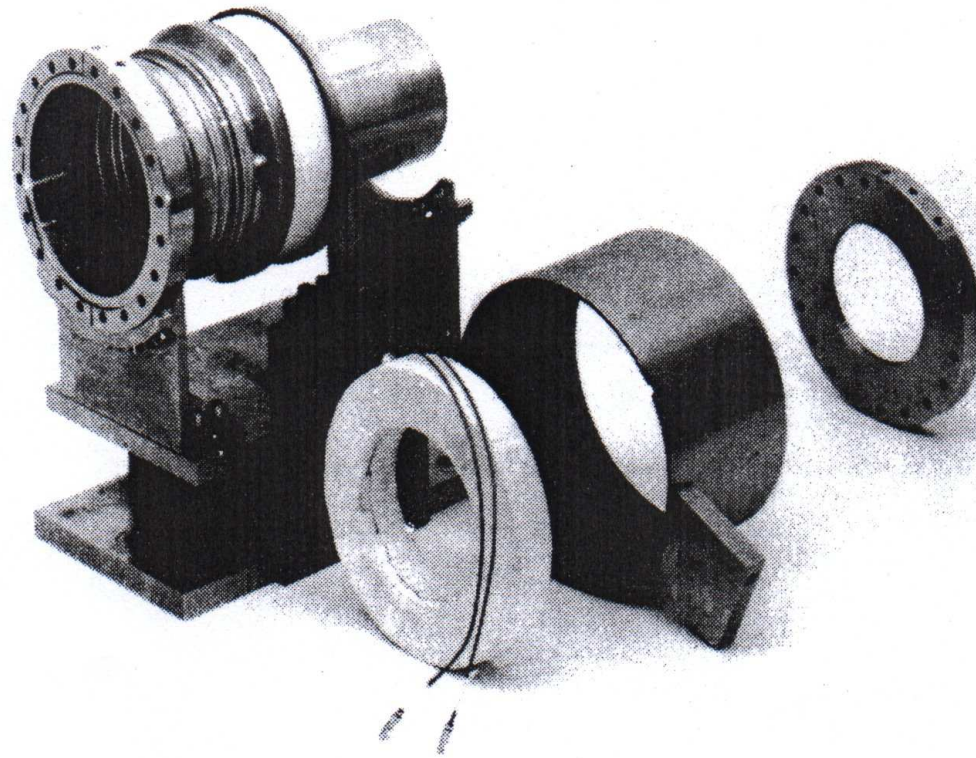
*Transformateur AC actif à contre-réaction
par enroulement supplémentaire*



*Transformateur AC couplé à
un circuit intégrateur*

Les Mesures d'Intensité

Les Transformateurs d'Intensité



Éléments constitutifs d'un transformateur d'intensité.
Exemple: Transformateur pour la ligne de transfert pour ISR (CERN)

Les Mesures d'Intensité



INSTRUMENTATION

Les Transformateurs d'Intensité

Utilisation : mesure de l'intensité électrique du faisceau d'ions

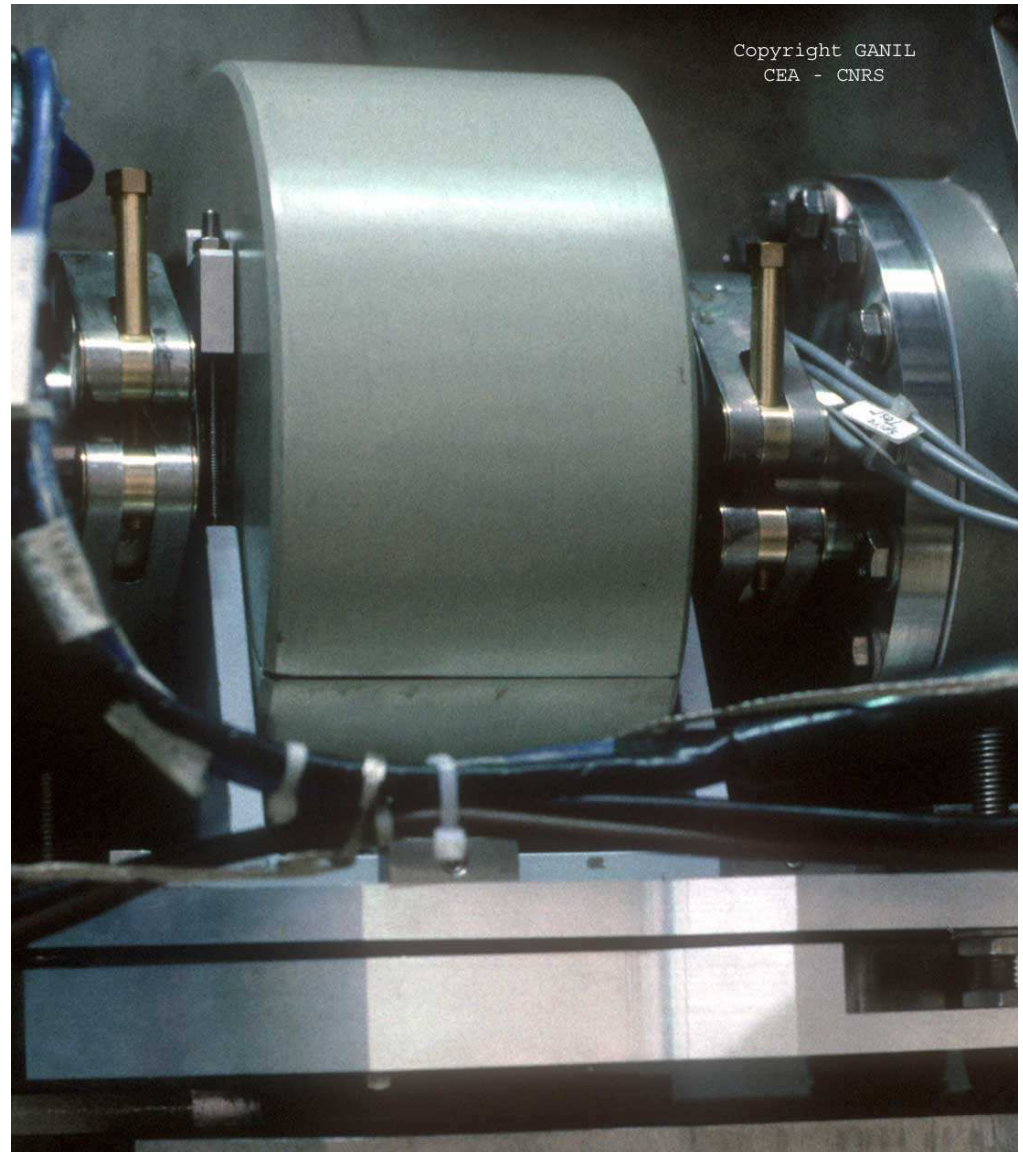
Principe :

détection synchrone à double pesée (avec et sans faisceau) du signal issu d'un transformateur d'intensité dont le primaire est le faisceau haché à 530Hz
(voir fiche suivante)

Performances :

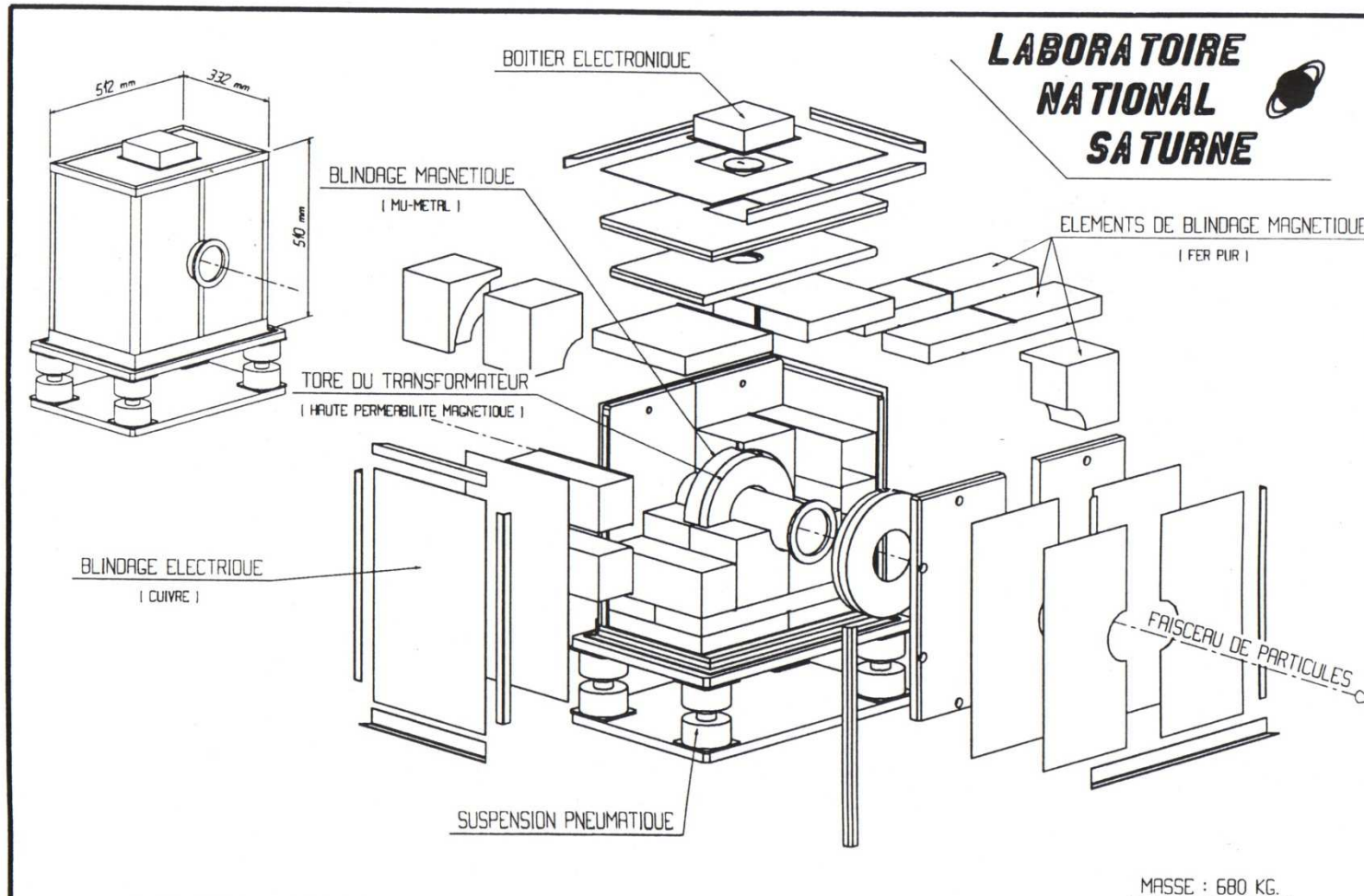
- précision : < 2%
- offset : < 10 nAe
- résolution : 1 nAe

Contact : E.Petit
(epetit@ganil.fr)



Les Mesures d'Intensité

Les Transformateurs d'Intensité



T.I. – A.C. actif:

Tore:

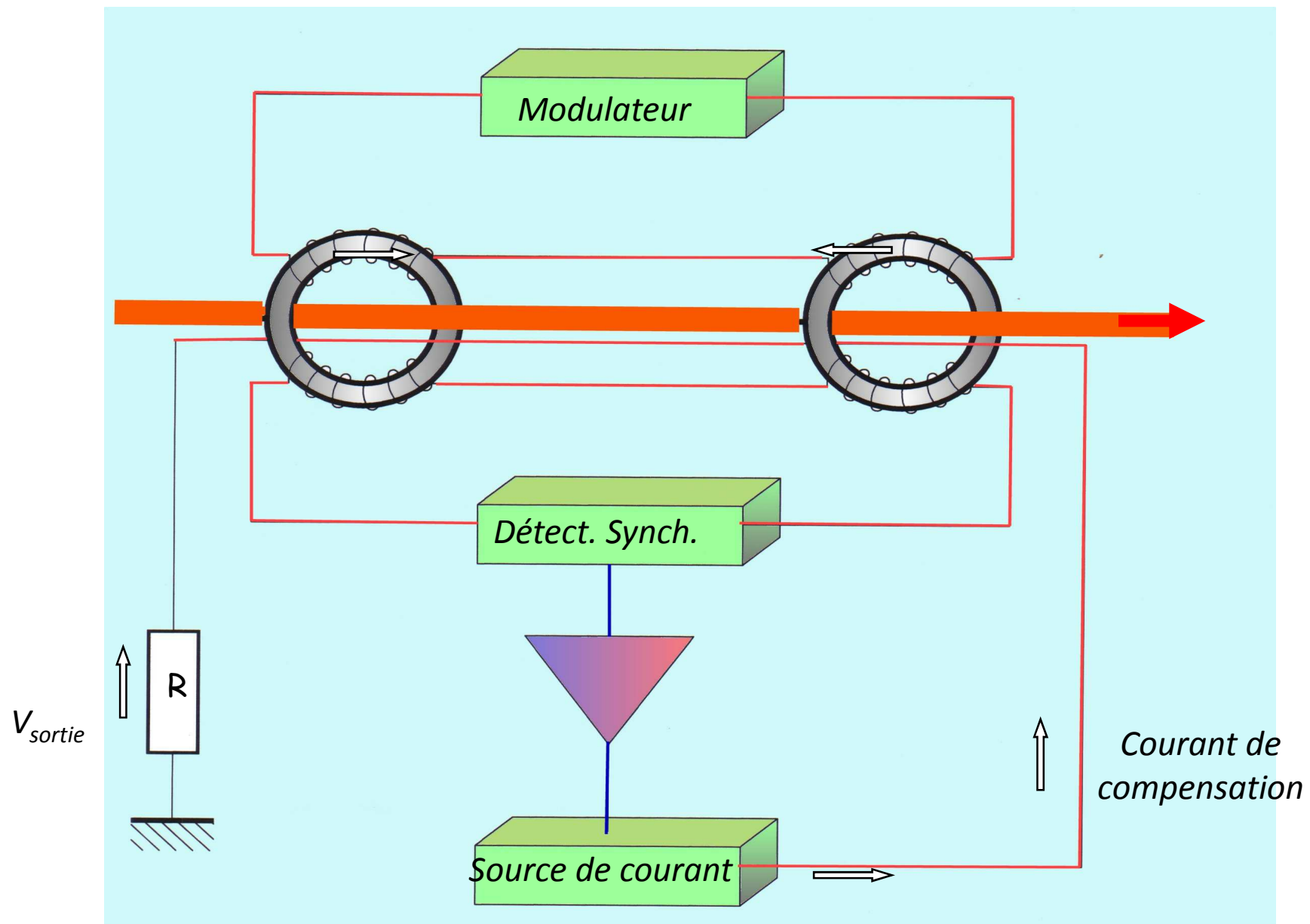
- Ultraperm
- \varnothing_{ext} = 240 mm
- \varnothing_{int} = 130 mm
- H = 40mm
- N = 770
- L = 128 H

Tore

+amplificateur:

- 1V/ 100nA
- B.P.: 1Hz-3KHz
- Bruit crête: 80 nA

Les Mesures d'Intensité

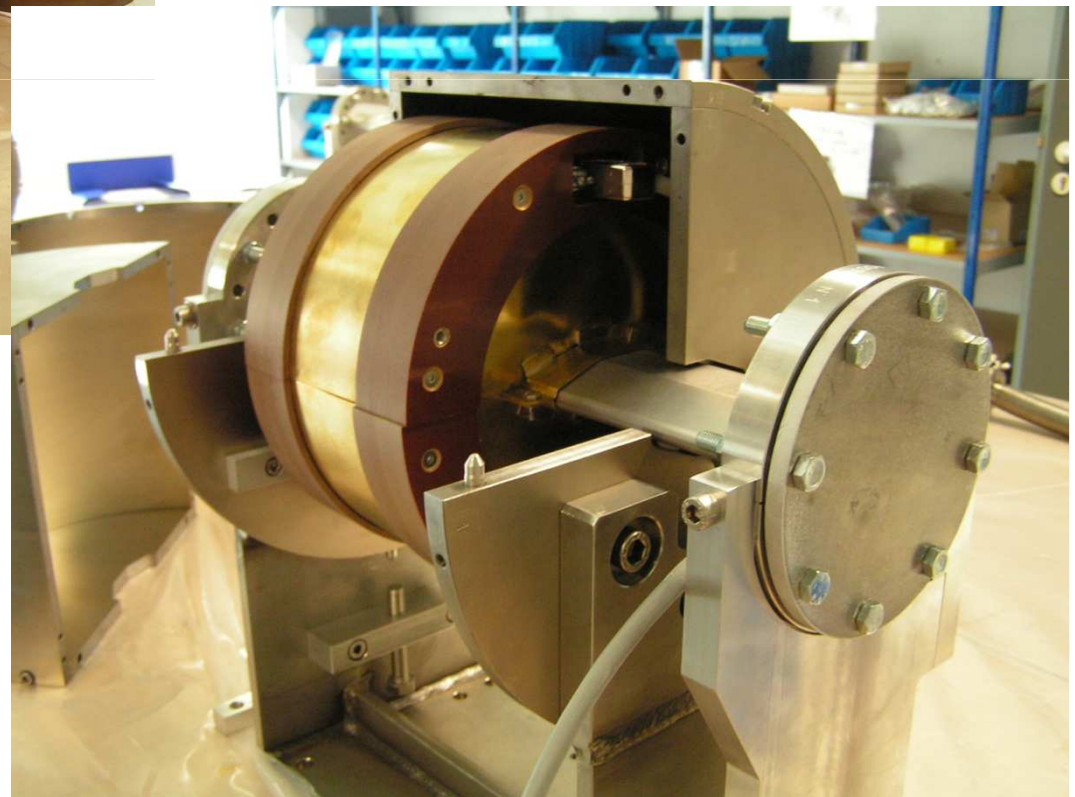


Principe de fonctionnement du transformateur d'intensité « D.C.C.T ».

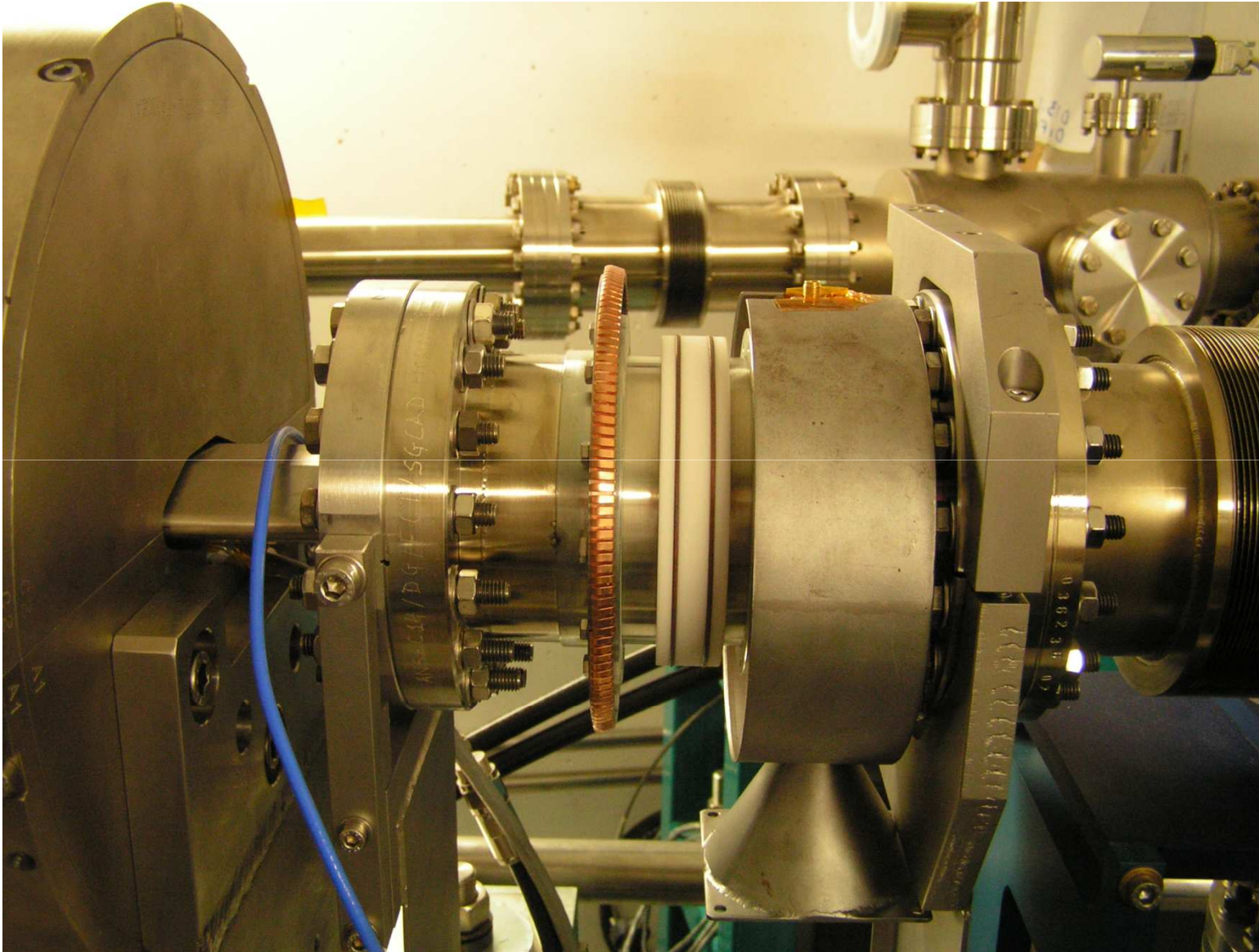
Les Mesures d'Intensité



MONTAGE DCCT DE L'ANNEAU
SOLEIL (résolution $1 \mu\text{A}/\text{Hz}^{1/2}$)



Les Mesures d'Intensité



F.C.T. monté sur l'anneau SOLEIL (B.P. \gg 500MHz)

Les Mesures d'Intensité

Tore gauche: Transformateur DC
300 μA - 1 A;
B.P.: D.C. - 20 kHz (200 kHz)
Résolution: 2 μA

Tore milieu : Transformateur AC
(correction transformateur DC)

Tore droite: Transformateur AC
rapide : $\zeta \sim 0.5 \mu\text{s}$
(contrôle injecteur)

Rayon int.: 135 mm

Rayon ext.: 145 mm

Hauteur tore: 10 mm

Matériau : Vitrovac 6025F

$\mu = 10^5$

Gap isolant: alumine



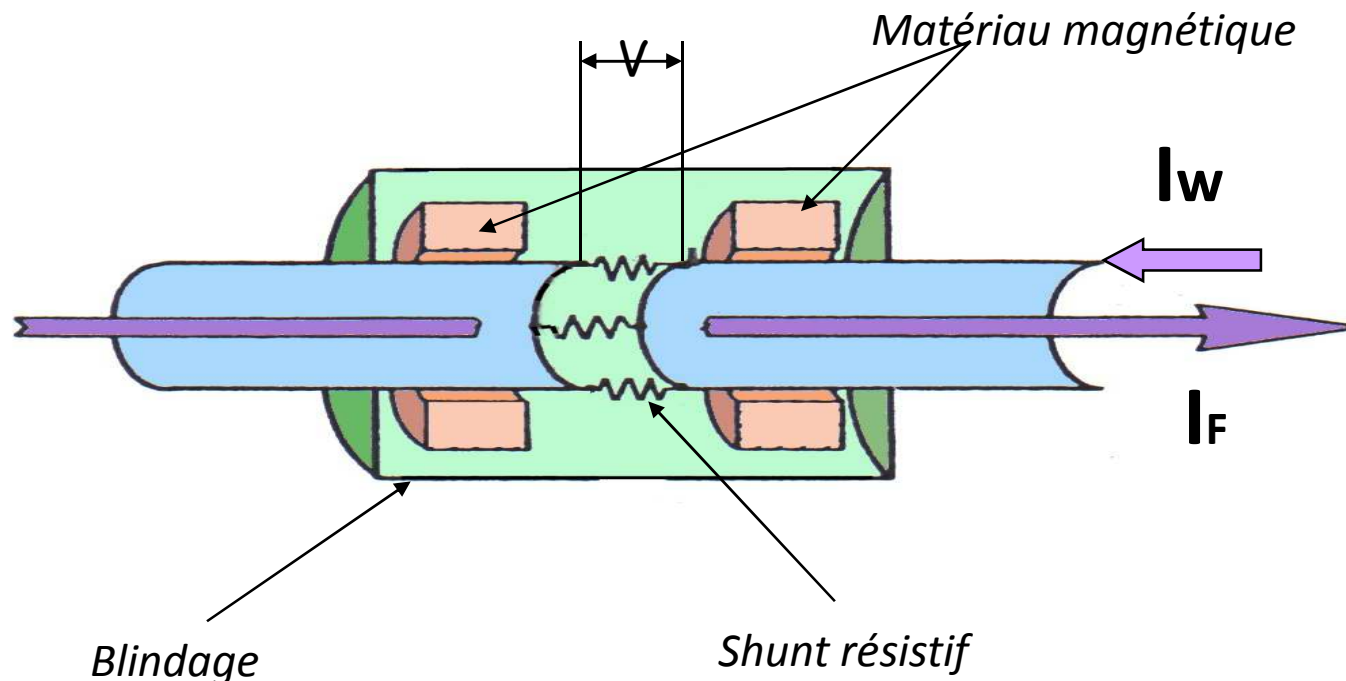
Ensemble de 3 transformateurs (G.S.I.)

Les Mesures d'Intensité

"Wall current monitor"

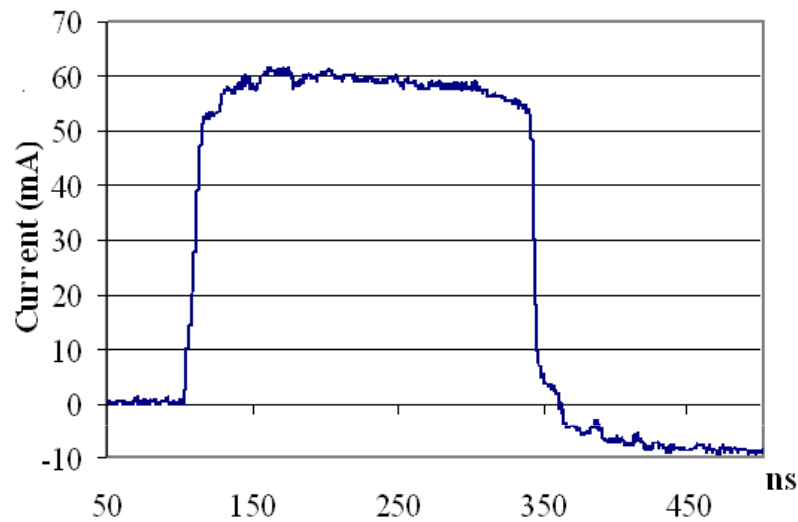
Propriétés:

- Utilise le courant de paroi.
- Non destructif du faisceau
- Large bande passante possible: plusieurs GHz.
- Possibilité d'obtenir la position du faisceau

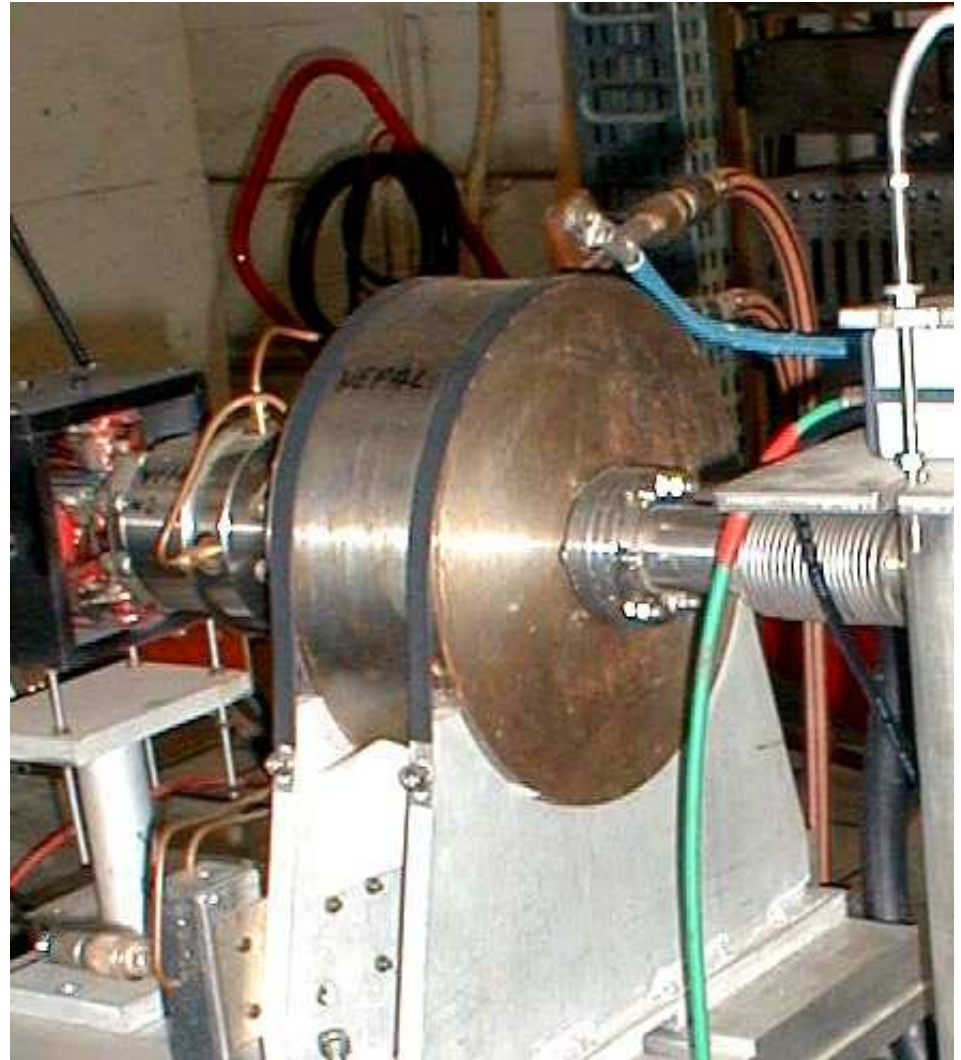
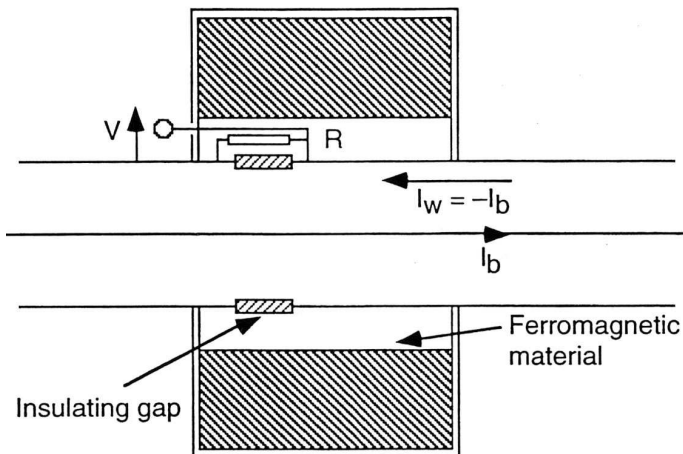


Les Mesures d'Intensité

"Wall current monitor" monté sur "ALTO" - IPNO

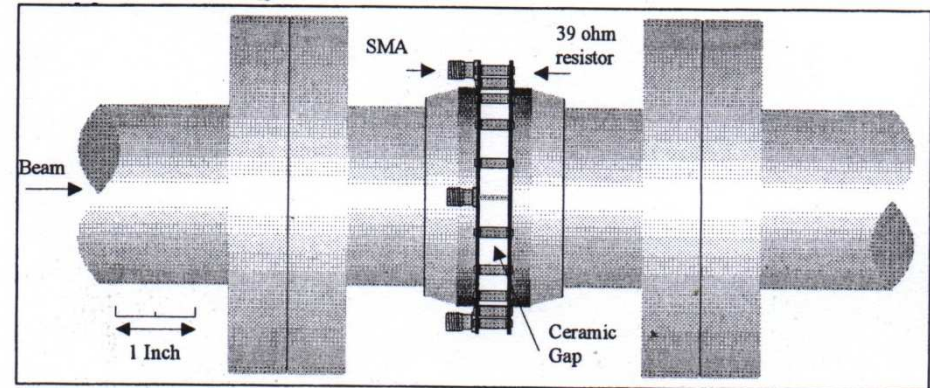
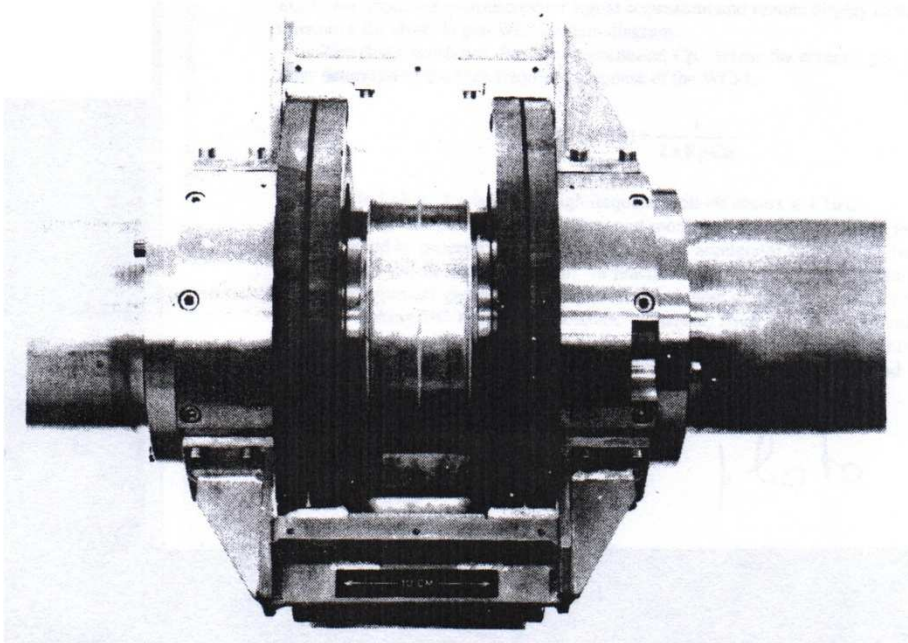


Sensibilité sous 50Ω du signal $1V/A$



Les Mesures d'Intensité

Exemples de réalisation:



(A.L.S.) 2V/A ; B.P.: 2.5 MHz- 4 GHz

"Wall current monitor"

Gap du Wall current monitor I.S.R.
(CERN)

Les Mesures d'Intensité

Electrode capacitive

- Non interceptif.
- Moniteur fonctionnant pour toutes les natures de faisceau.
- Nécessite en pratique un étalonnage.
- Utilise le champ électrique associé au faisceau.
- Destinée aux machines à protons (longueur du bunch \gg longueur de l'électrode)
- Contrôle de la forme des bunches, mesure de la phase faisceau / R.F.

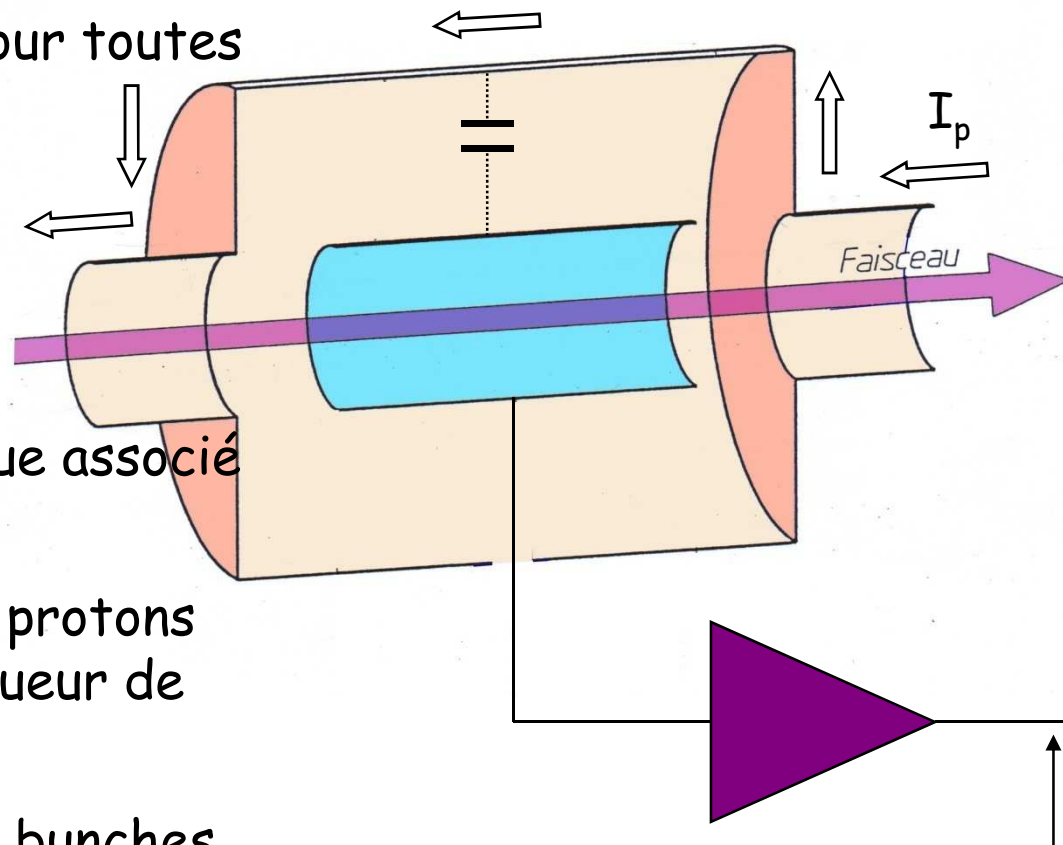
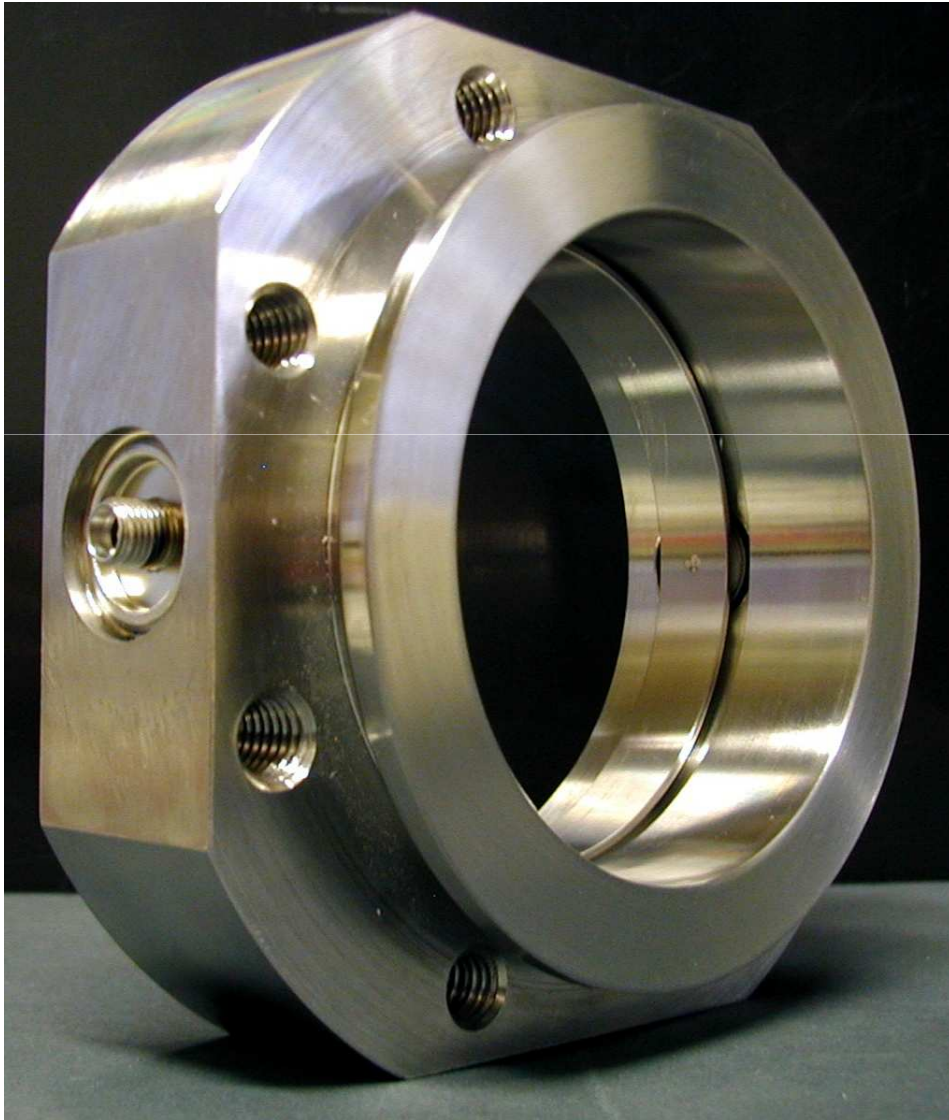


Schéma de principe d'une P.U. capacitive

Les Mesures longitudinales

Electrode capacitive: Forme du bunch et phase



Exemple de réalisation d'une
électrode capacitive

Electrode pour accélérateur « IPHI »
(Mesure de l'énergie par temps de vol)

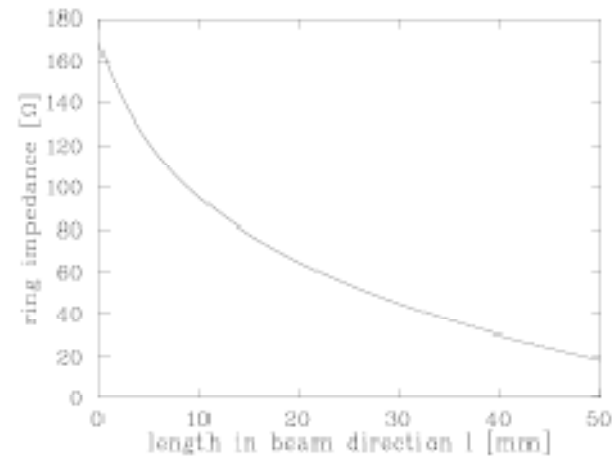
- $\varnothing = 70 \text{ mm}$
- $L = 3 \text{ mm}$
- $C =$
- $f_{\text{acc}} = 352,2 \text{ MHz}$

La Détection de longueur de bunch

Electrode capacitive Haute fréquence



Mesure de longueur de bunch
Electrode capacitive 50Ω
Diamètre utile: 35 mm
Linac de GSI à 108 MHz



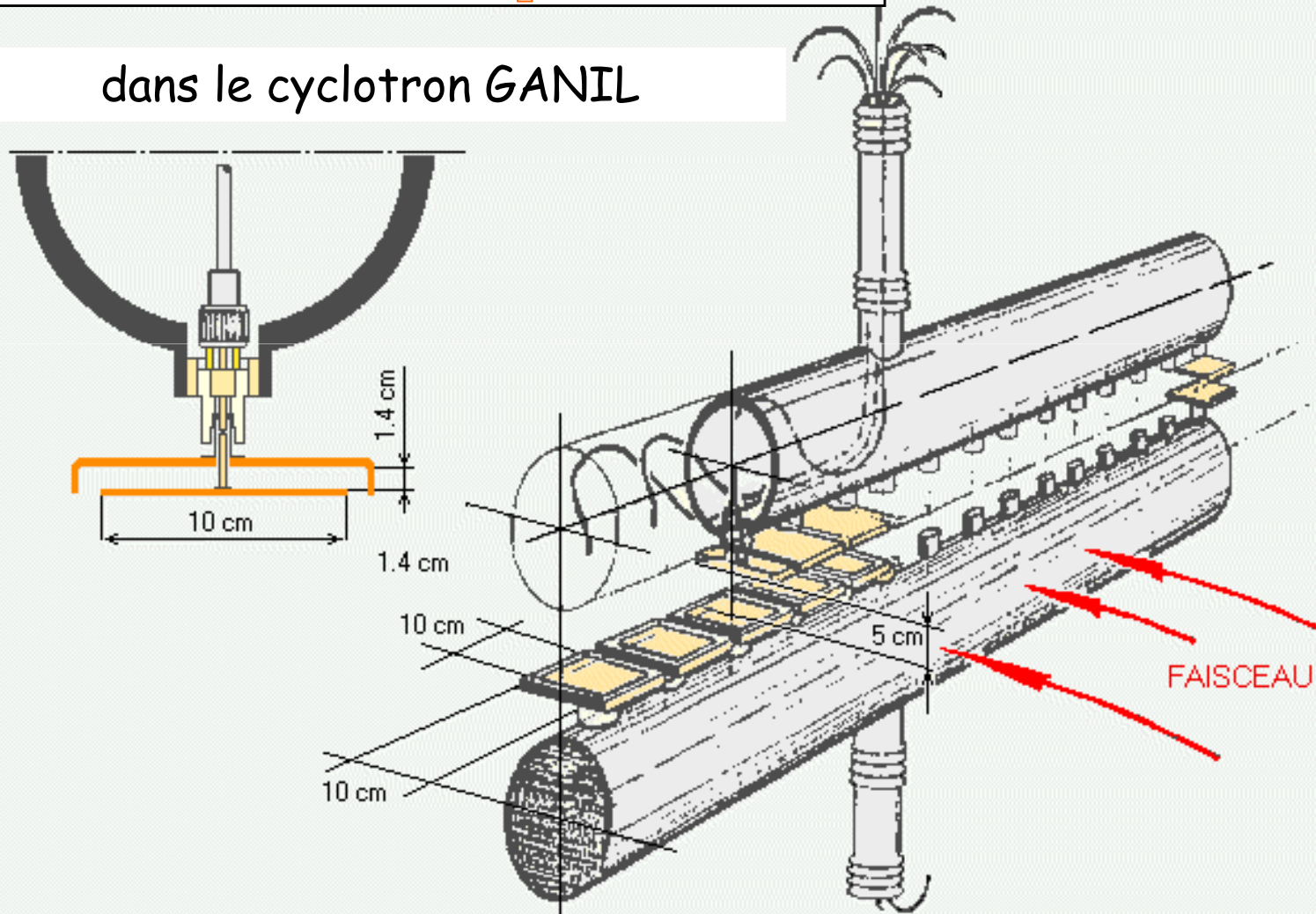
Impédance d'une électrode P.U. circulaire
l: Longueur électrode
h: Distance conducteur interne / externe
D: Epaisseur électrode

$$Z_0(l) = \frac{87}{\sqrt{\epsilon_r + 1.4}} \ln \left(\frac{5.98h}{0.8l + d} \right)$$

La Détection de Phase

Electrode capacitive

dans le cyclotron GANIL



La Détection de Phase

Sonde de Phase

Utilisation :

mesure de la phase des paquets d'ions au long de l'accélération dans les CSS par rapport à la tension HF d'accélération afin de régler l'isochronisme.

Principe :

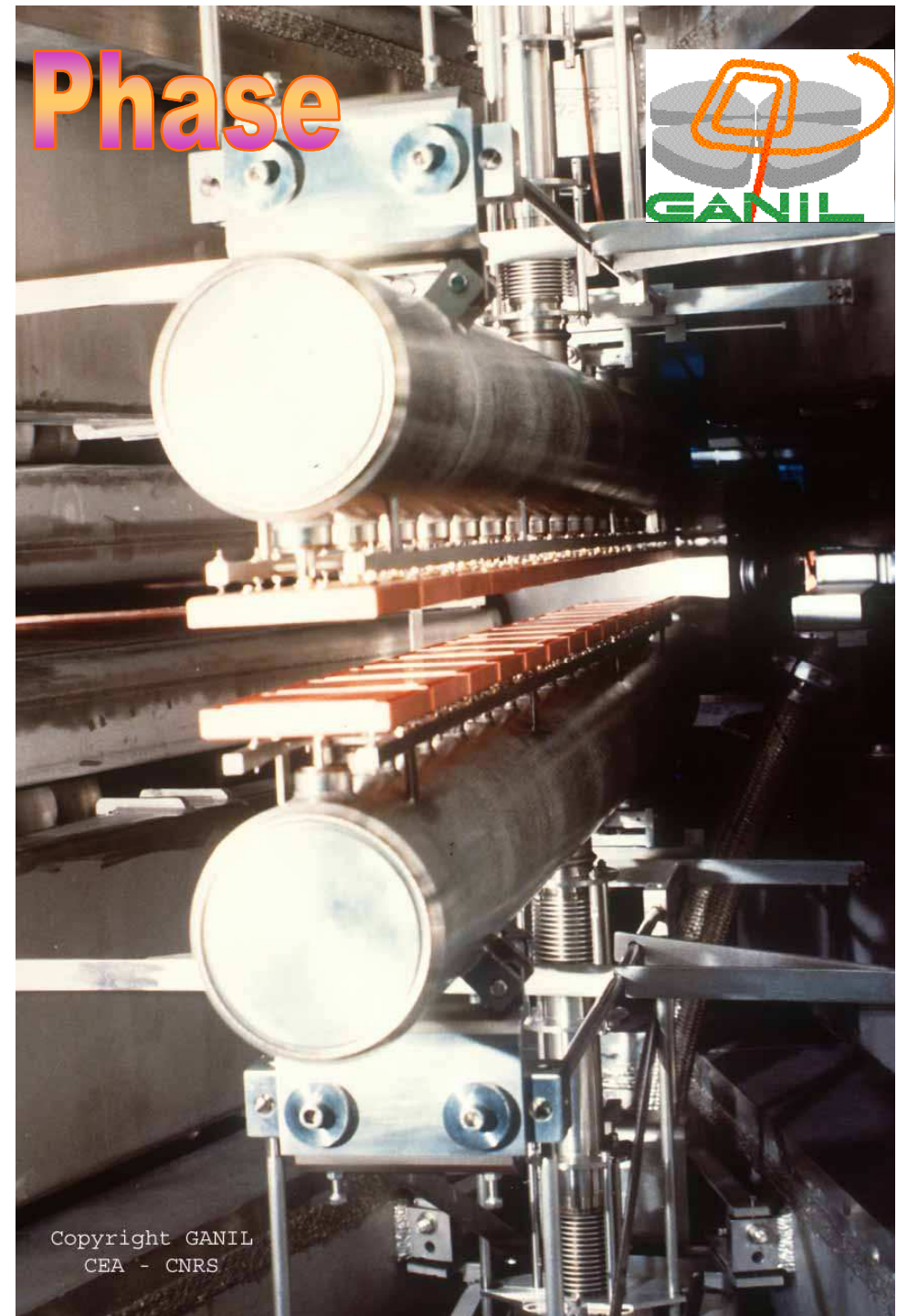
mesure de la phase de l'harmonique 2 de la structure HF faisceau ($f_{HF} = 7$ à 14 MHz) à l'aide d'une détection synchrone effectuée par deux multiplieurs entre le signal issu des électrodes et la fréquence double de la HF en phase et en quadrature.

Un multiplexeur permet de faire la mesure sur les 15 électrodes et sur un signal de référence.
(voir les fiches sur l'électronique)

Performances :

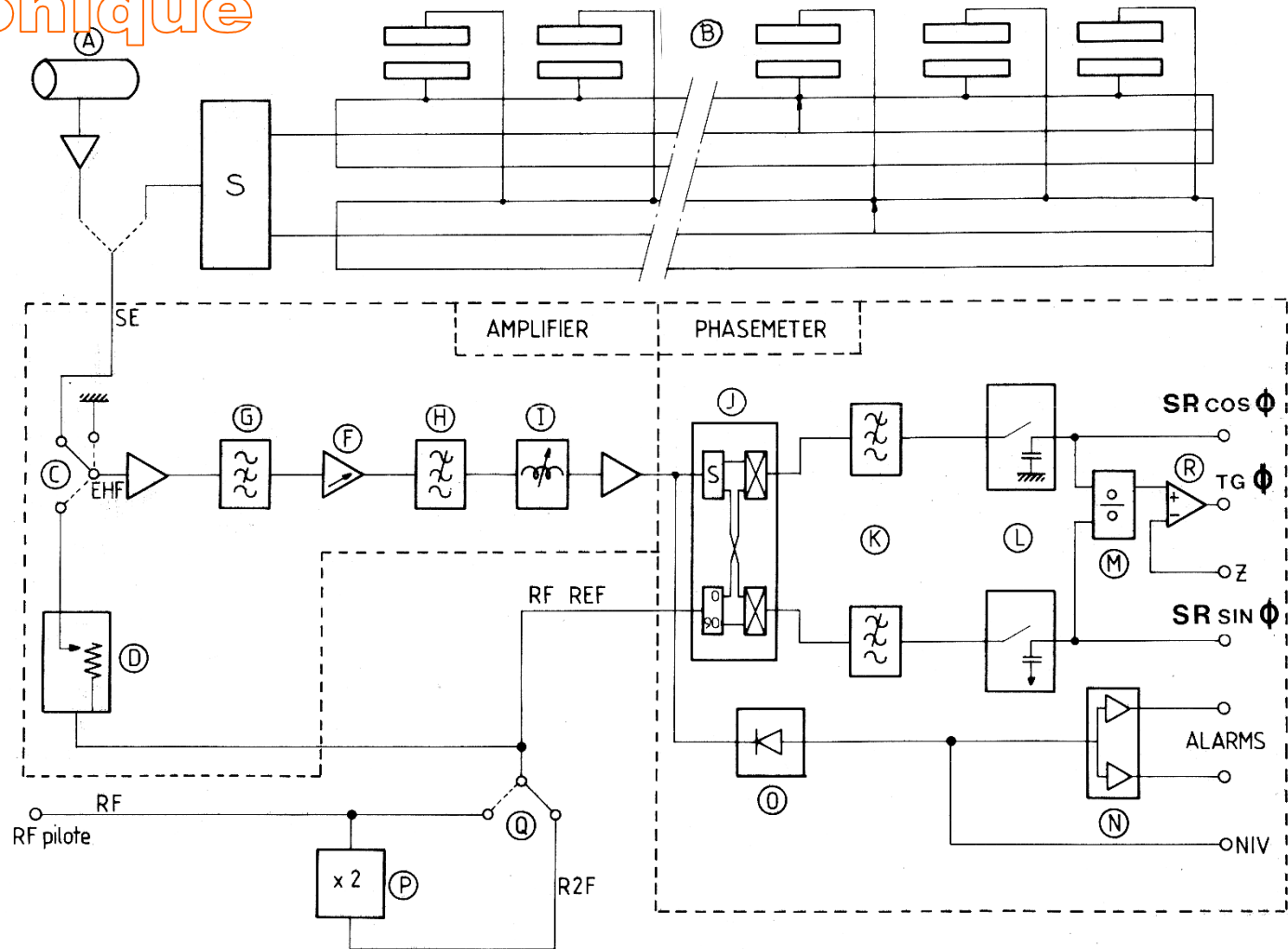
- résolution : $0,1$ rms (BP=10Hz) pour $2nAe$
- précision relative entre électrodes : $\pm 0,5^\circ$

Contact : F.Loyer
(loyer@ganil.fr)



La Détection de Phase

Sonde de Phase -Electronique

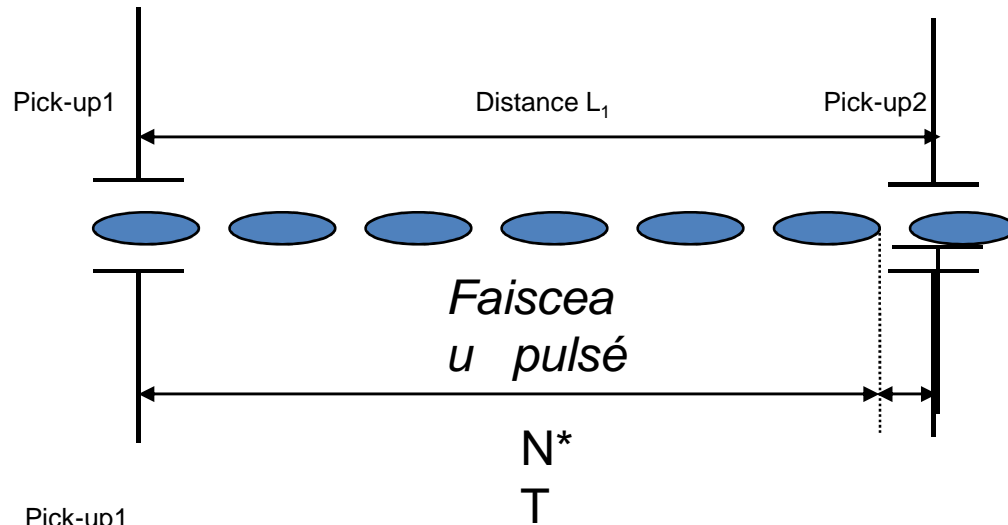


INSTRUMENTATION

Contact : F.Loyer
(lover@ganil.fr)

Application des détecteurs P.U.: Mesure d'énergie

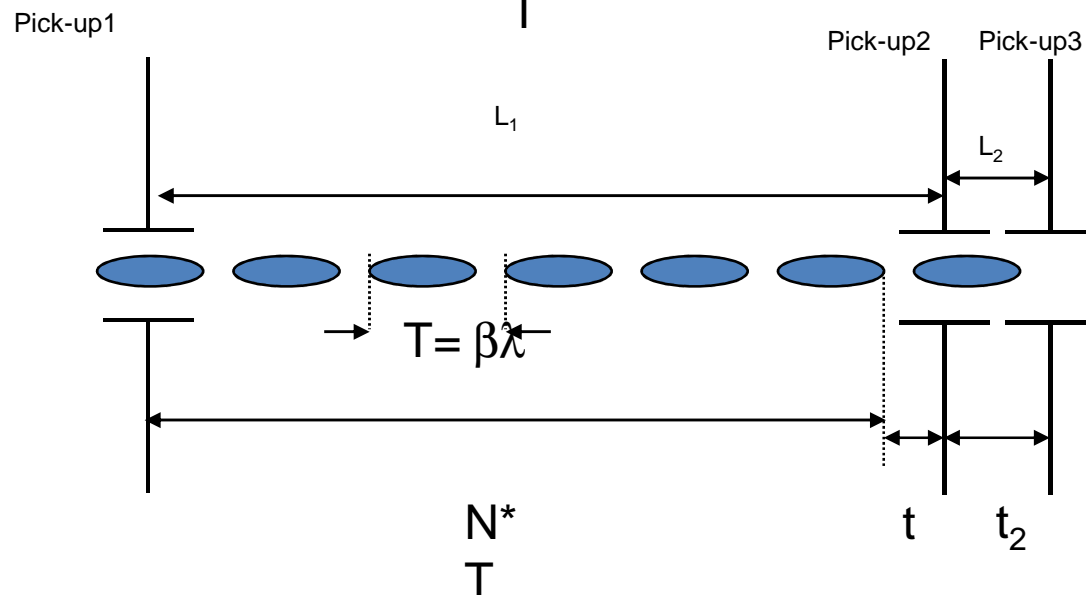
Temps de vol entre P.U. : (Faisceaux non relativistes)



$$\beta \cdot c = \frac{L}{NT + t}$$

Précision:

$$\frac{\Delta\beta}{\beta} = \sqrt{\left(\frac{\Delta L}{L}\right)^2 + \left(\frac{\Delta t}{NT + t}\right)^2}$$



La Détection de Position

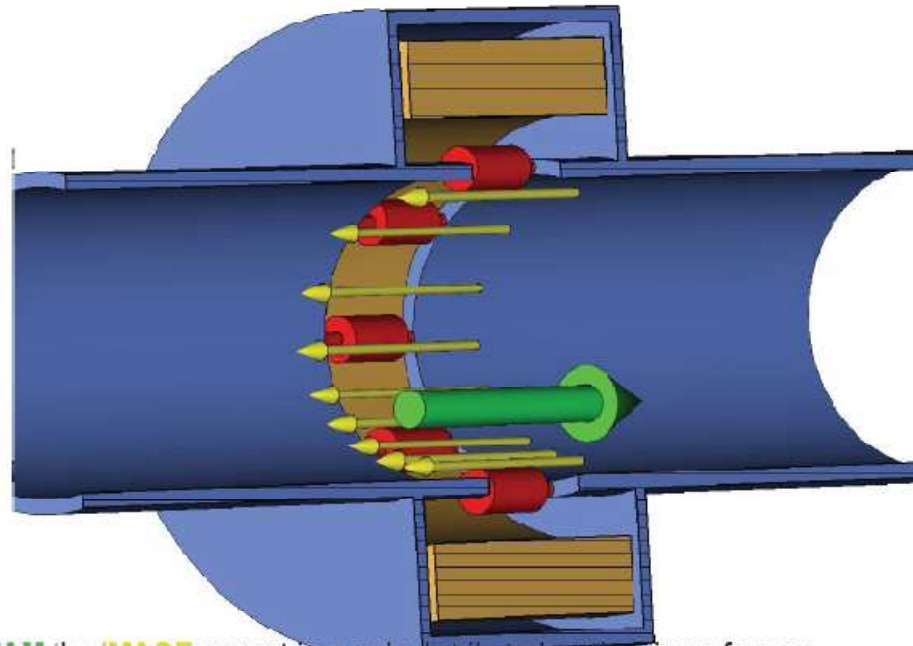
Electrode "Pick-up" capacitive



WCM as a Beam Position Monitor

$$f_{L\Sigma} = \frac{R}{2\pi L_\Sigma}$$

$$f_{L\Delta} = \frac{R}{2\pi L_\Delta}$$



- For a centered **BEAM** the **IMAGE** current is evenly distributed on the circumference
- The image current distribution on the circumference changes with the beam position
- Intensity signal (Σ) = resistor voltages summed
- Position dependent signal (Δ) = voltages from opposite resistors subtracted
- The Δ signal is also proportional to the intensity, so the position is calculated according to Δ/Σ
- Low cut-offs depend on the gap resistance and box wall (for Σ) and the pipe wall (for Δ) inductances

U. Raich CERN Accelerator School 2005

76

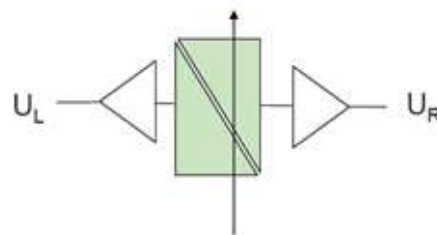
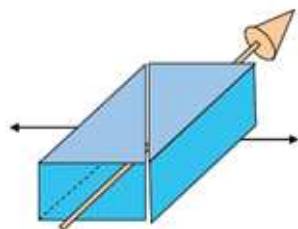
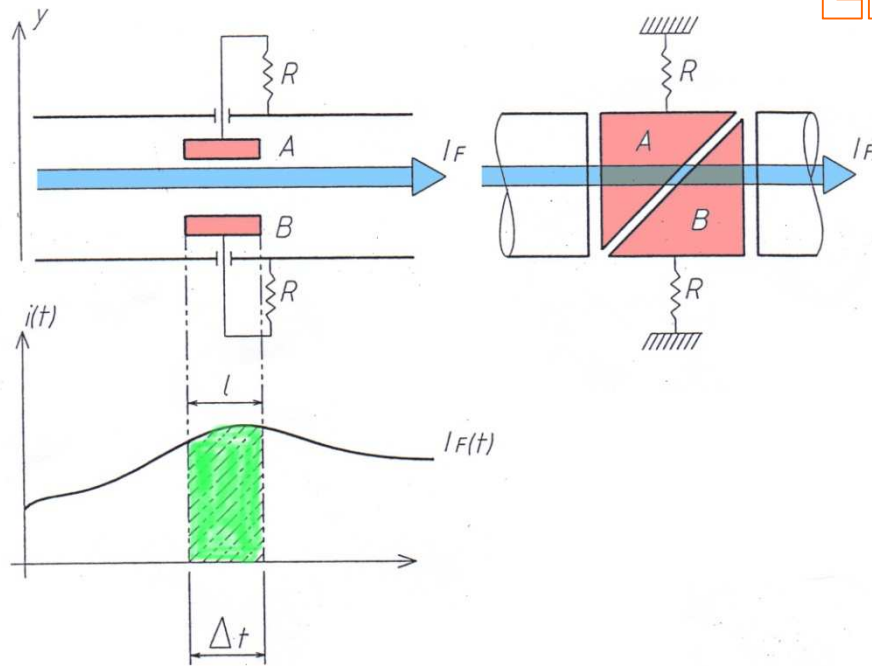
CAS

Slide by M. Gasior

THE CERN ACCELERATOR SCHOOL

La Détection de Position

Electrode "Pick-up" capacitive



$$x \propto \frac{U_L - U_R}{U_L + U_R} = \frac{\Delta}{\Sigma}$$

Propriétés:

- Non interceptif.
- Moniteur fonctionnant pour toutes les natures de faisceau.
- Utilise le champ électrique associé au faisceau.
- Destinée aux machines à protons (longueur du bunch \gg longueur de l'électrode)
- Coupe diagonale pour linéariser la réponse en position.

La Détection de Position



Electrode
capacitive rectangulaire
« shoe-box » montée dans
le synchrotron « MIMAS »

Compatible ultravide
Etuvable à 300 ° C

L= 18cm (H) 10,4 cm (V)
C ~ 120 pF

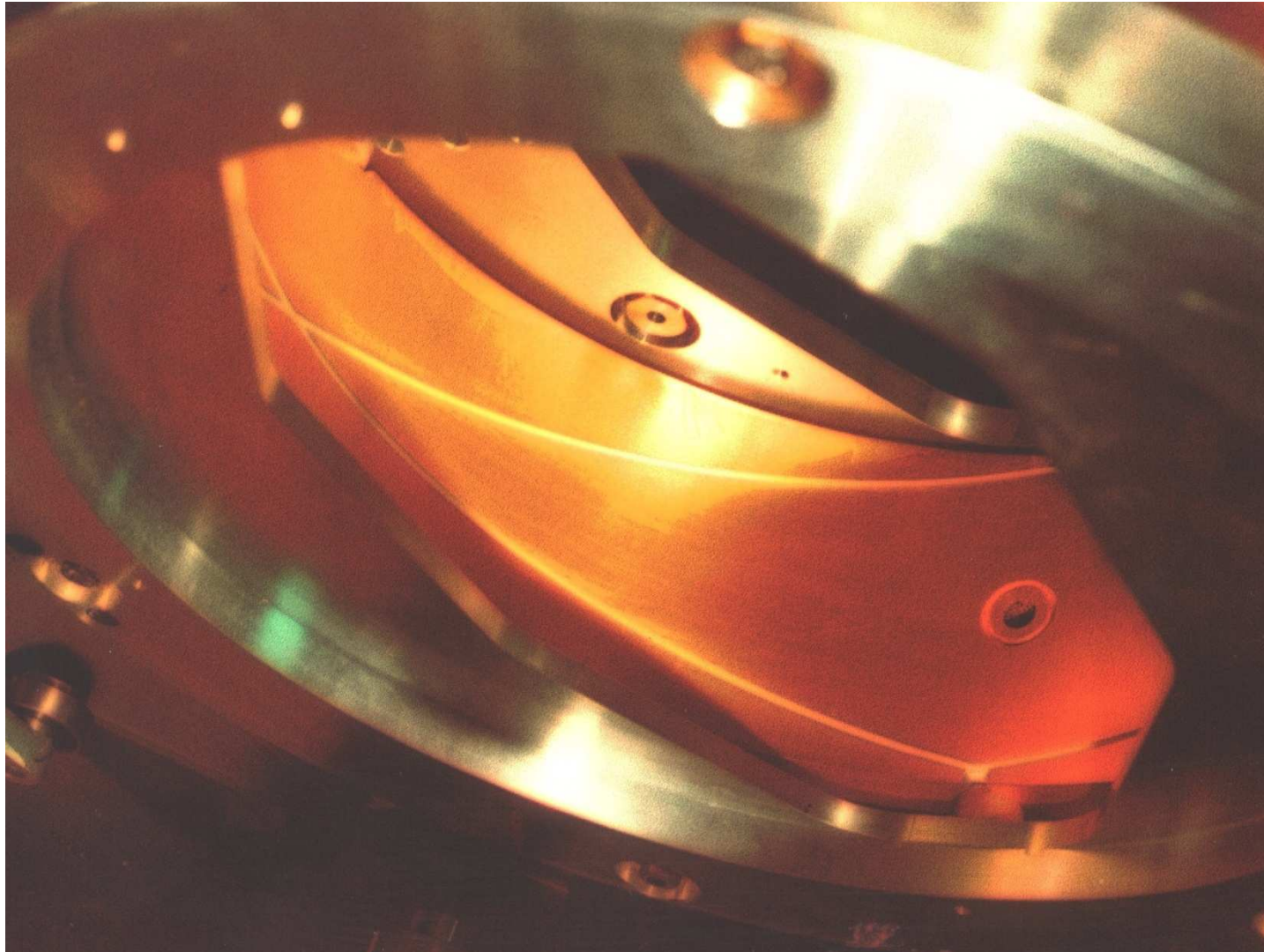
P.U. + électronique:
Détection à partir de 10^8
protons/ bunch

Précision absolue: 1 mm à 2
mm

Résolution: 0.5mm

La Détection de Position

Electrode capacitive électrostatique à coupe diagonale pour la détection du faisceau circulant dans le synchrotron « SATURNE »



Fréquence R.F.:

• 850 kHz - 8.8 MHz

P.U. + électronique:

• Précision absolue:

1mm

• Résolution: 0.1mm

Gamme de mesure:

• 10^9 à $2 \cdot 10^{12}$ p/
bunch



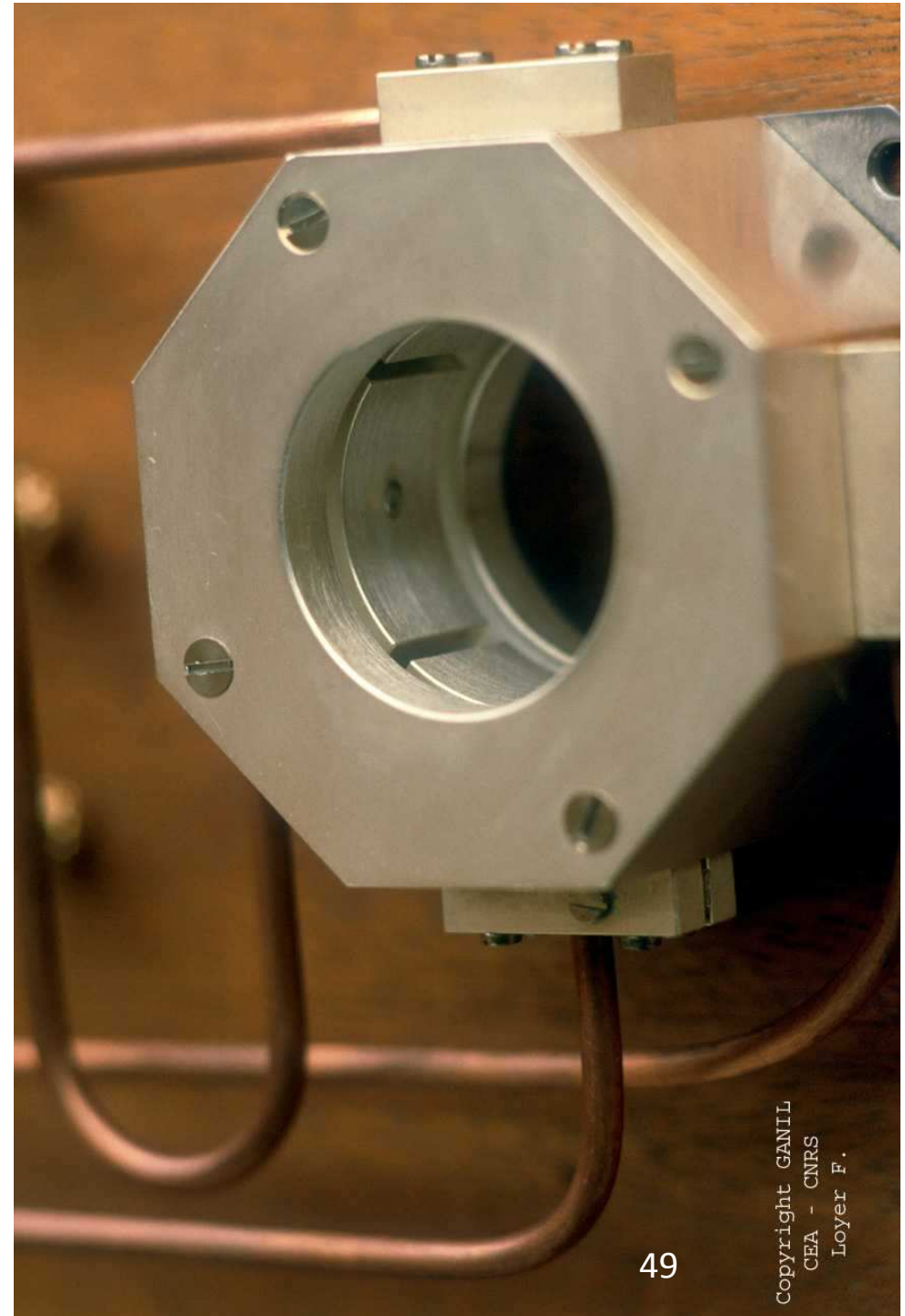
Sonde de Position Capacitive

Utilisation : mesure de la position du centre de gravité du faisceau d'ions dans le canal d'injection du cyclotron injecteur

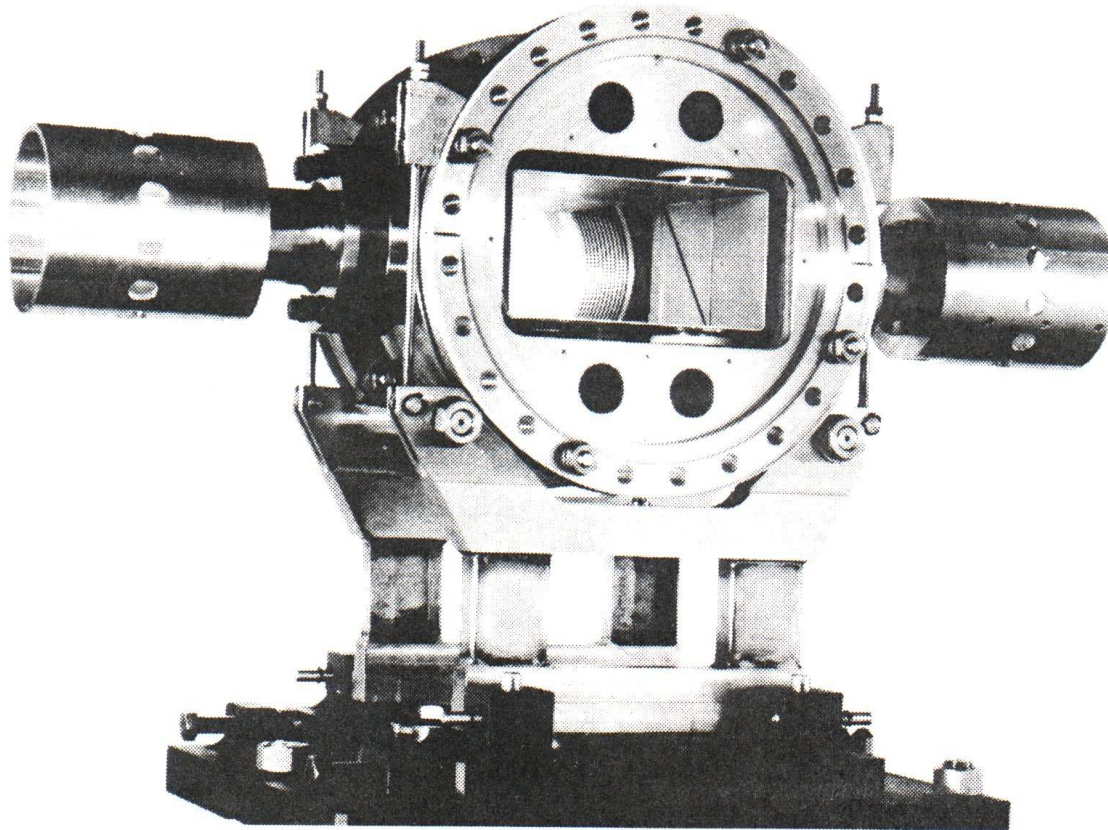
Principe : détection synchrone sur l'harmonique 2 de la structure HF du faisceau (fréquence intermédiaire à 10kHz) puis extraction de la position du faisceau par transformation de la différence d'amplitude des signaux en différence de phase.

Performances : pour 10nAe à 30keV/u

- ouverture : 30mm
- résolution : 0,1mm (intégration 1s)
- précision absolue : 0,5mm au voisinage du centre ($<R/3$)



La Détection de Position



- Electrode P.U. « shoe box »
- Pour I.S.R. (53 par anneau)
- Fonctionne dans l'ultravide
- Etuvable à 350°C
- Ouverture utile: 50 x 150mm
- Capacité: 76 pF.
- Précision absolue: $\pm 0.5 \times 10^{-3}$
- Appariement: $\pm 0.3 \times 10^{-3}$
- Capacité inter-électrode: ~ 5 pF

Avec l'électronique:

- (Préampli à tube)
- Résolution pour 1 bunch
 $12 \cdot 10^{11}$ p/bunch : 0.5mm
- « mode D.C. » (moyenne sur
10ms à 100 ms): 0.04 mm

La Détection de Position

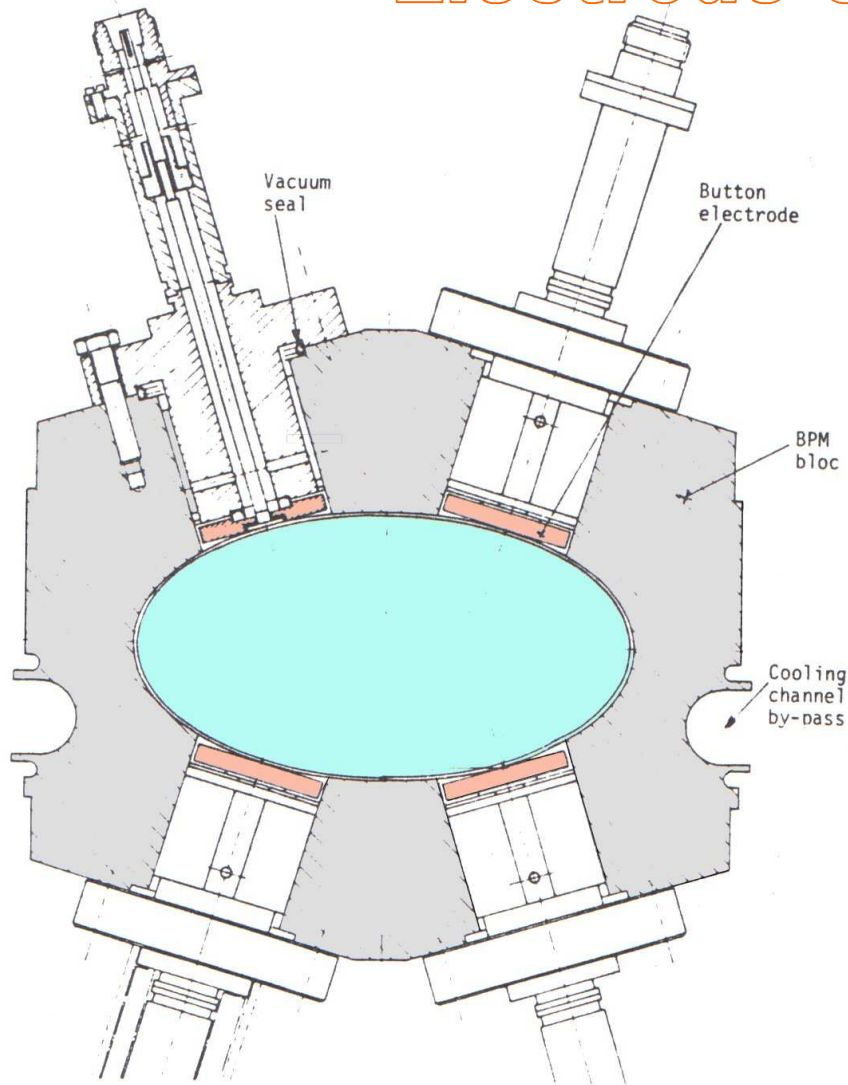
Electrode Capacitive "Bouton"

Propriétés:

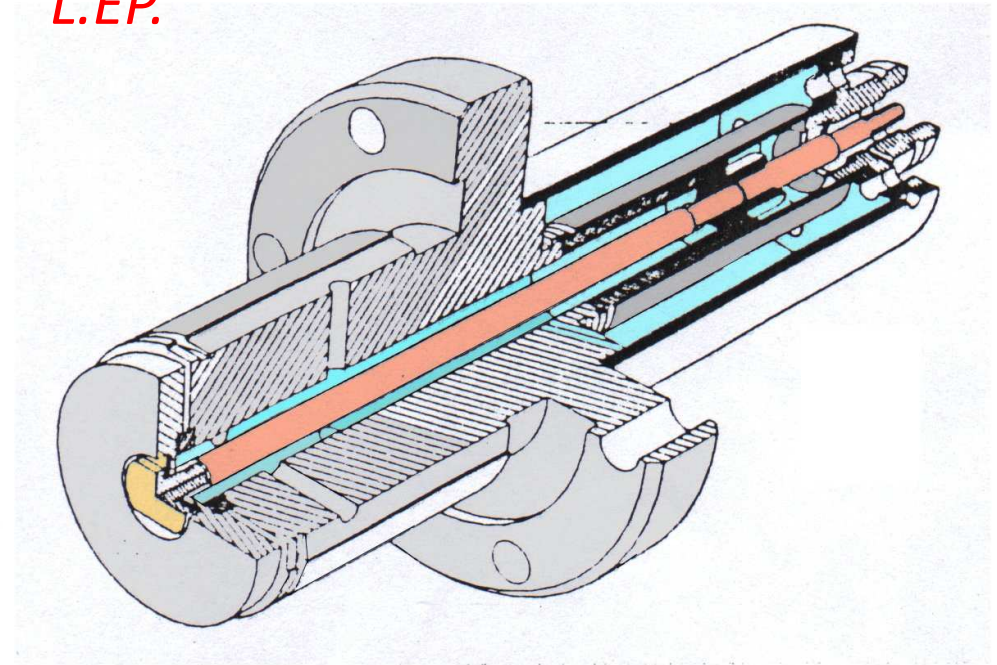
- Non interceptif. Moniteur pouvant fonctionner pour toutes les natures de faisceau.
- Utilise le champ électrique associé au faisceau.
- Destinée généralement aux machines à électrons et aux machines à rayonnement synchrotron (longueur du bunch \sim longueur de l'électrode)
- Contrôle de l'orbite fermée du faisceau, asservissement de position du faisceau
- Réponse non linéaire : nécessite un étalonnage.

La Détection de Position

Electrode Capacitive "Bouton"



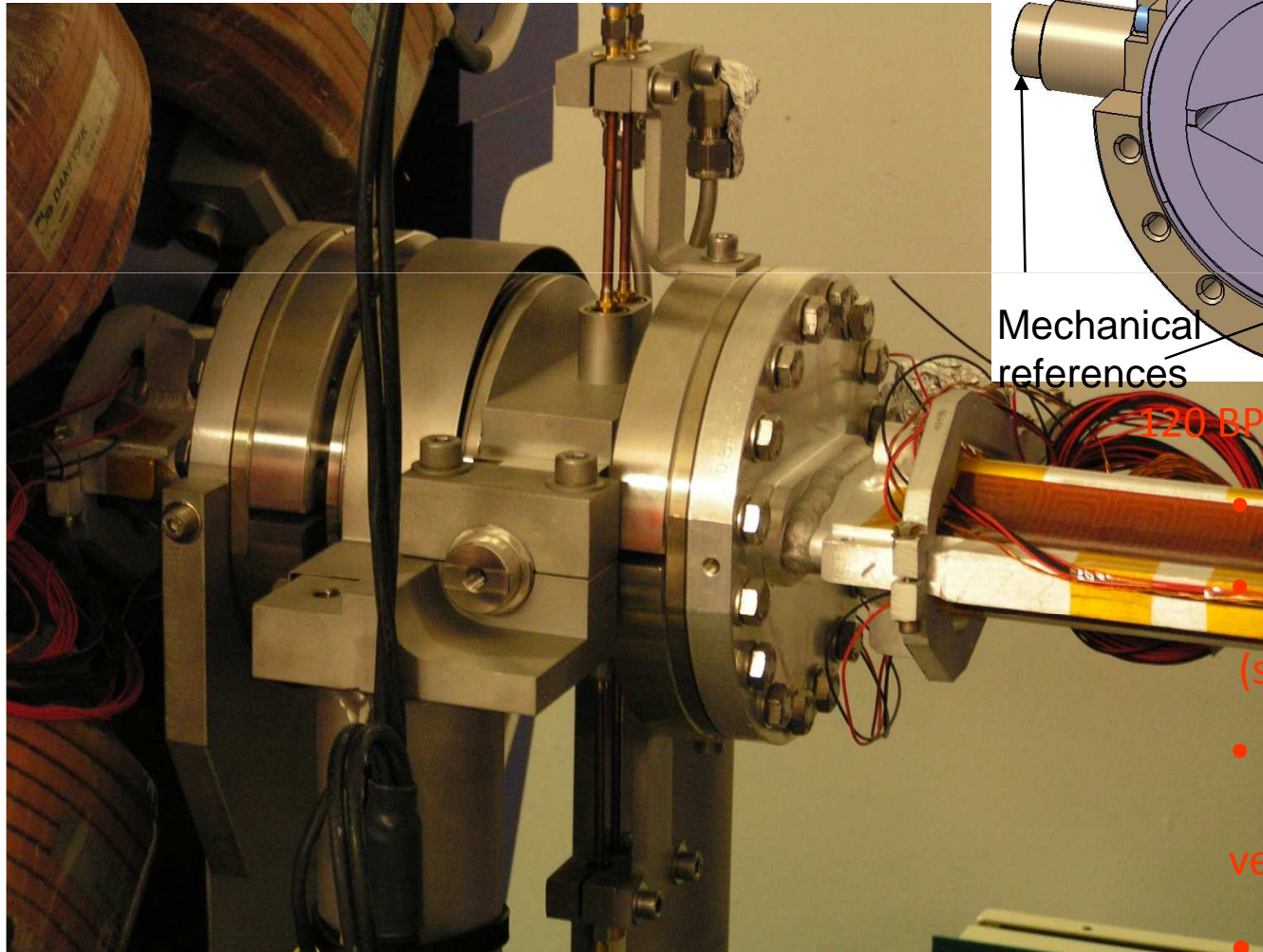
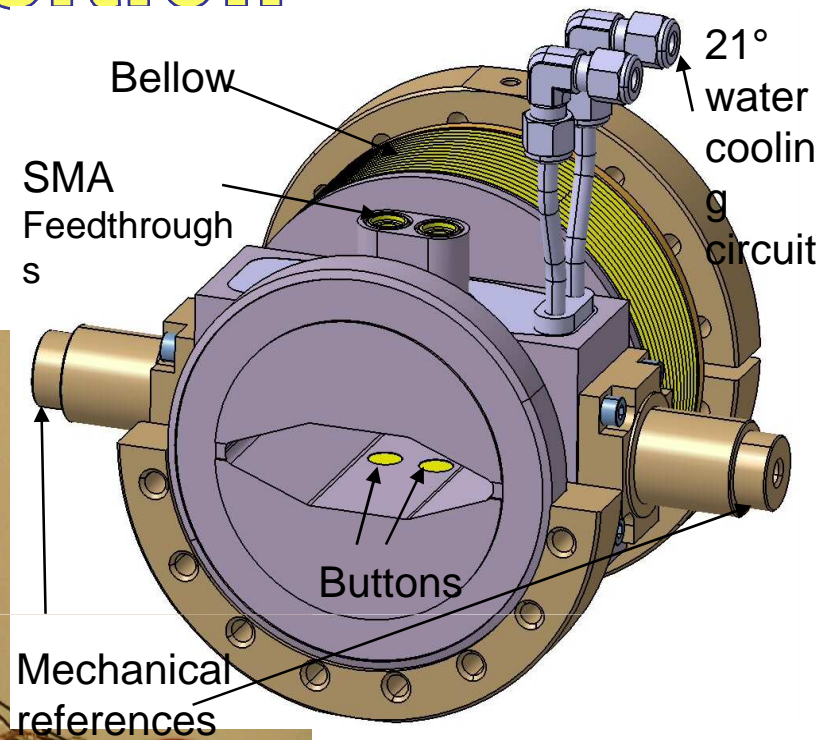
L.E.P.



Bloc BPM typique pour machine à électrons

La Détection de Position

B.P.M. SOLEIL



• 120 BPM autour de l'anneau

• Sur poutre (arc BPMs)

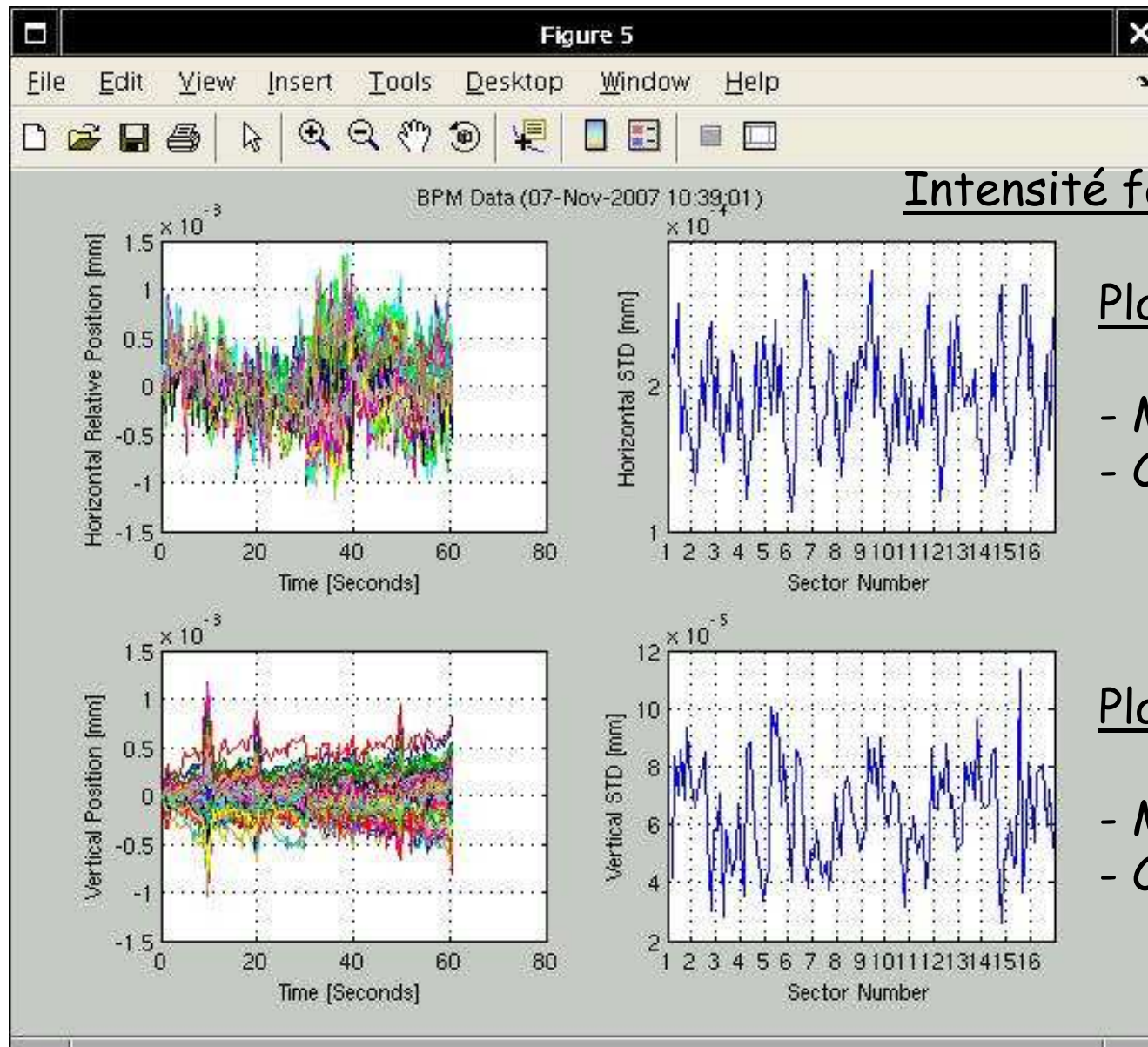
• Sur colonne fixée dans le sol
(sections droites)

• Electrode separation:
16 mm horiz. 25 mm
vert.

• Refroidissement: $21 \pm 0.1^\circ\text{C}$

La Détection de Position

B.P.M. SOLEIL



Intensité faisceau stocké: 158 mA

Plan Horizontal:

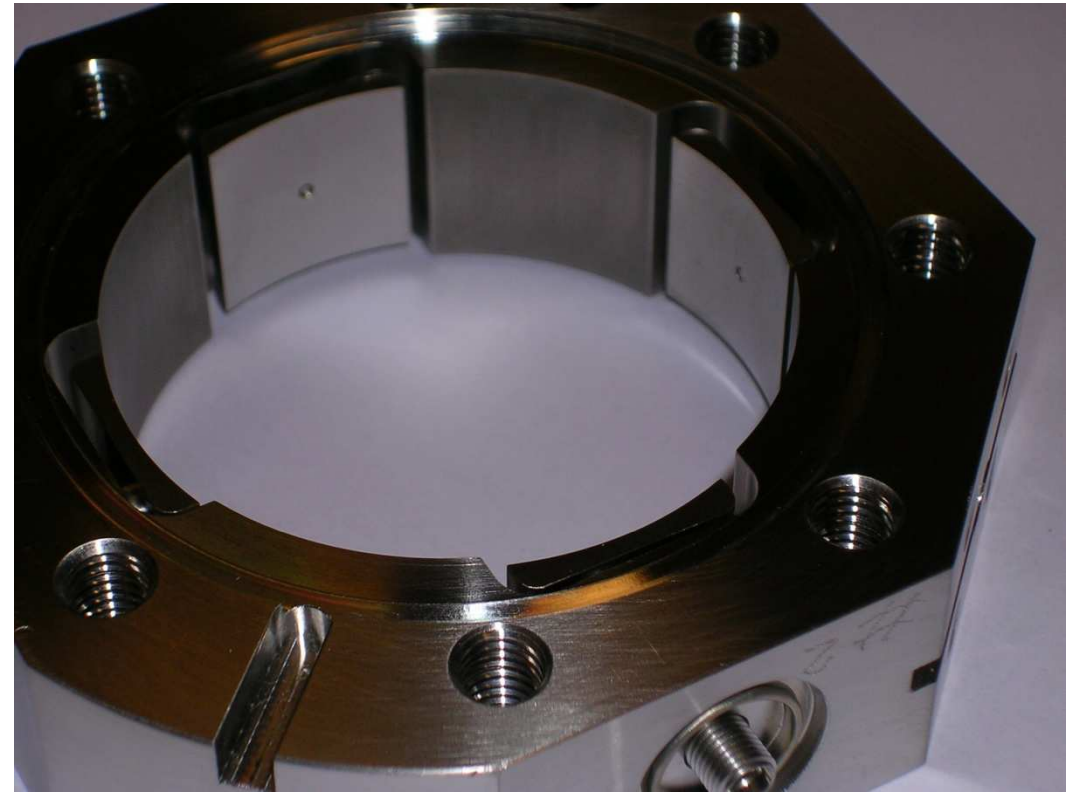
- Mesures sur 60s
- Calcul bruit rms: 0.2 μm

Plan Vertical:

- Mesures sur 60s
- Calcul bruit rms: 60 nm

La Détection de Position

B.P.M. IPHI

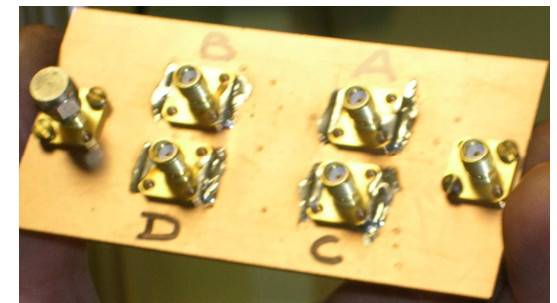


Exemple: BPM IPHI

Bouton Φ : 24 mm

Φ Int. chambre vide: 66mm

$C \sim 9.5$ pF



La Détection de Position

Coupleur Directionnel ou "Micro-stripline"

Propriétés:

- Non interceptif. Moniteur pouvant fonctionner pour toutes les natures de faisceau.
- Utilise le champ électromagnétique associé au faisceau.
- Equipe les machines à protons (longueur du bunch $<$ longueur de l'électrode) et surtout les collisionneurs grâce à ses propriétés directionnelles.
- Contrôle de l'orbite fermée du faisceau, asservissement de position du faisceau
- Réponse en position non linéaire: nécessite un étalonnage

La Détection de Position

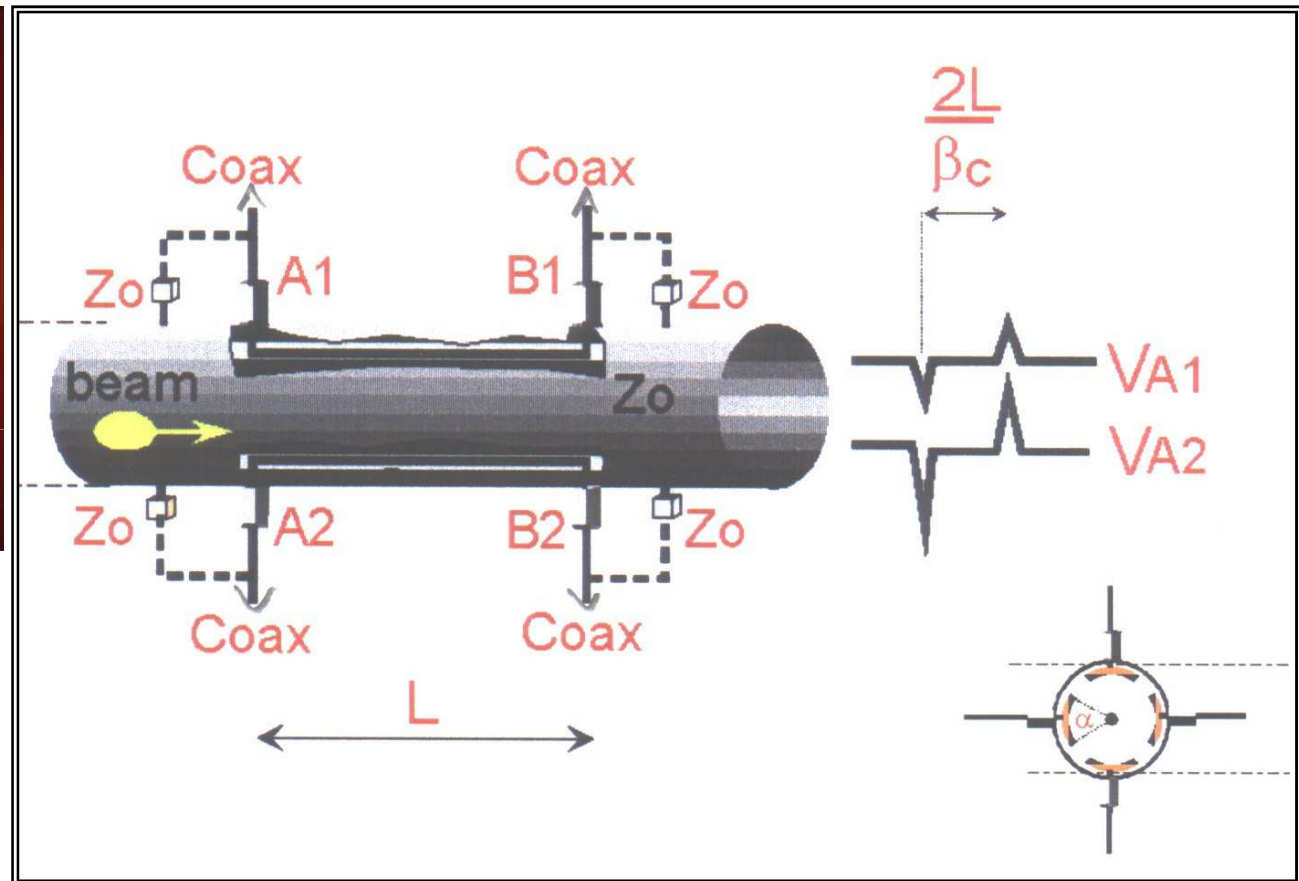
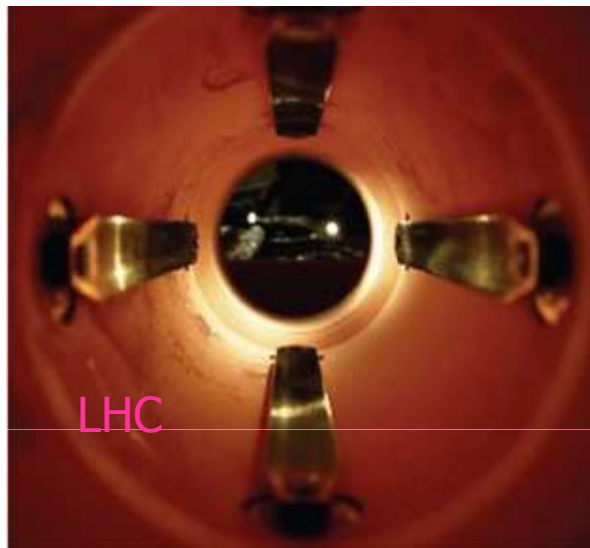
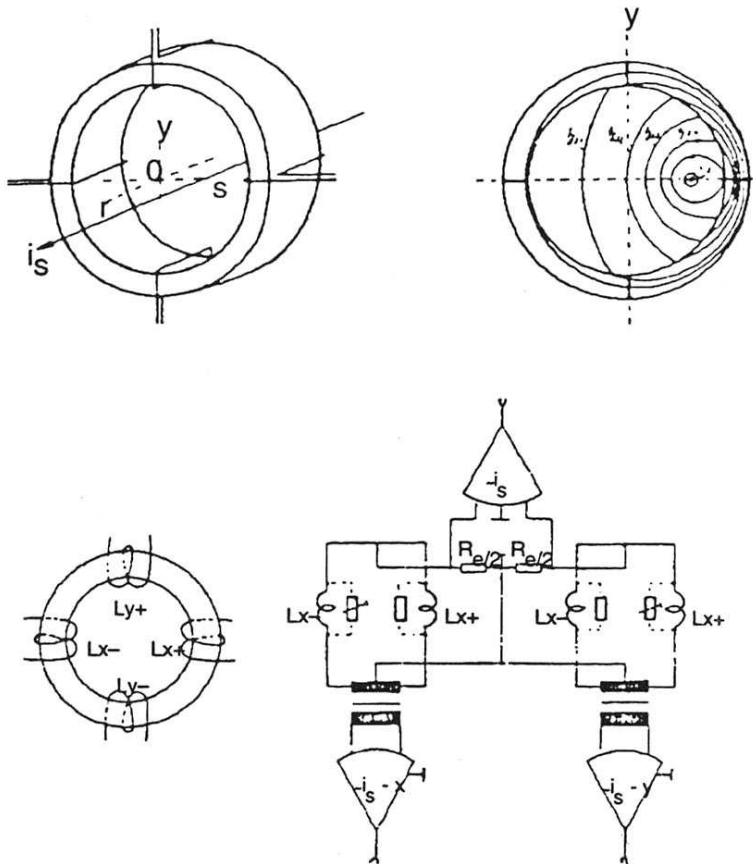


Schéma de principe d'un coupleur directionnel ou « stripline »

La Détection de Position



Sensibilité sous 50 Ω du signal

$$\Sigma = 65 \text{ mV} / 0.33 \text{ mA}$$

Sensibilité sous 50 Ω du signal

$$\Delta = 2000 \text{ mV} / 10 \text{ A.mm}$$




B.P.M. type « magnétique » monté sur ALTO

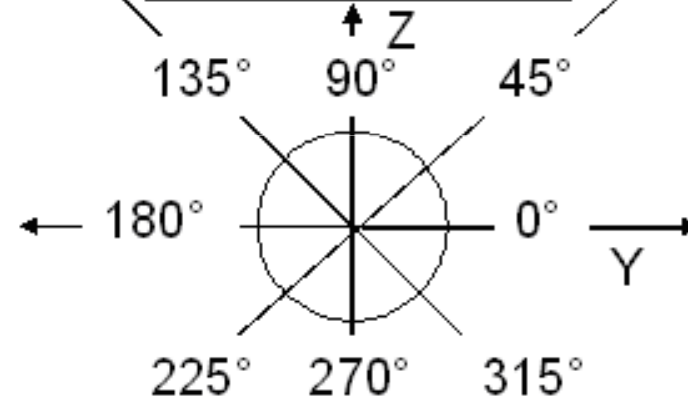
La Détection de Position

 ΔH

 ΔV

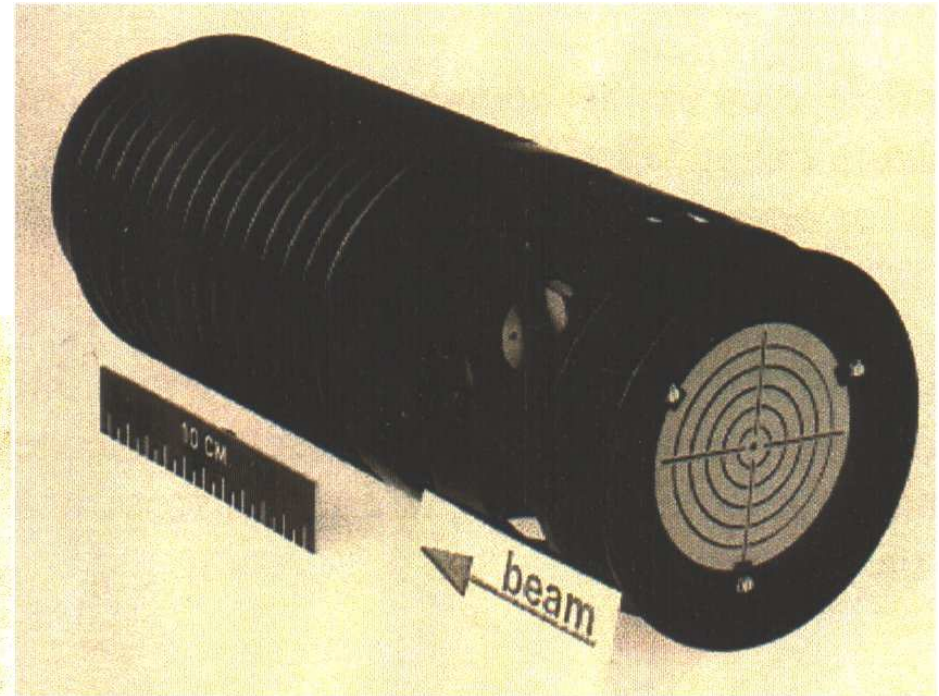
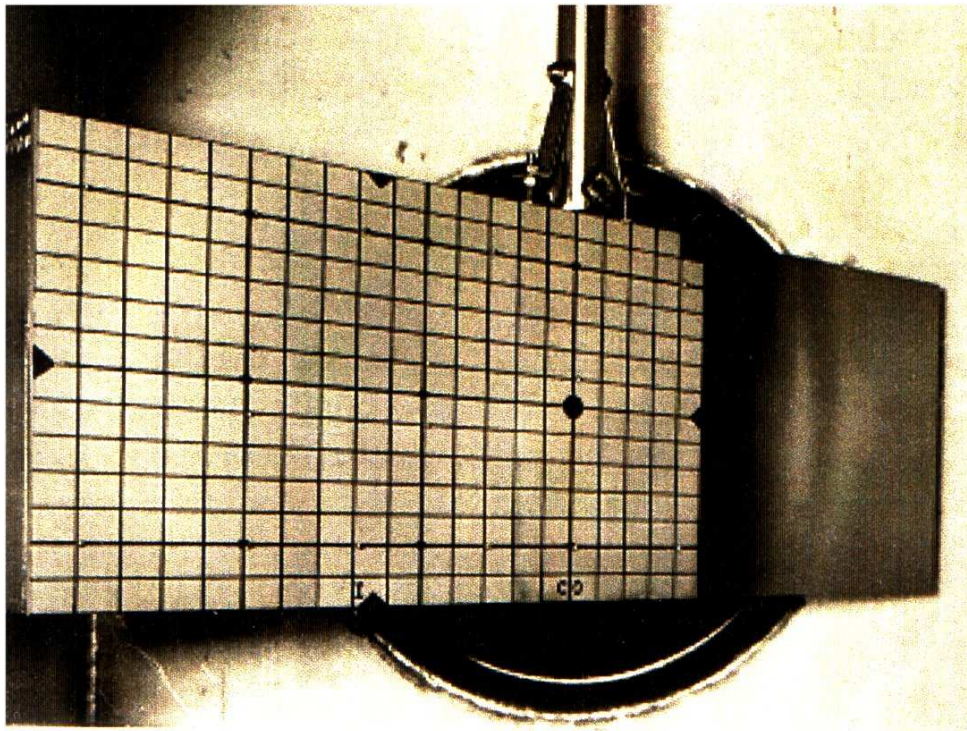
 Faisceau

 Σ



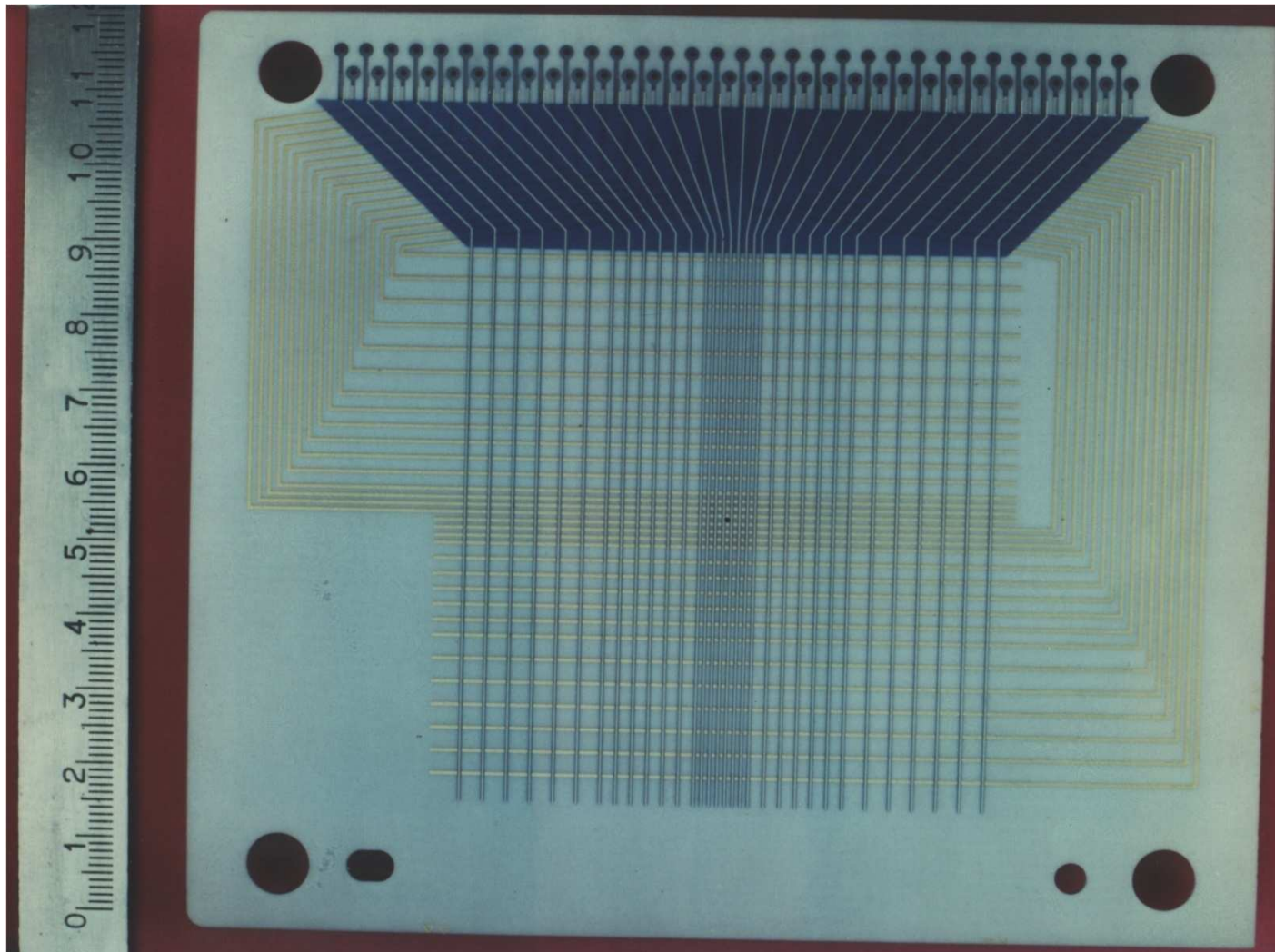
Profils transverses

Détecteurs complètement destructifs (faisceau intercepté):
scintillateurs dopés



Profils transverses

Détecteurs destructifs interception quasi-totale du faisceau



Capteur multicouches
Montage en ultravide

Grille H + grille V
Dépôt: or
Substrat: alumine
Épaisseur de 3mm
Pas: centre 0.5 mm
Milieu 1 mm
Bord 2 mm

Profils transverses

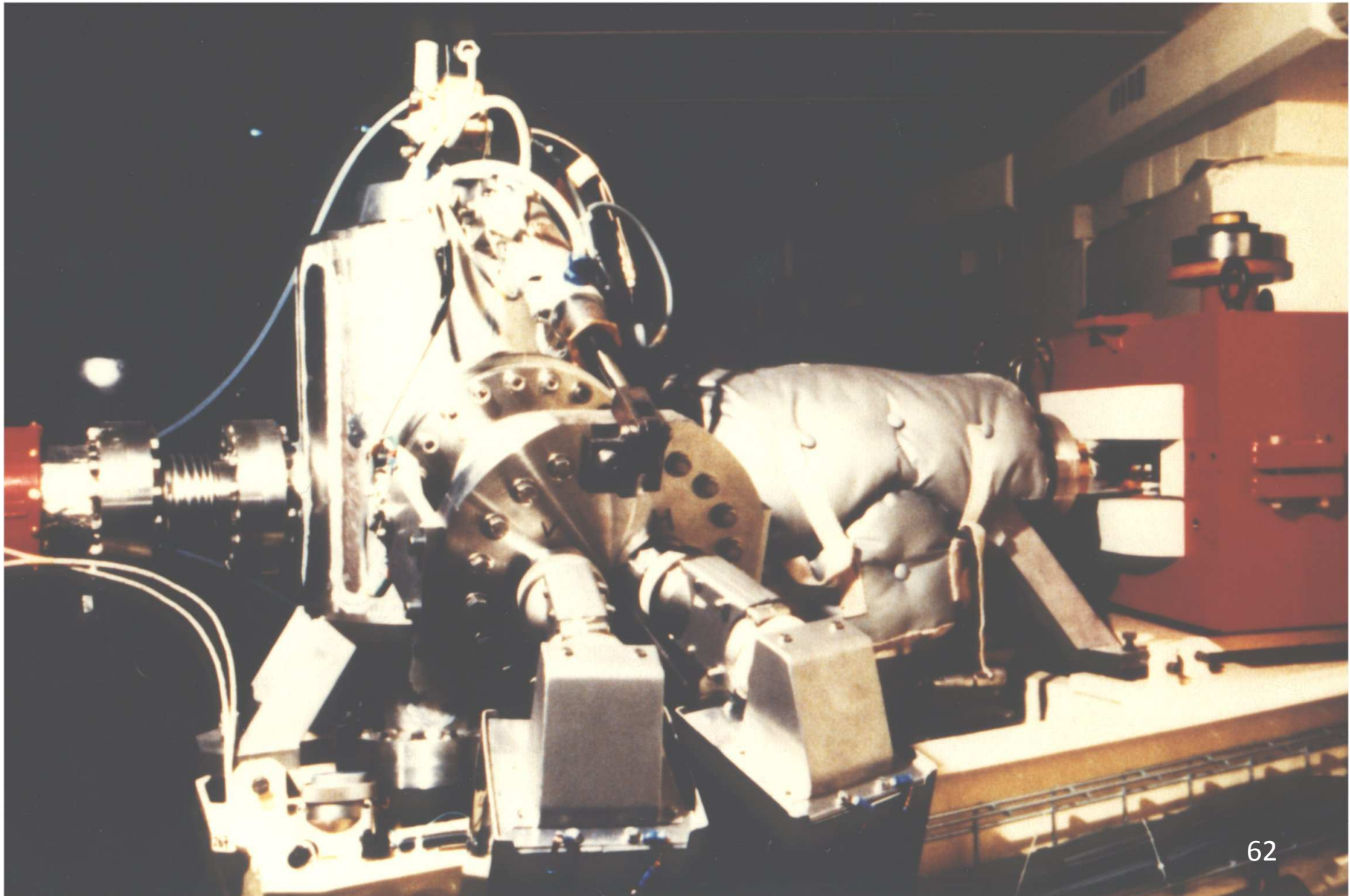
Capteur multicouches monté sur profileur
Technologie ultravide

- Profils horizontal et vertical (2x32 voies)
- Insertion par vérin pneumatique

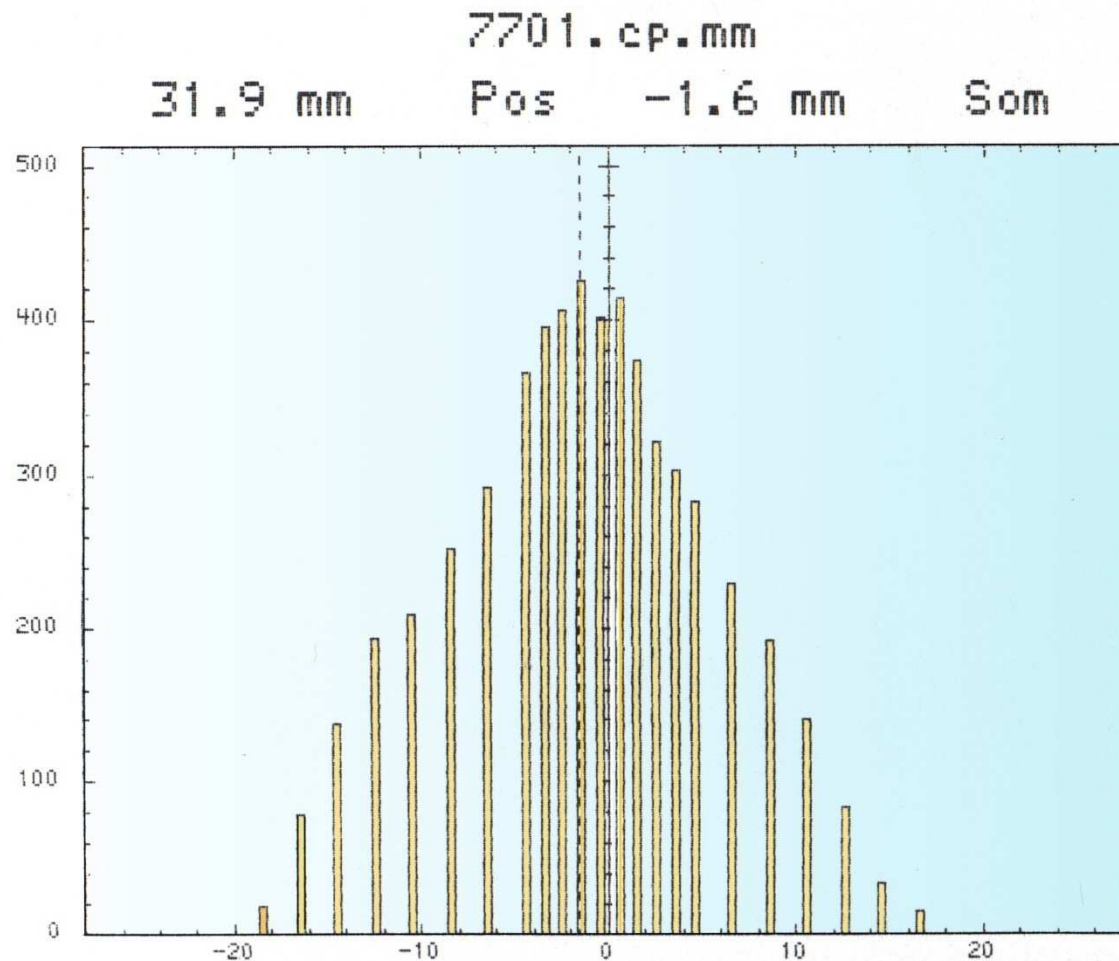


Profils transverses

Exemple de profileur monté sur une machine



Profils transverses



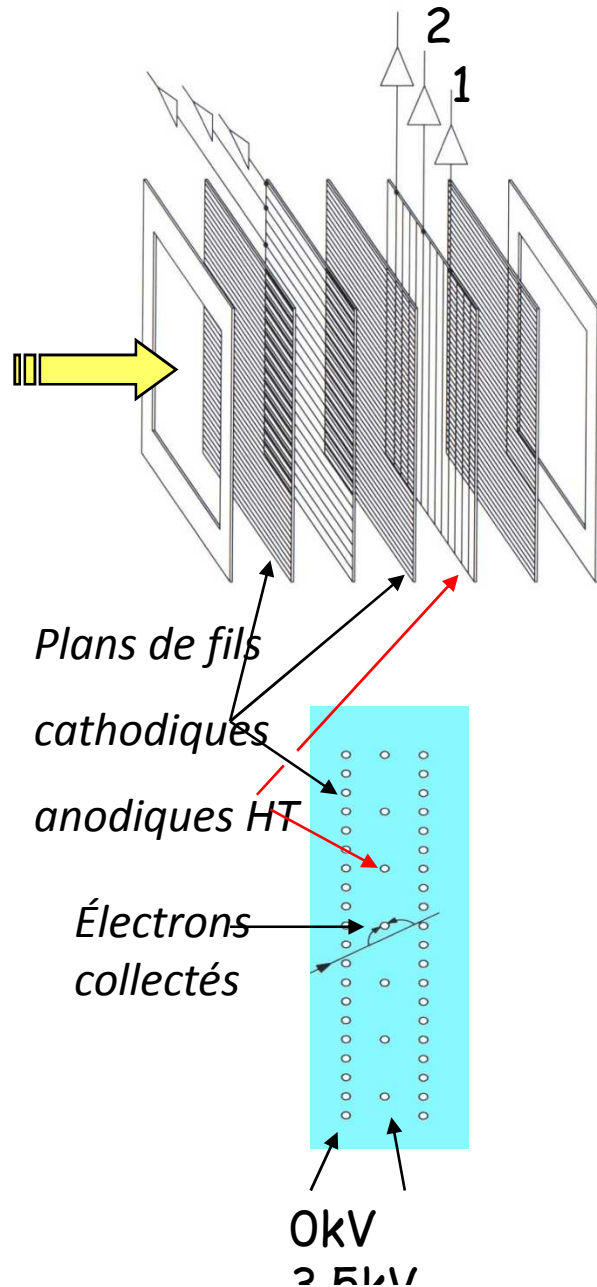
Exemple de présentation
des résultats

Profileur de 32 fils:
fils au pas de 1 mm, de
2mm, de 3 mm.

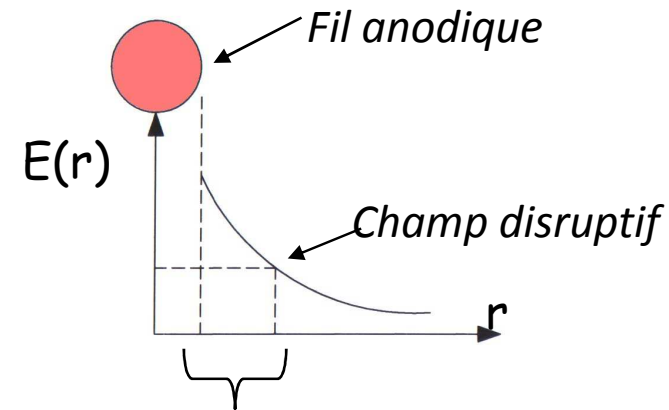
- Calcul et affichage
automatique du centre de
gravité
- Calcul de la largeur à x%
- Contrôle de l'intensité du
faisceau

Profils transverses

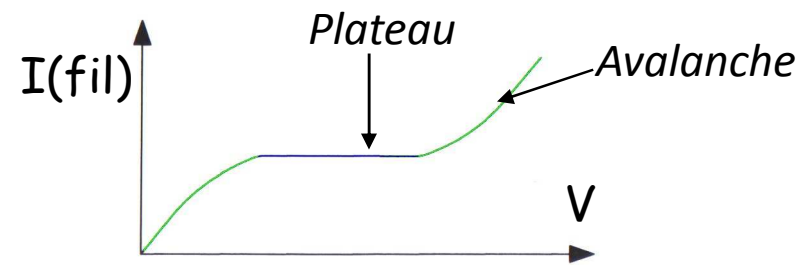
Détecteurs destructifs



chambre à ionisation



Région d'avalanche



Profils transverses

Sonde de profil à Circulation de Gaz

Utilisation : mesure du profil transverse et de la position du centre de gravité du faisceau d'ions

Principe :
détection sur des plans de fils du courant électrique créé par la ionisation du gaz circulant dans la chambre (voir fiche suivante)

Performances :

- précision en position : 0,5mm
- résolution : 1 mm
- intensité maximale du faisceau : < 1 nAp
- intensité minimale : 10^3 ions/s

Contact : J.L.Vignet
(vignet@ganil.fr)



Copyright GANIL
CEA - CNRS

Profils transverses

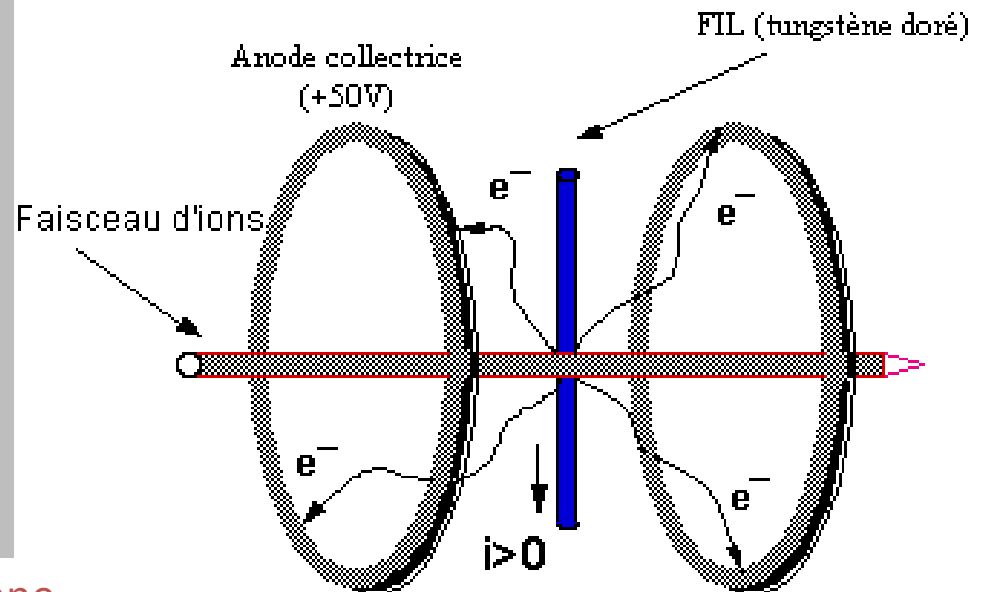
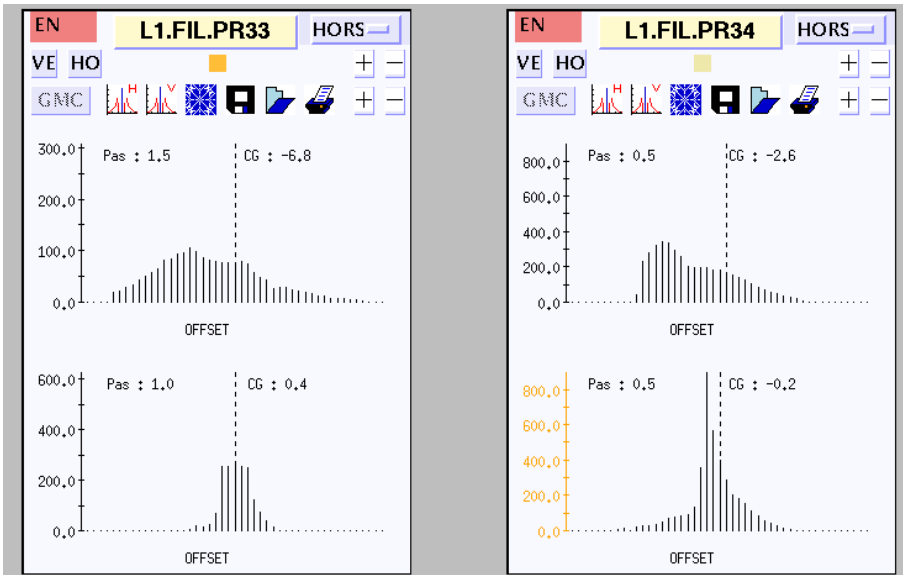
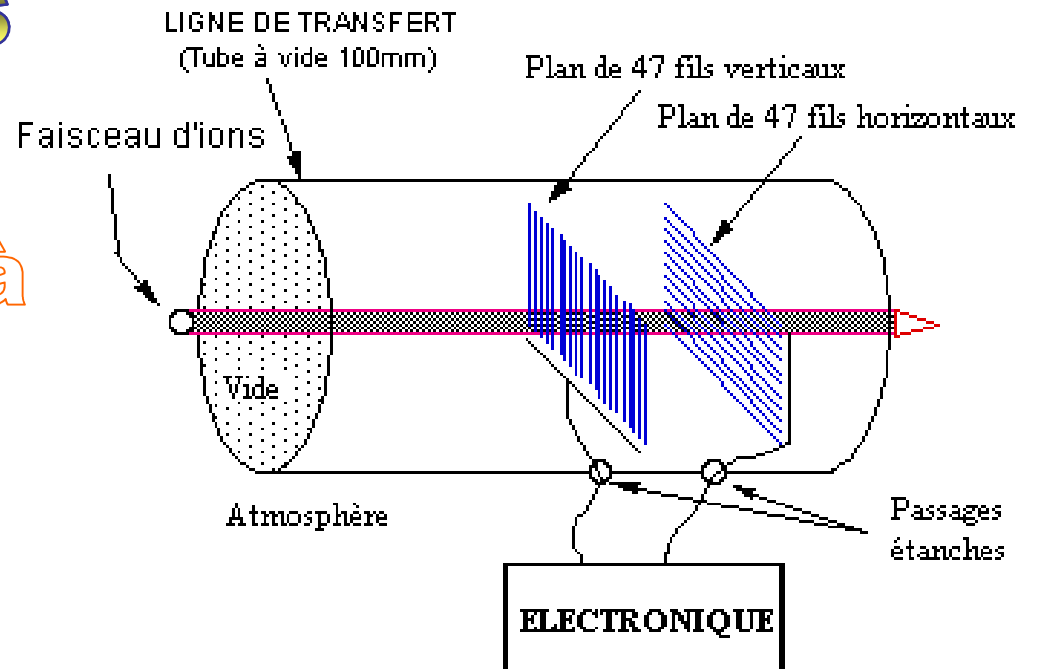


INSTRUMENTATION

Sonde de profil à Plan de Fil

Principe :

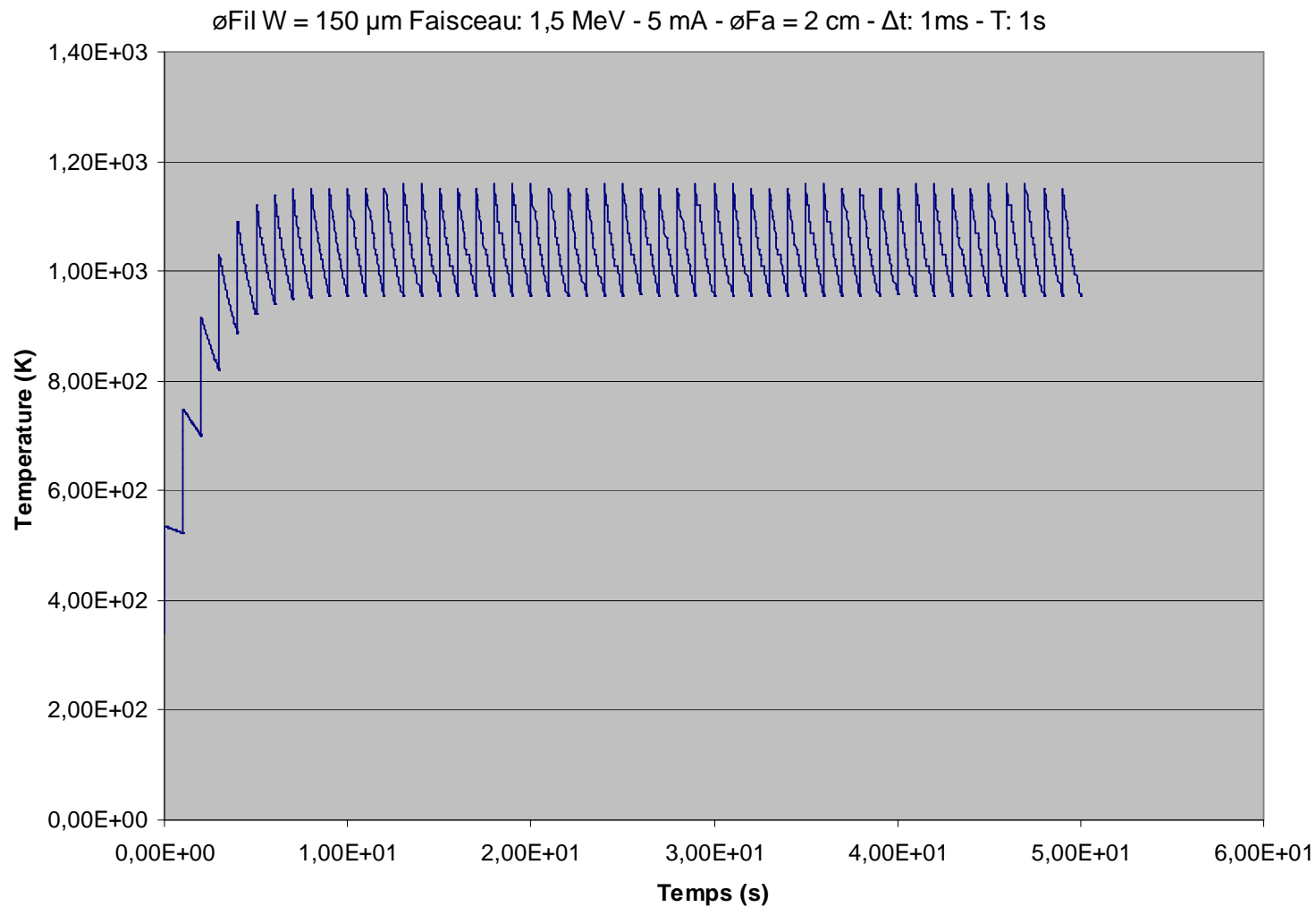
détection du courant électrique créé par les électrons secondaires émis par l'impact du faisceau sur des fils organisés en plans verticaux et horizontaux



Contact : R.Anne
(anne@ganil.fr)

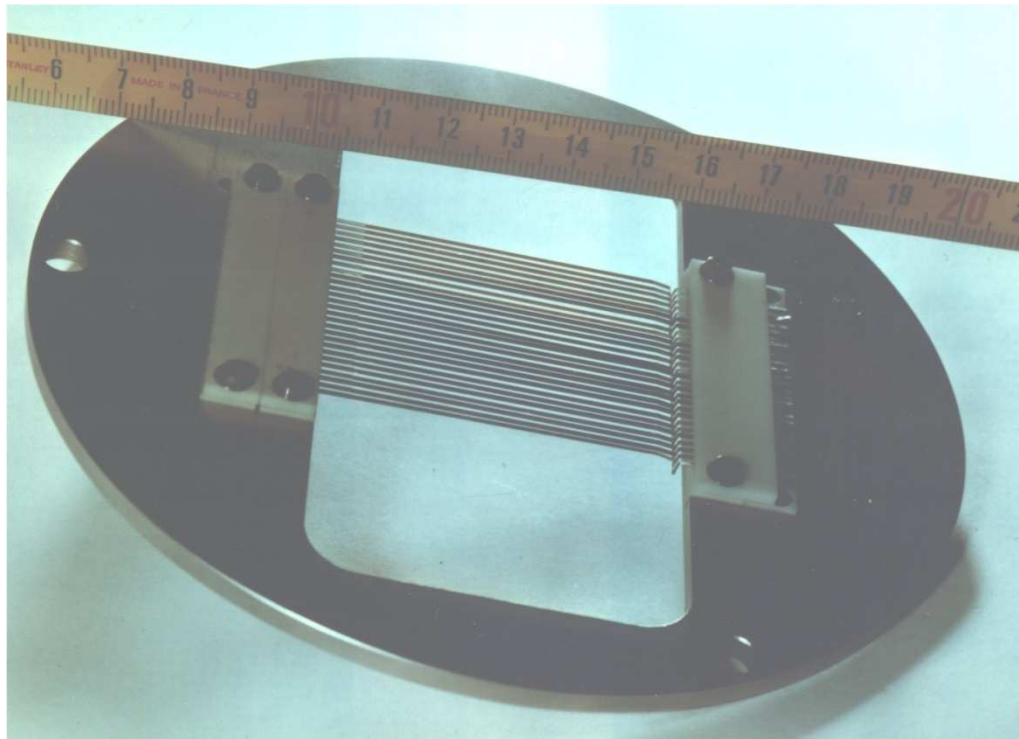
Détection interceptive de faisceaux de forte intensité

Echauffement d'un fil de profileur à émission secondaire



Profils transverses

Détecteurs interceptifs "semi-Destructifs"

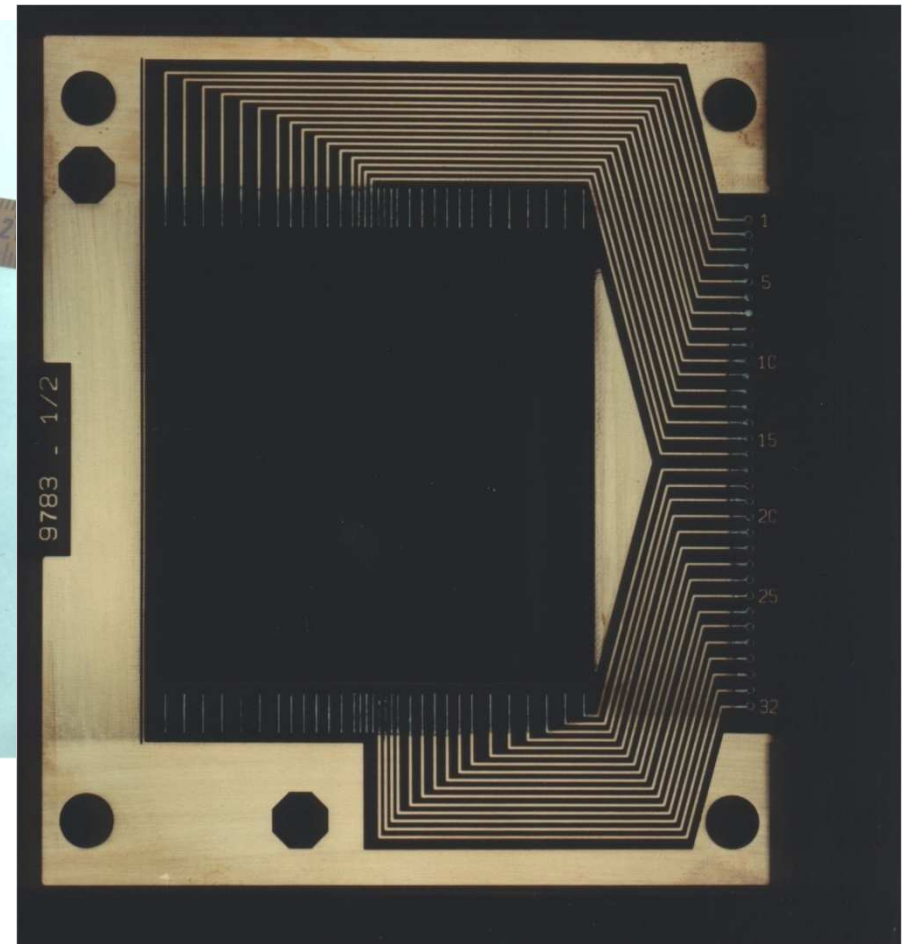


Capteur type « ruban »

Matériau nickel

épaisseur: 20 μm ; largeur ruban: 1mm

Support: alumine (bon isolement électrique)



Capteurs à fils de tungstène:

Diamètre: 30 μm

Substrat: epoxy

Profils transverses

Sonde de profil à Plans de Fils

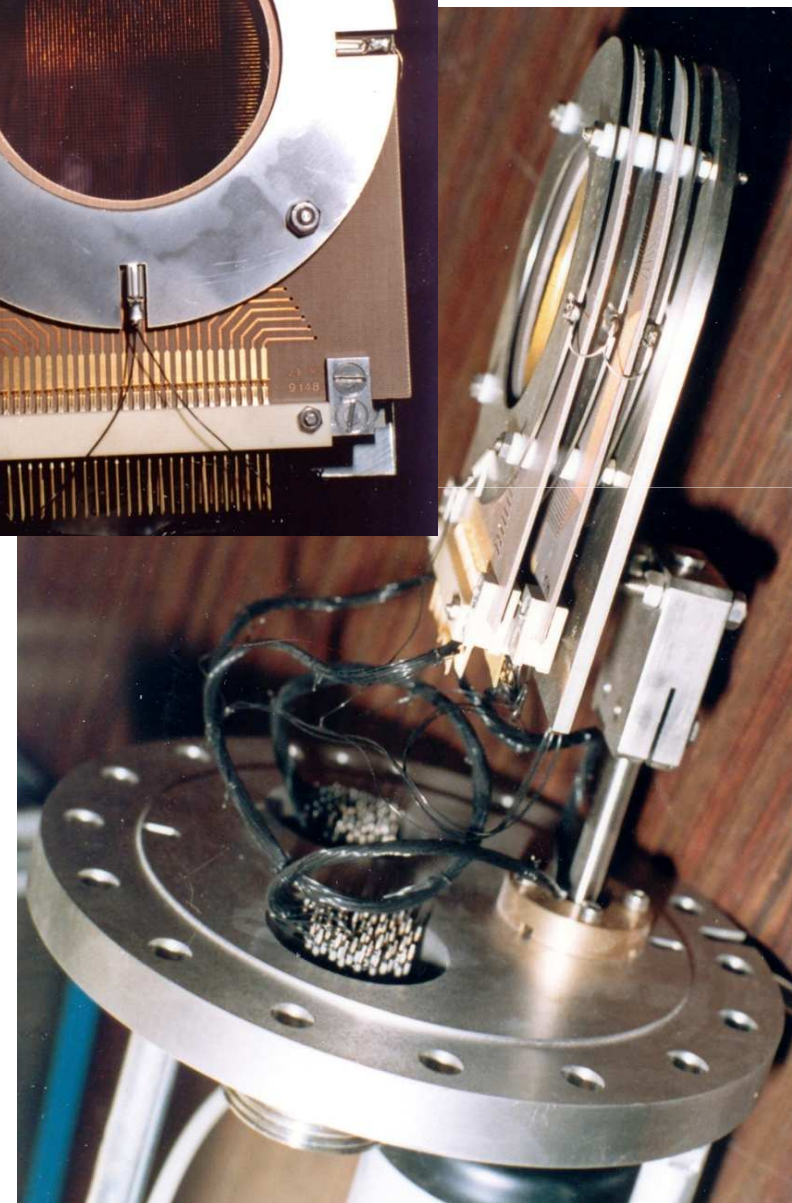
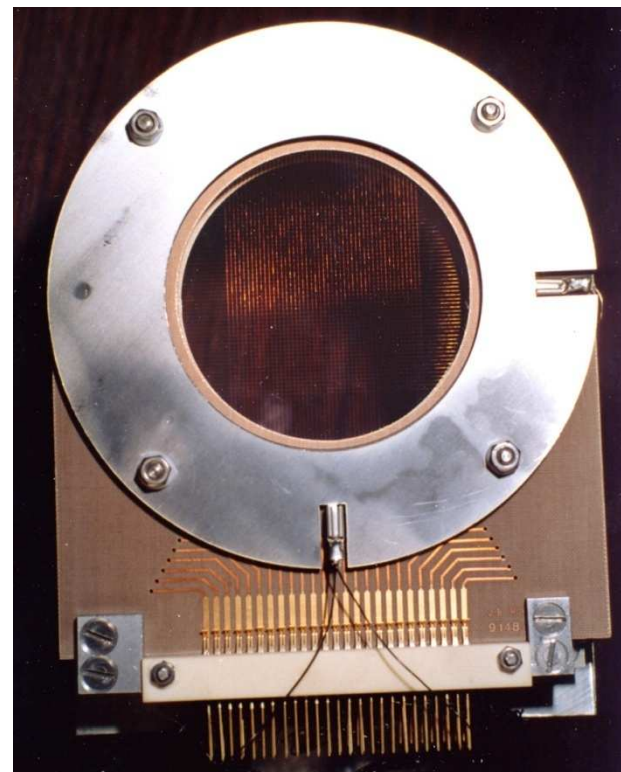
Utilisation : mesure du profil transverse et de la position du centre de gravité du faisceau d'ions

Principe :

détection du courant électrique créé par les électrons secondaires émis par l'impact du faisceau sur des fils organisés en plans verticaux et horizontaux
(voir fiche suivante)

Performances :

- précision en position : 0,5mm
- résolution : entre 0,5 et 1,5 mm selon distance entre fils
- intensité maximale du faisceau (rupture des fils):
 - < 1 MeV/u : 1 μ Ap
 - autour de 10MeV/u : 10 nAp
 - vers 100 MeV/u : 100 nAp
- intensité minimale : 1 nAp



Profils transverses

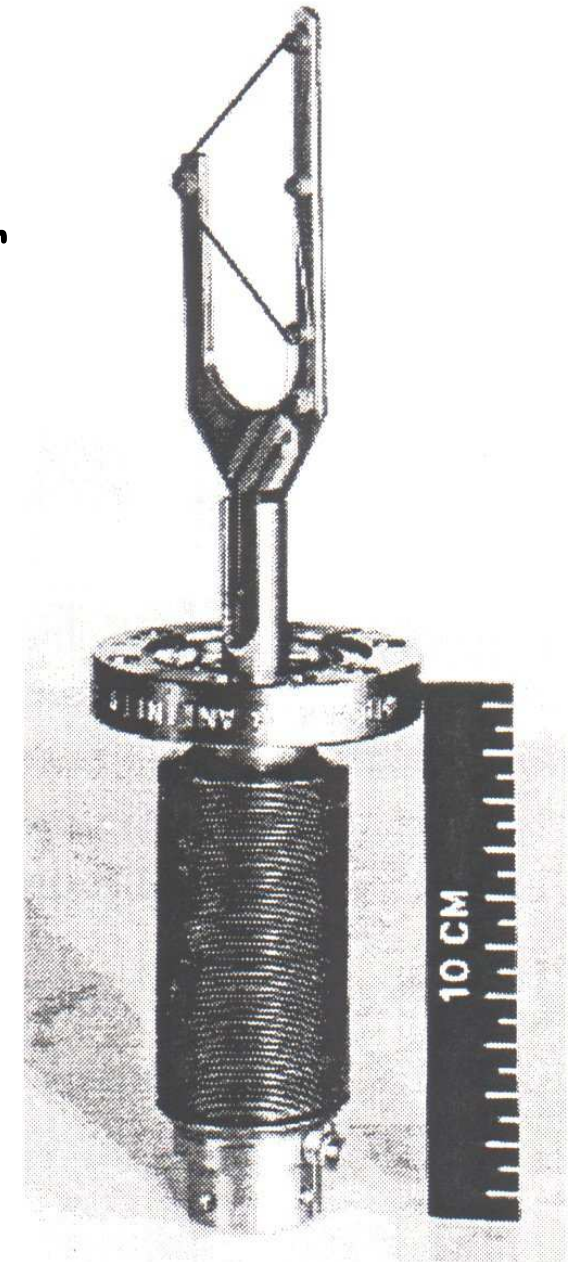
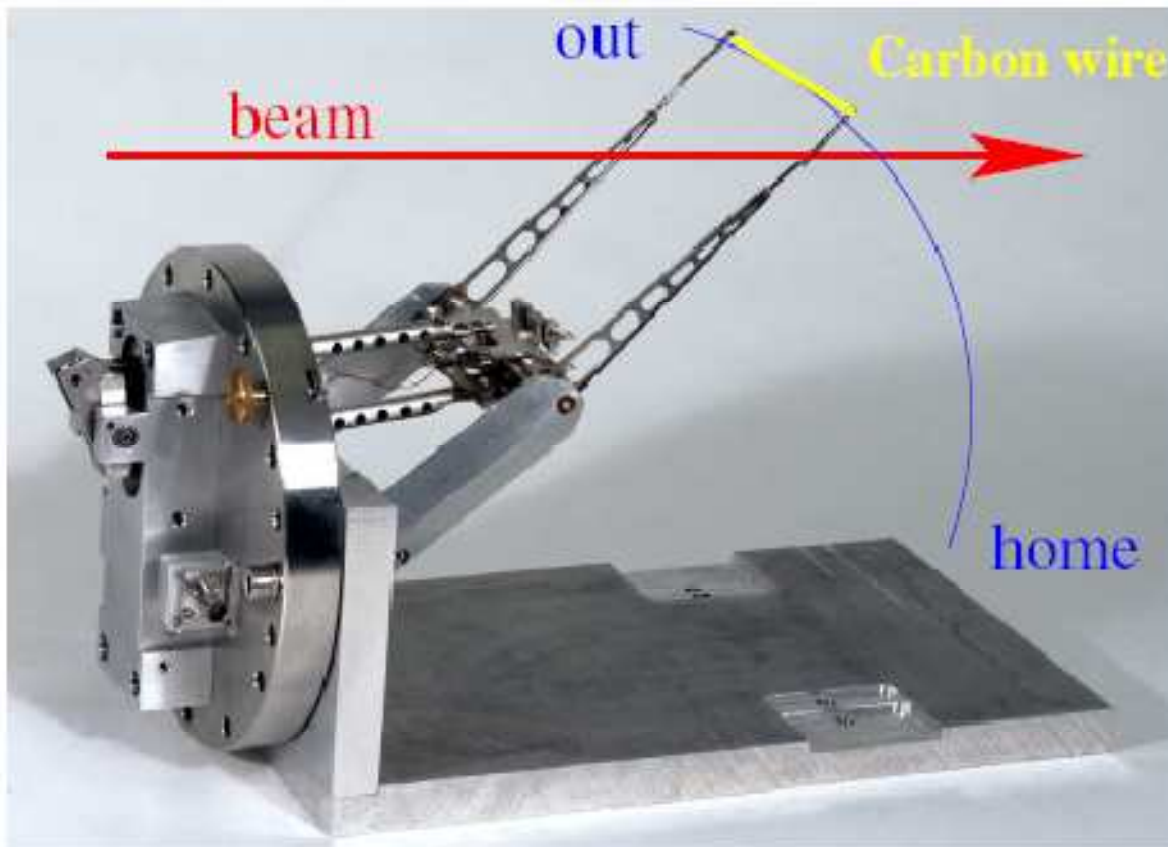
Détecteurs "peu" destructifs

Wire scanner

Mouvement pendulaire: les plus rapides
Wire Scanner du PS du CERN.

-Moteur DC 400W

- Vitesse 10 ; 15; 20 m/s



Translation linéaire: 1 à 2m/s

Profils transverses

Sonde de profil à fil tournant

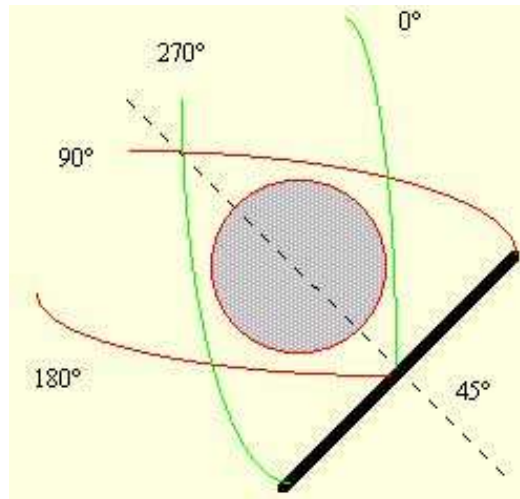
Utilisation : mesure du profil transverse du faisceau et de la position du centre de gravité

Principe :

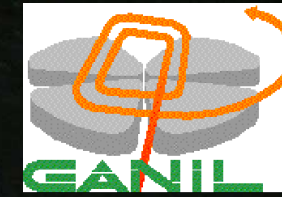
- par sa forme et son orientation, le fil balaie le plan vertical puis horizontal à chaque tour
- mesure du courant électrique recueilli sur le fil tournant (charges électriques du faisceau plus électrons secondaires)
- déduction du profil et de la position par calcul

Performances :

- supporte de fortes intensités de faisceau (>100 μ A continu)
- intensité minimale : > 100nAe
- précision/résolution en position : 0,5mm



Contact :
C.Doutressoules

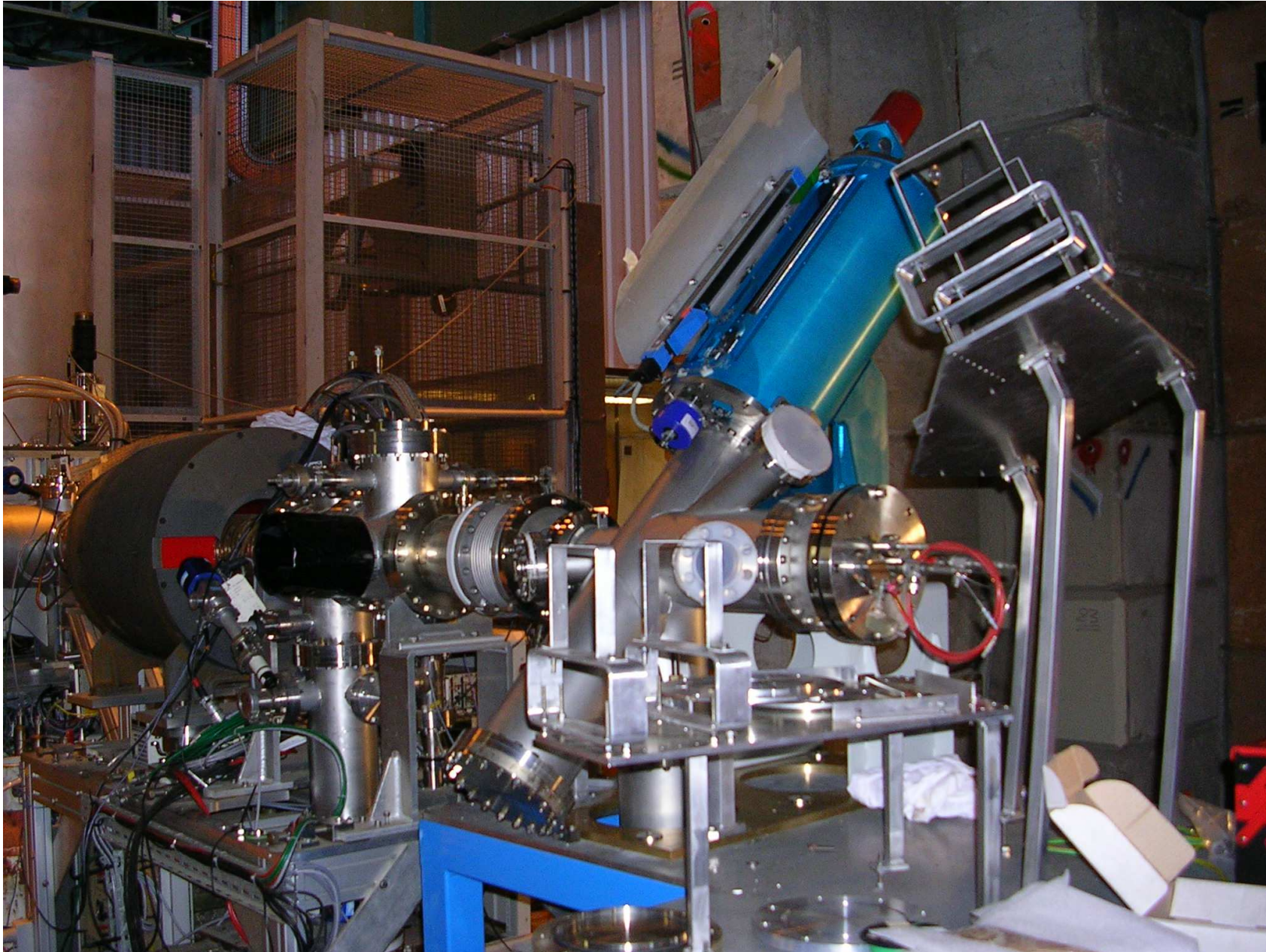


Copyright GANIL
CEA - CNRS



Profils transverses

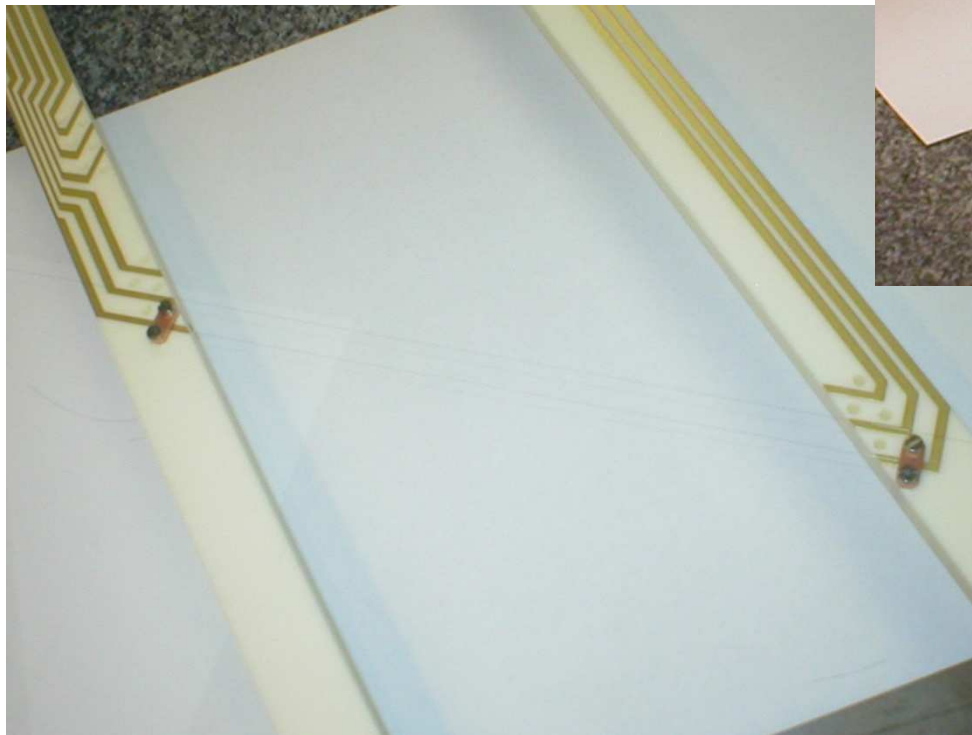
Wire scanner IPHI



Profils transverses

Wire scanner IPHI

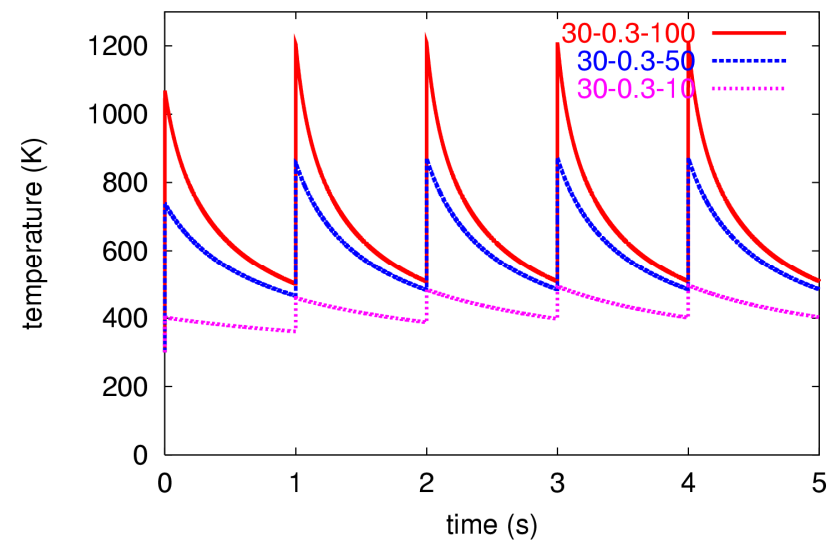
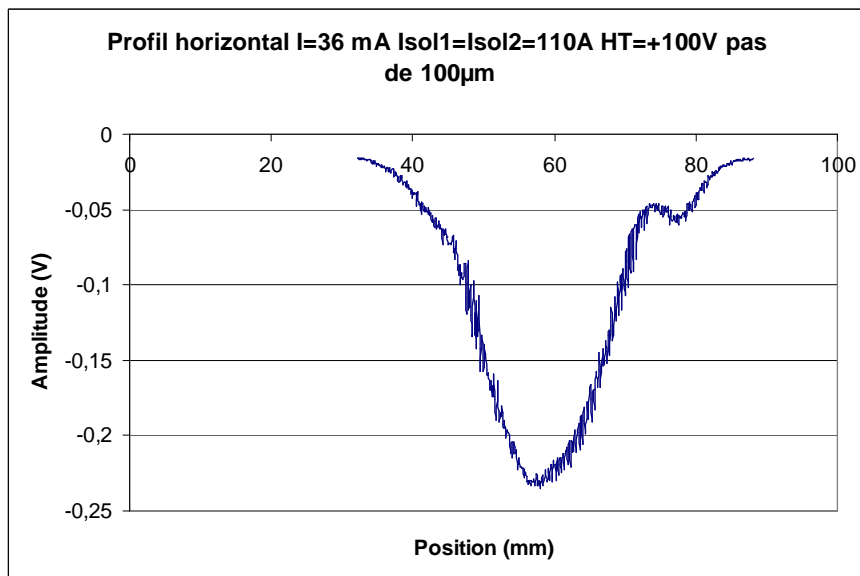
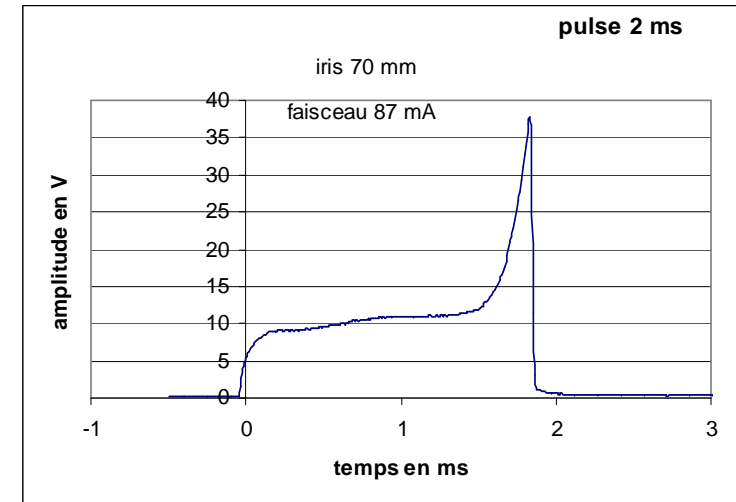
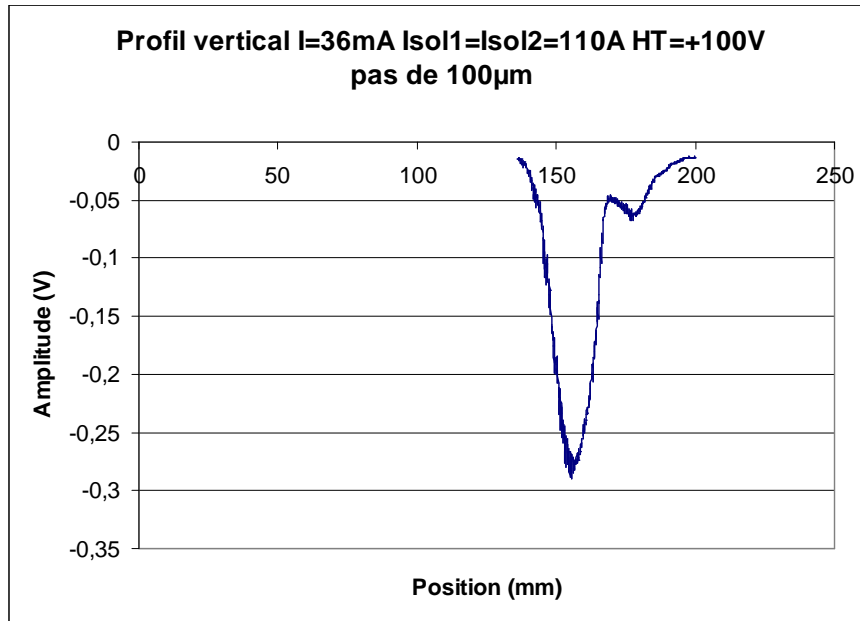
Montage fil carbone
Diamètre 33 microns



Profils transverses

Wire scanner IPHI

- Durée du Pulse: 1 ms - Repetition : 1 s
- Courant faisceau protons: 36 mA
- Pas: 100 μm



Profils transverses

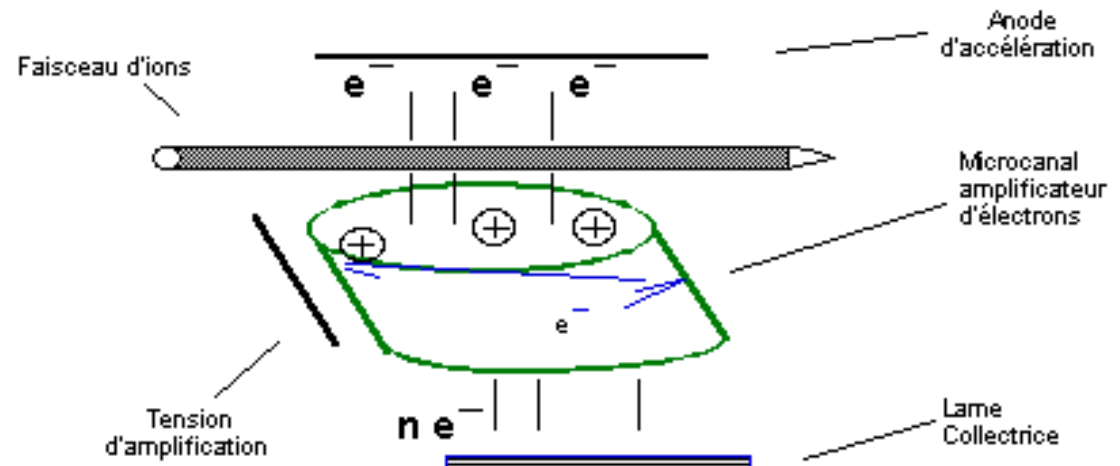
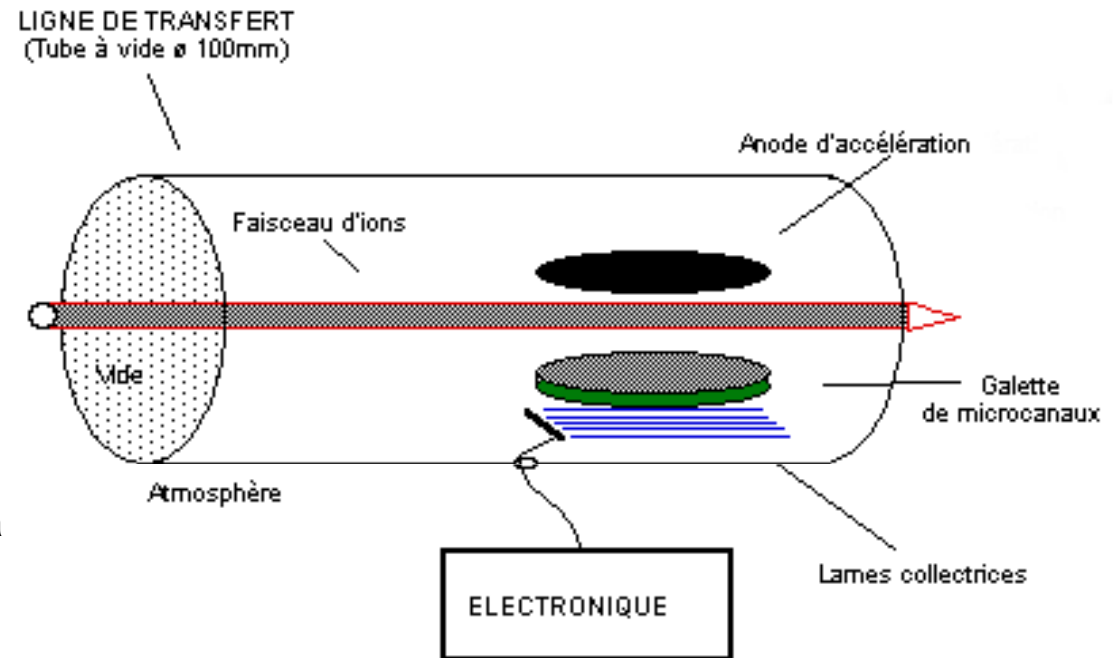
Détecteurs "semi"
-destructifs

SONDE DE PROFIL A GAZ

RESIDUEL

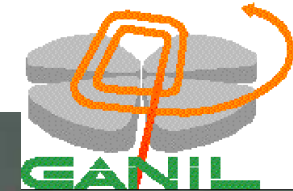
Principe :

détection du courant électrique créé par la ionisation du gaz résiduel dans la chambre à vide et amplifié par une galette de microcanaux



Profils transverses

Sonde de profil à Gaz résiduel



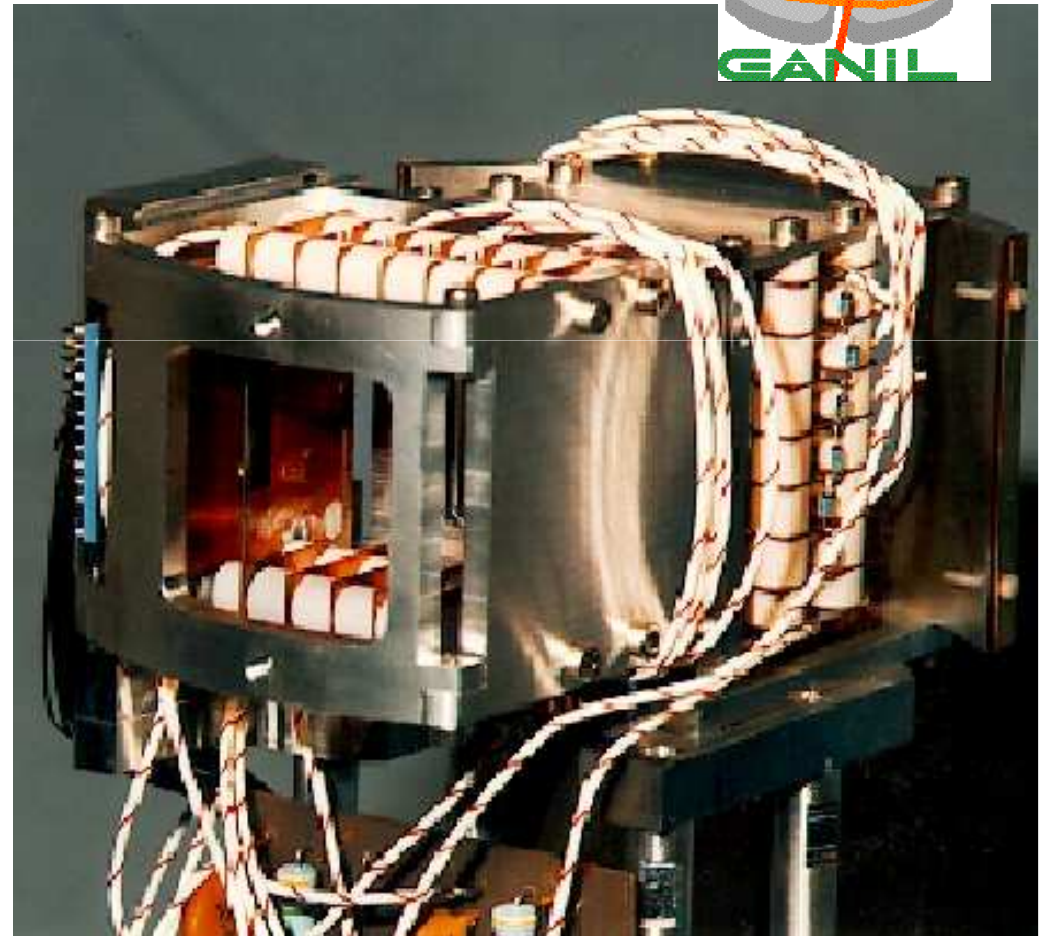
Utilisation : mesure du profil transverse et de la position du centre de gravité du faisceau d'ions

Principe :
détection du courant électrique créé par la ionisation du gaz résiduel dans la chambre à vide et amplifié par une galette de microcanaux
(voir fiche suivante)

Performances :

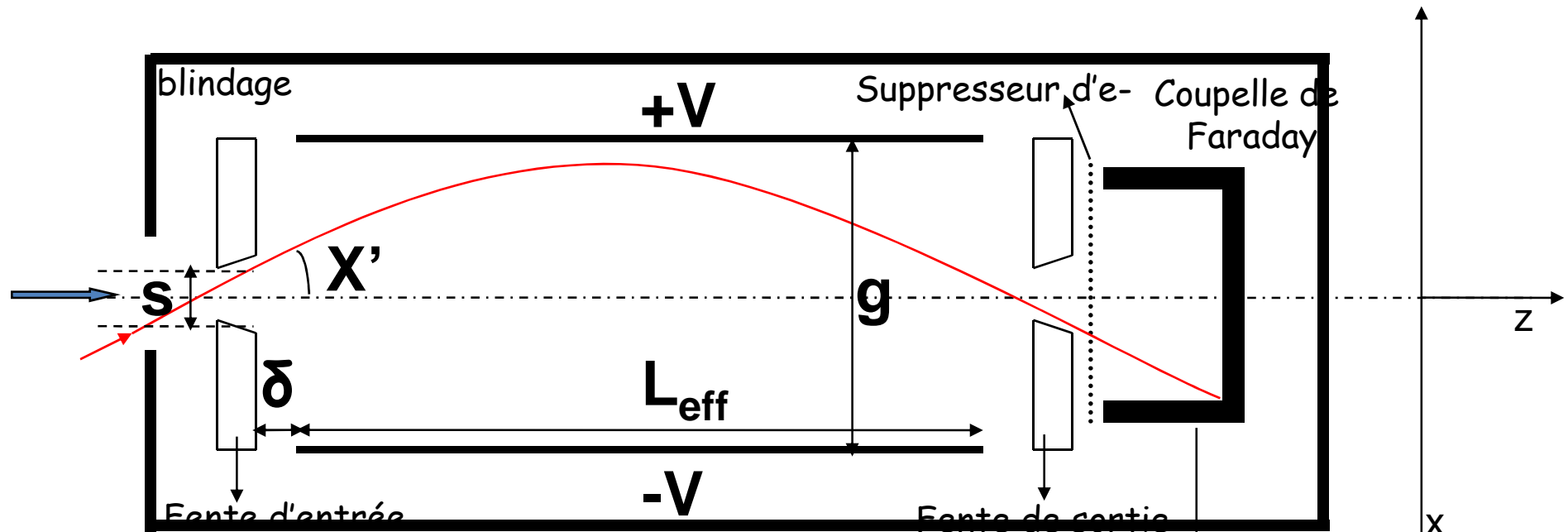
- précision en position : 0,5mm
- résolution : 1 mm
- intensité maximale du faisceau : > 100 μAp
- intensité minimale : 1 nAp

Contact : J.L.Vignet
(vignet@ganil.fr)



La Mesure de l'émittance transverse

EMITTANCEMETRE DE TYPE SCANNER

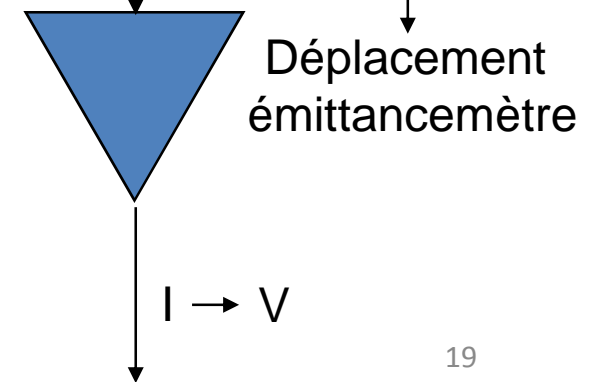


-Tension V nécessaire pour qu'un ion (charge q) d'énergie $q.U$ entrant avec un angle x' passe par la fente de sortie:

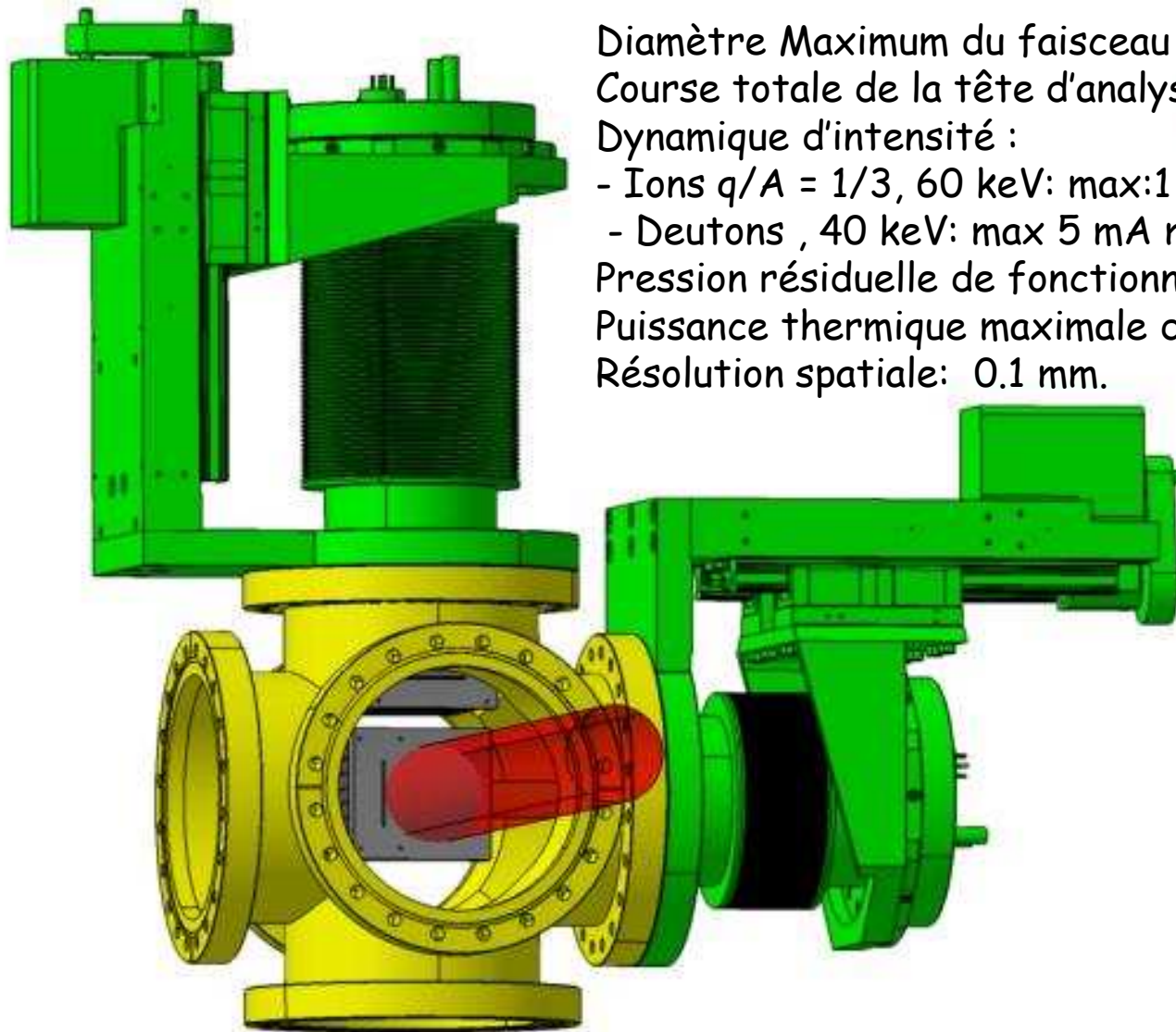
$$V = 2.U. x'.(g / L_{\text{eff}})$$

-Tension V_m nécessaire pour l'angle maximum x'_m analysable:

$$V_m = (8.g^2.U) / (D^2 - 4.\delta^2) \text{ pour } X'_m = (2.g) / (D + 2.\delta)$$



EMITTANCEMETRE DE TYPE SCANNER



Diamètre Maximum du faisceau : 80 mm

Course totale de la tête d'analyse : 120 mm

Dynamique d'intensité :

- Ions $q/A = 1/3$, 60 keV: max:1 mA min: 1 μA

- Deutons , 40 keV: max 5 mA min.: 100 μA

Pression résiduelle de fonctionnement : 1×10^{-8} mbar.

Puissance thermique maximale dissipable (C.W.) : 300 Watts

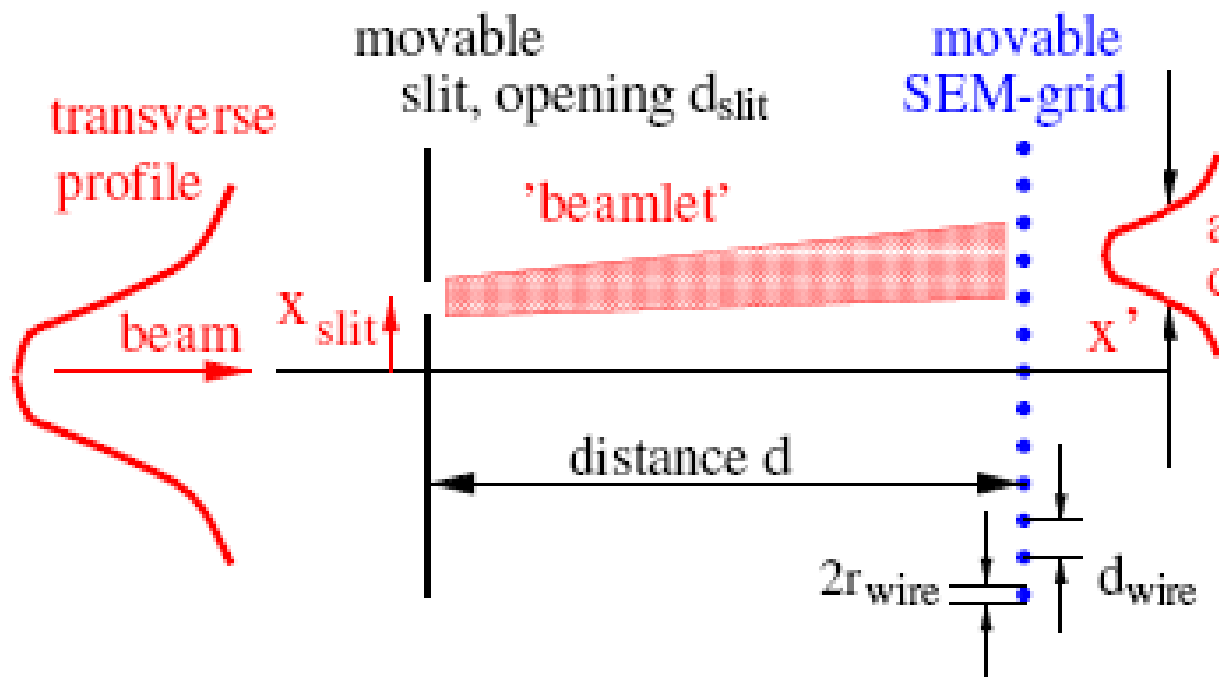
Résolution spatiale: 0.1 mm.

Emittancemetre développé pour SPIRAL2 (réalisation I.P.H.C.)

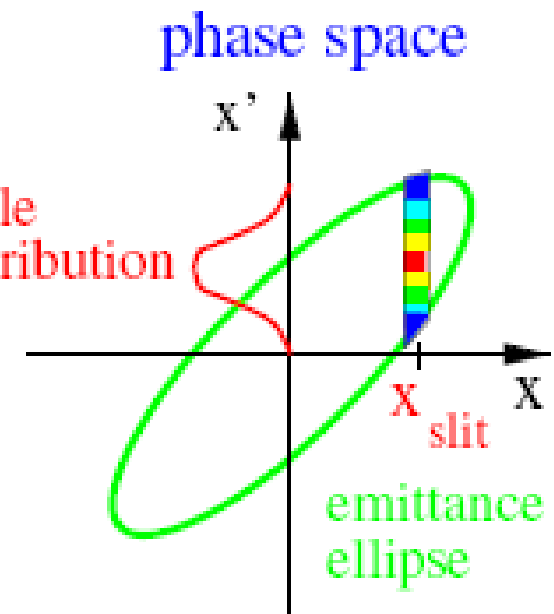
La Mesure de l'émittance transverse

EMITTANCEMETRE DE TYPE "fente - profileur"

Hardware



Analysis

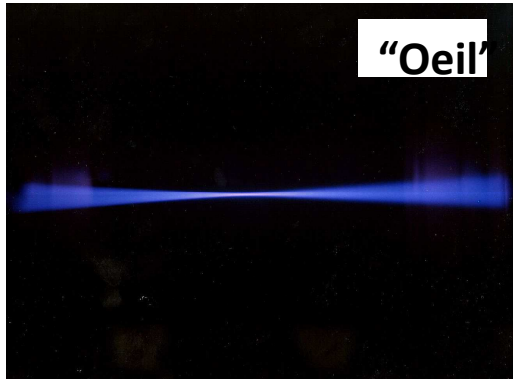


Profils transverses

par fluorescence



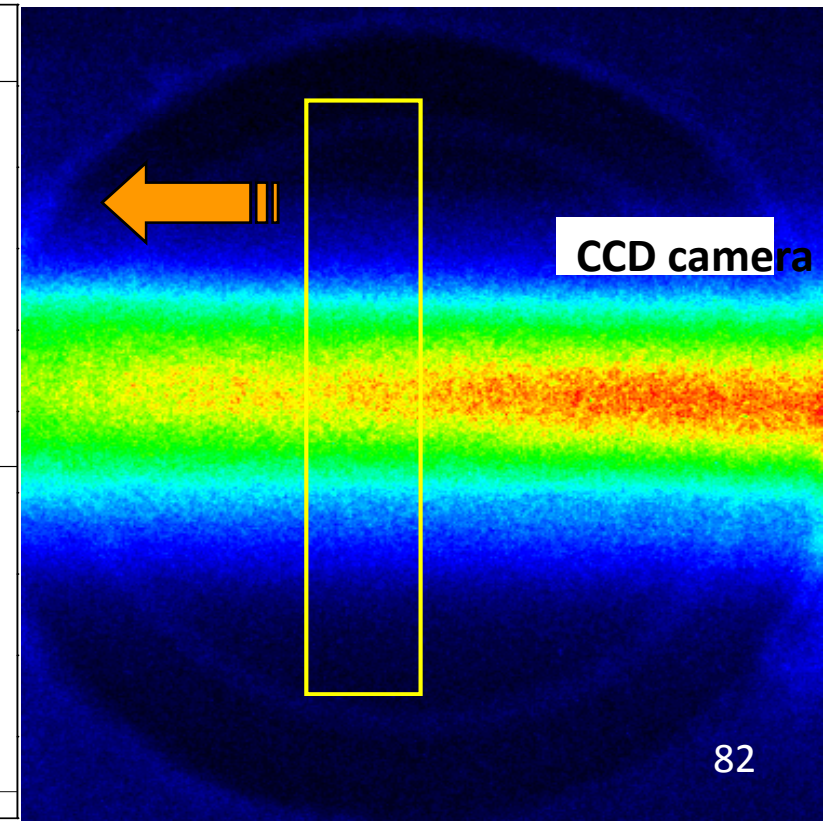
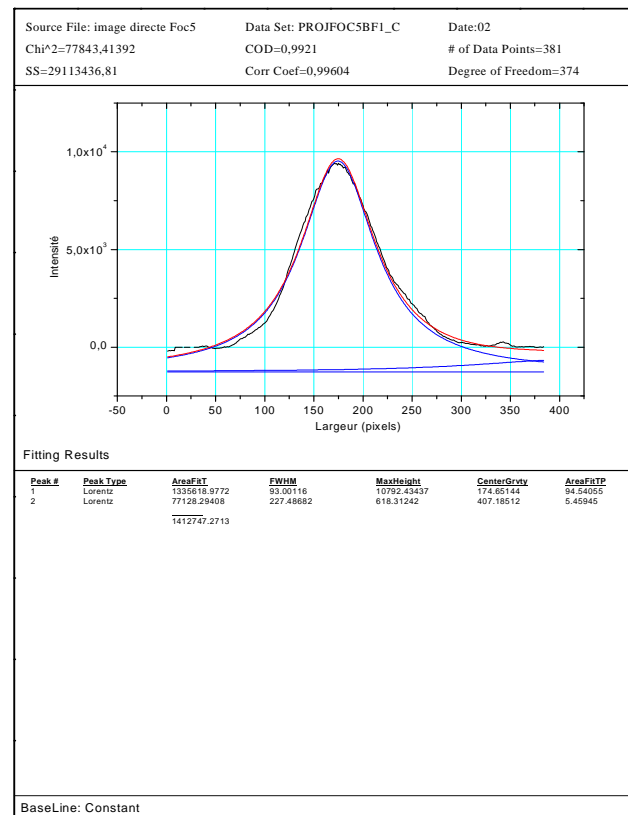
Profils transverses



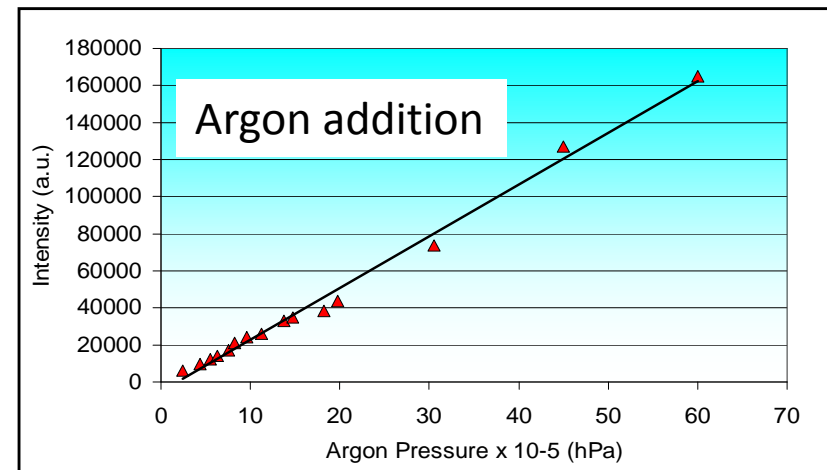
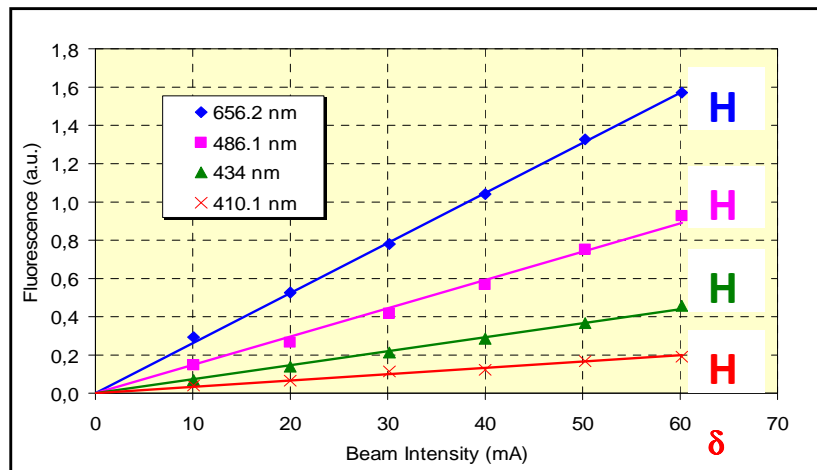
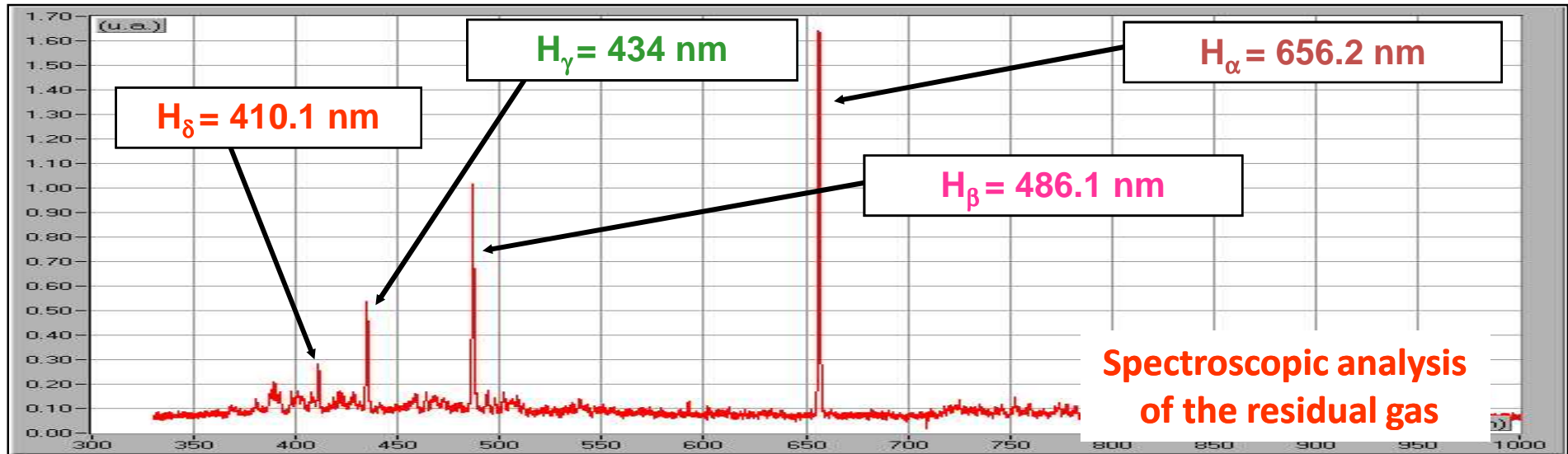
par fluorescence

Interaction: faisceau proton / gaz résiduel
(Hydrogène: $2 \cdot 10^{-3}$ Pa)

82 KeV 2×10^{-5} faisceau global

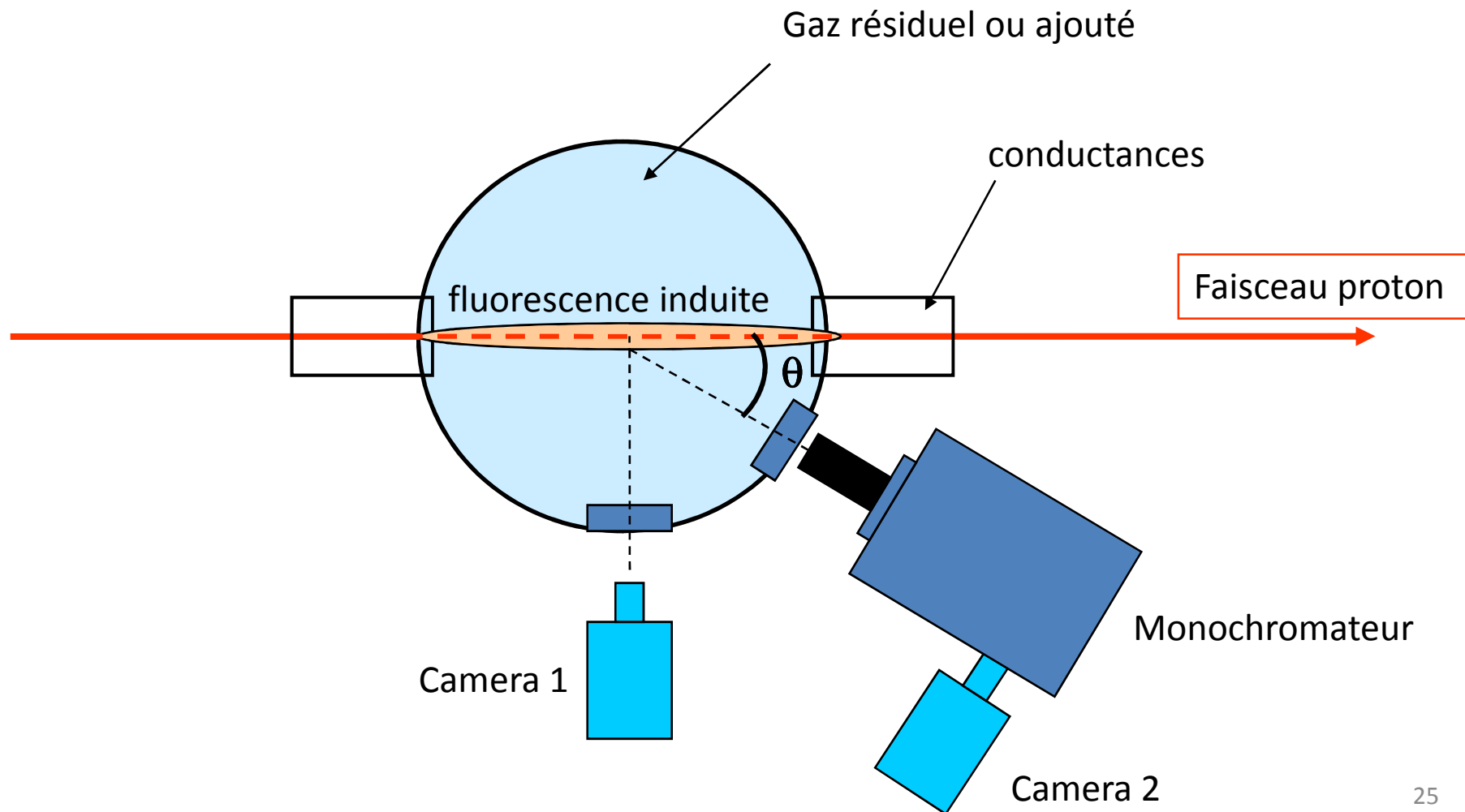


Analyse spectroscopique de la lumière émise par un faisceau de protons de 3 MeV



Emission de lumière par l'Hydrogène excité par un faisceau de protons de 3 MeV

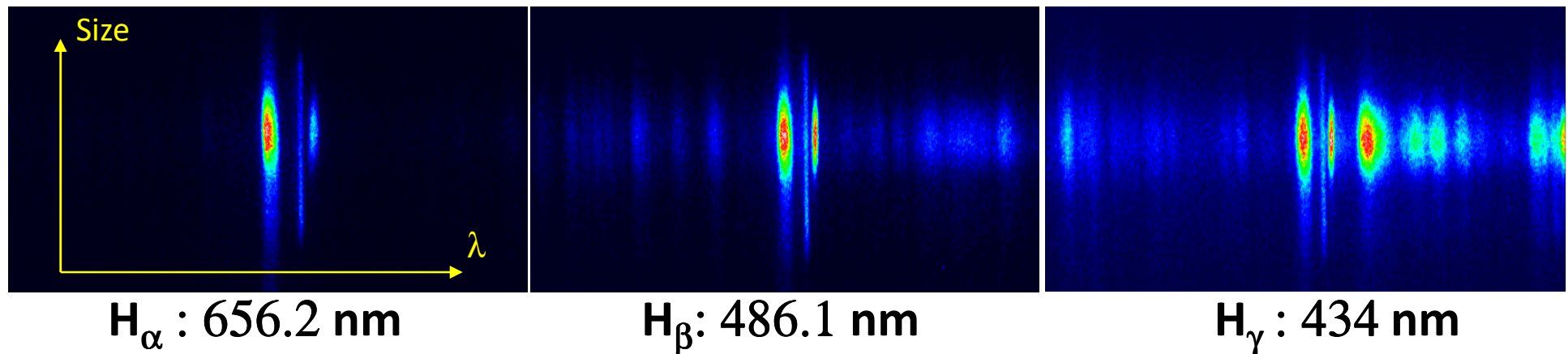
Mesures optiques : Décalage Doppler des raies de Balmer

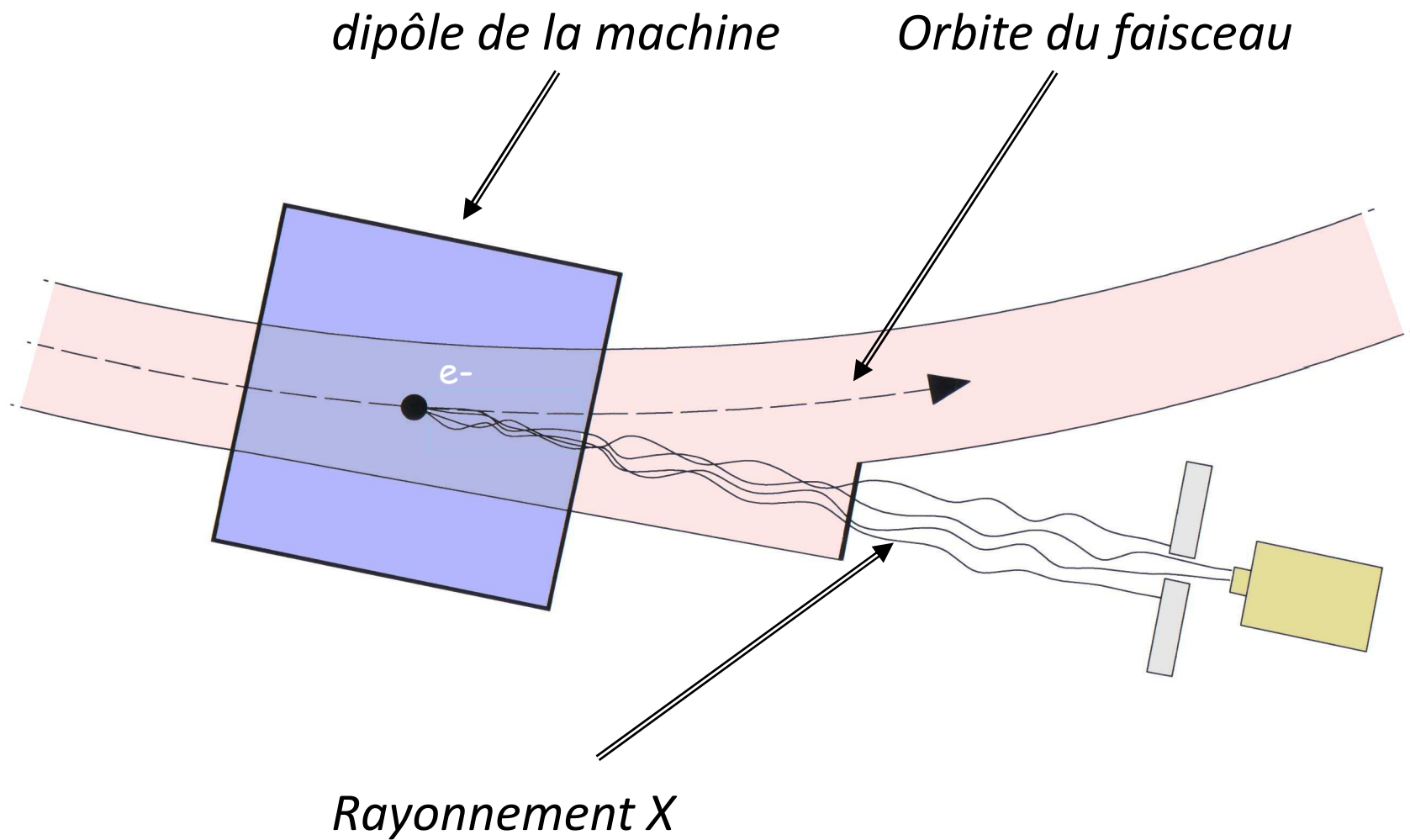


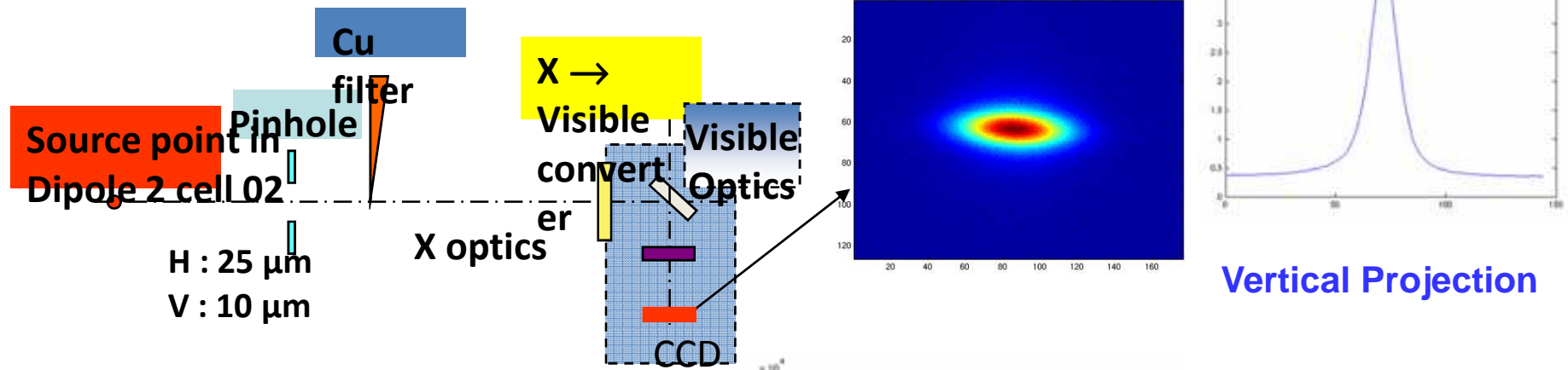
Emission de lumière par l'Hydrogène excité par un faisceau de protons de 3 MeV

Mesures optiques : Décalage Doppler des raies de Balmer

$$\Delta\lambda \approx \lambda_0 \cdot \frac{v}{c} \cdot \cos\theta$$







Resolution 5 μm rms :

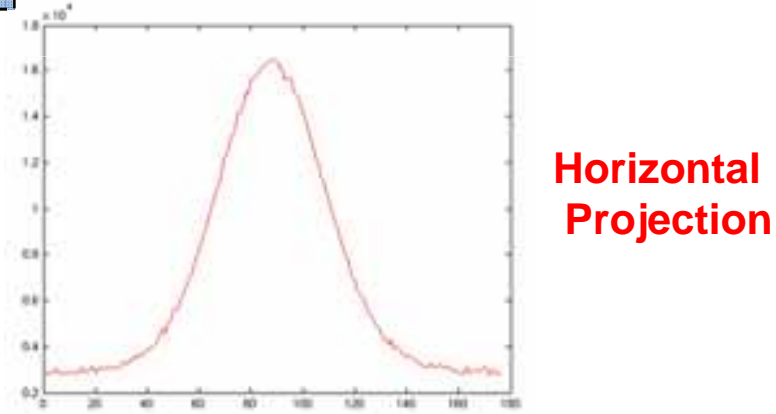
- trou de 10 μm
- 0.3 mm (Copper filter)
- includes 3.7 μm CCD resolution

9 μm rms V. beam size including 5 μm instrument resolution

$$\epsilon_z < 5 \text{ pm.rad } (\kappa < 0.13 \%)$$

@200 mA with Fast Transverse Feedback turned on

Emittance: Pinhole Camera



Profils transverses

1919: Observation expérimentale du rayonnement de transition (Lumière émise par impact des e^- sur l'anode d'un tube à vide)

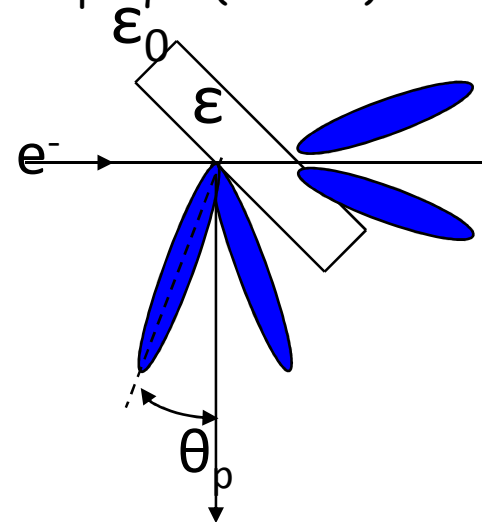
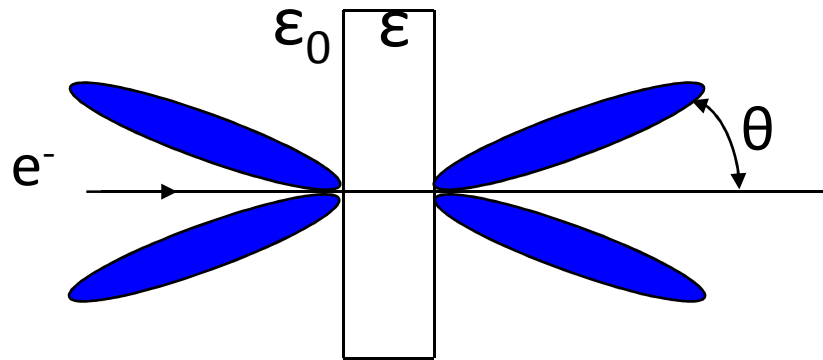
1945: Développement théorique par I. FRANCK et V. GINSBURG

1975: L. WARTSKY utilise le rayonnement de transition pour mesurer l'énergie d'un faisceau d'un LINAC à e^- , les profils transverses et invente l'interférométrie OTR à 2 feuilles.

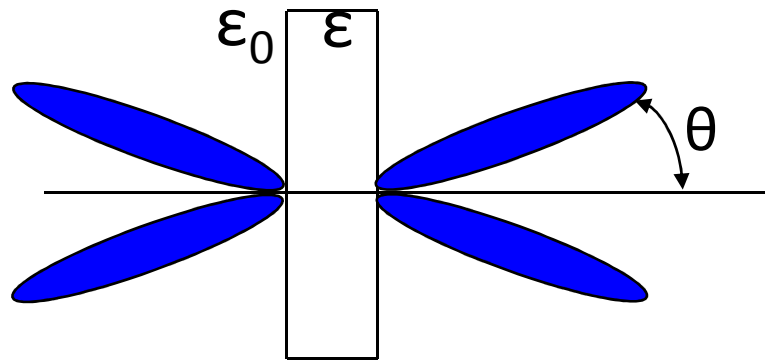
1983 ...: R.B. FIORITO et D.W. RULE développent les méthodes de diagnostic OTR pour les accélérateurs.

Phénomène physique

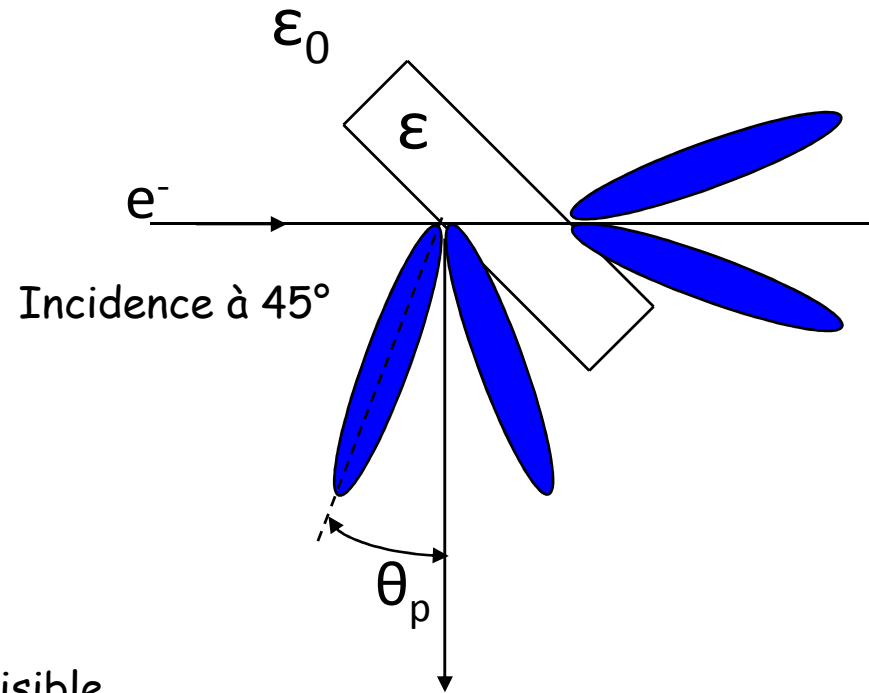
- Le rayonnement de transition (TR) est émis à l'interface séparant 2 milieux de constantes diélectriques différentes traversés par une particule chargée; La partie visible de ce rayonnement est appelé Rayonnement de Transition Optique (O.T.R.)



Profils transverses



Incidence normale



Incidence à 45°

Rayonnement de transition:

- Phénomène de surface.
- Efficacité: 1 photon pour 1000 e^- dans le visible
- Ouverture du cône de lumière: $1/\gamma$

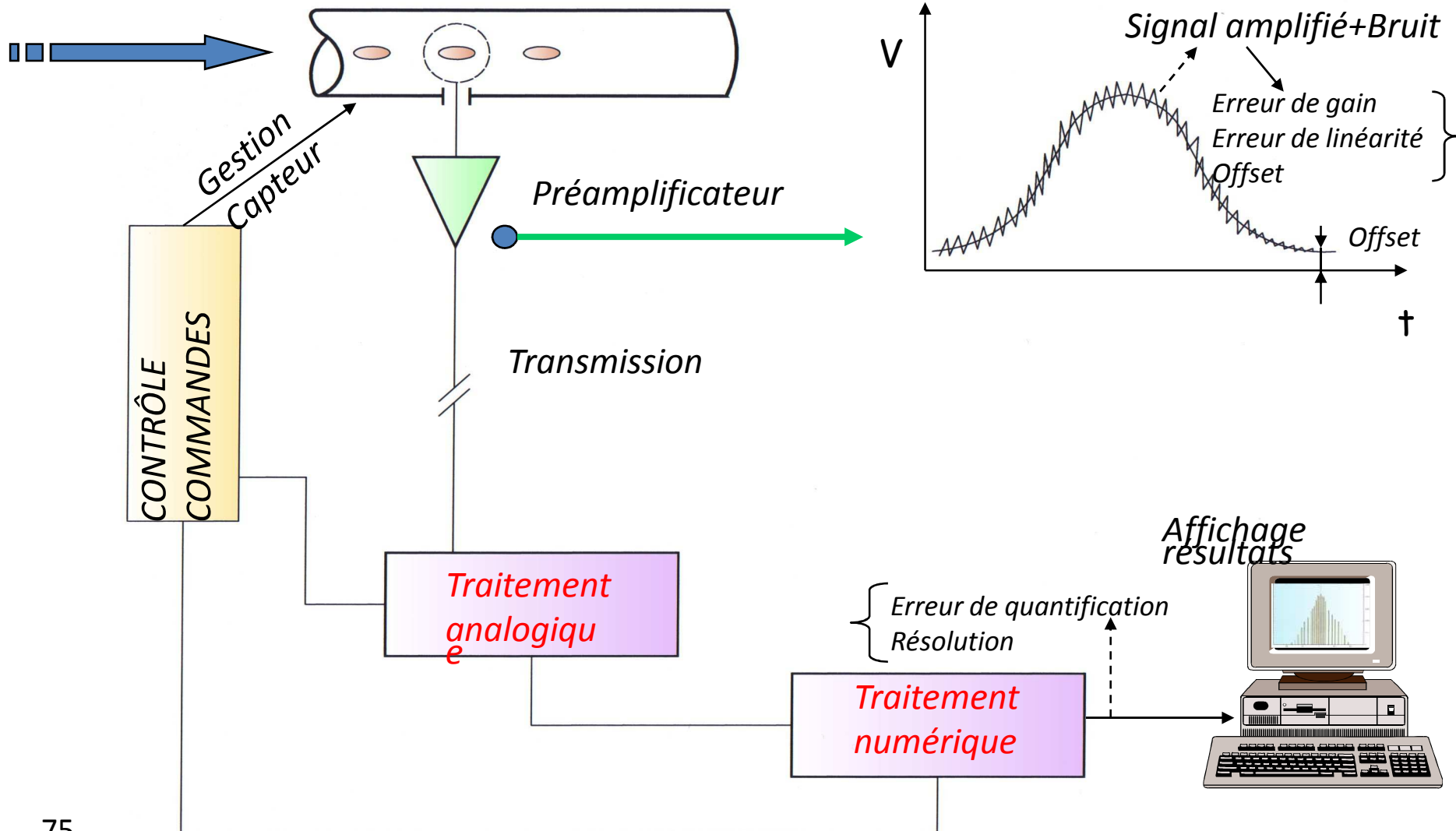
-Amélioration: Utilisation de 2 feuilles (interférométrie).

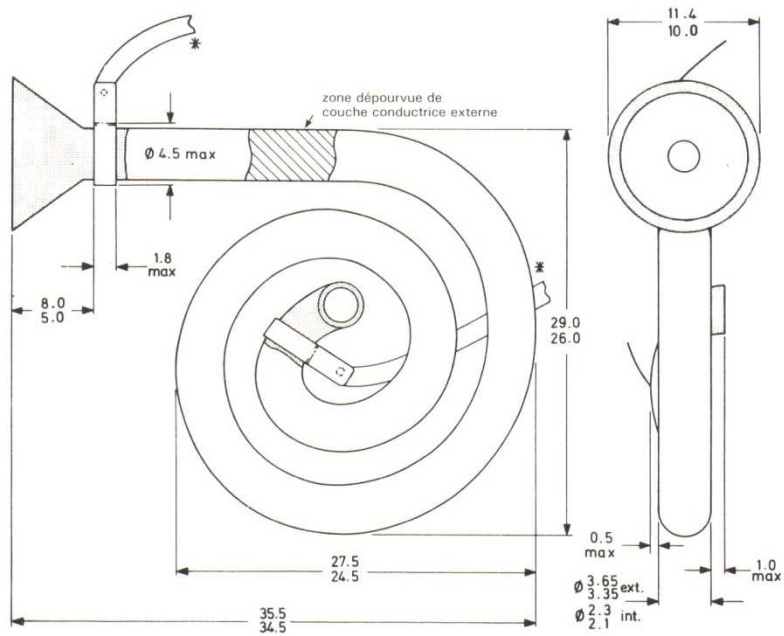
-Application: Mesure des profils transverses, émittance , énergie. Accélérateurs à e^- .

Instrumentation Electronique associée

Notions de base

Chaine de traitement





X719AL

Multiplicateur d'électrons tubulaire

Principe physique de base: Emission secondaire

Galette de microcanaux canaux

- Epaisseur: 1 mm
- Gain $\sim 10^3$. Résolution $30 \mu\text{m}$
- Montage en chevron: $10^6 - 100 \mu\text{m}$
- HT $\sim 1 \text{ kV}$

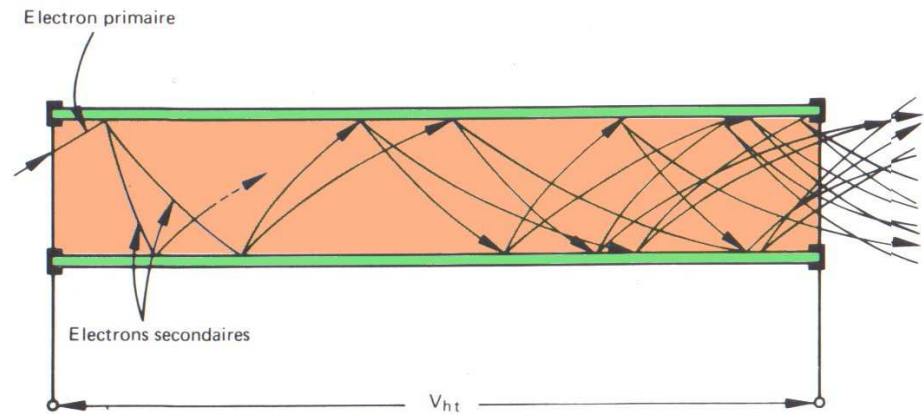
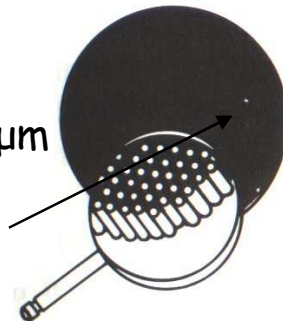
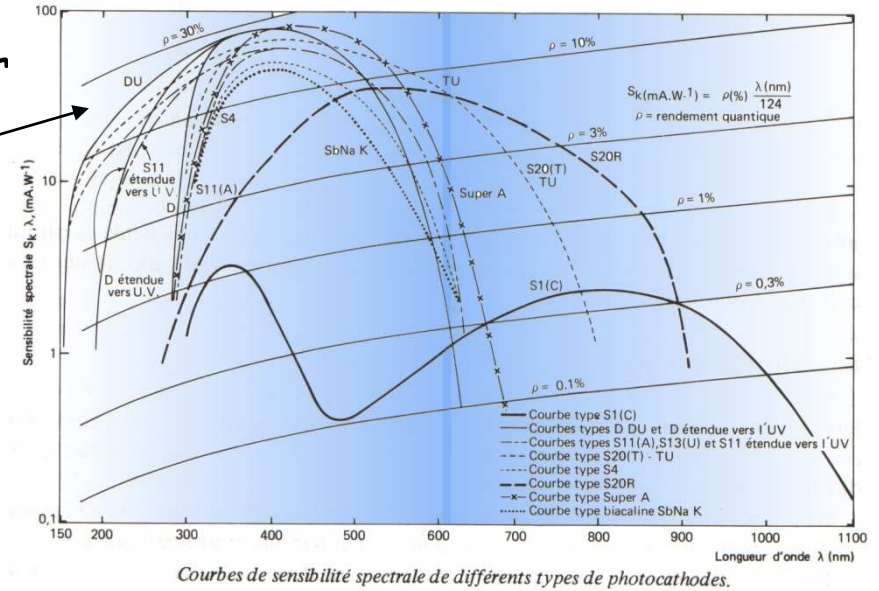
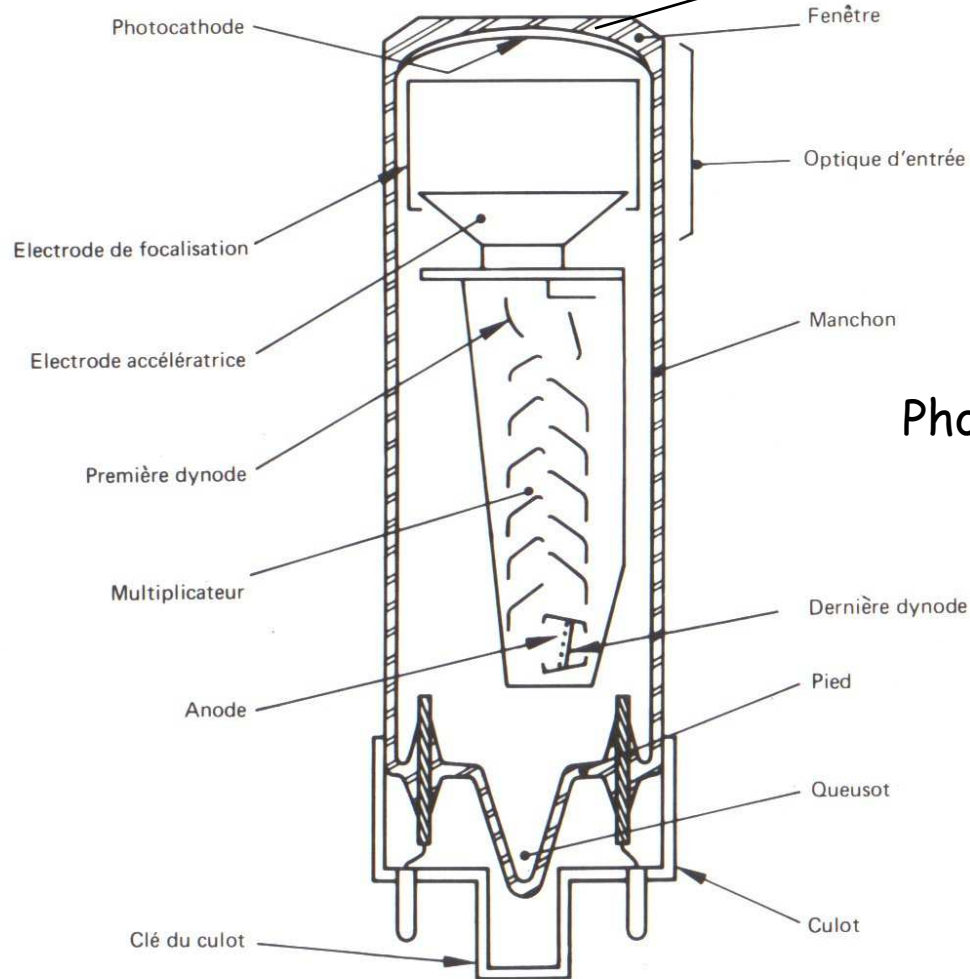


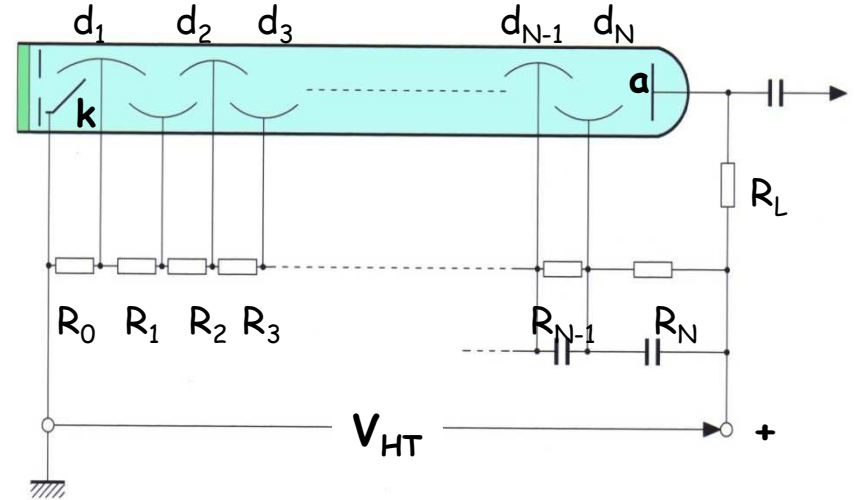


Photo-Multiplicateur

Schéma de principe d'un photo-multiplicateur

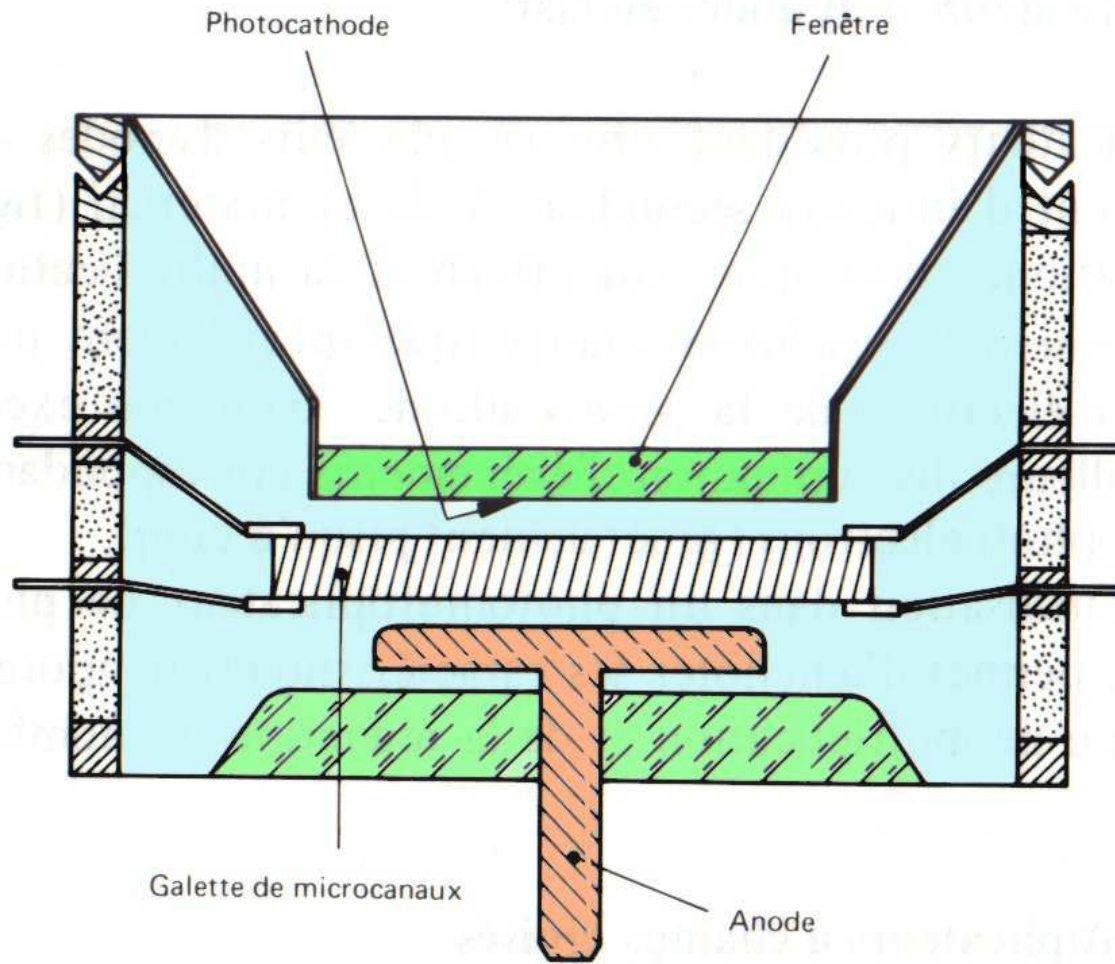


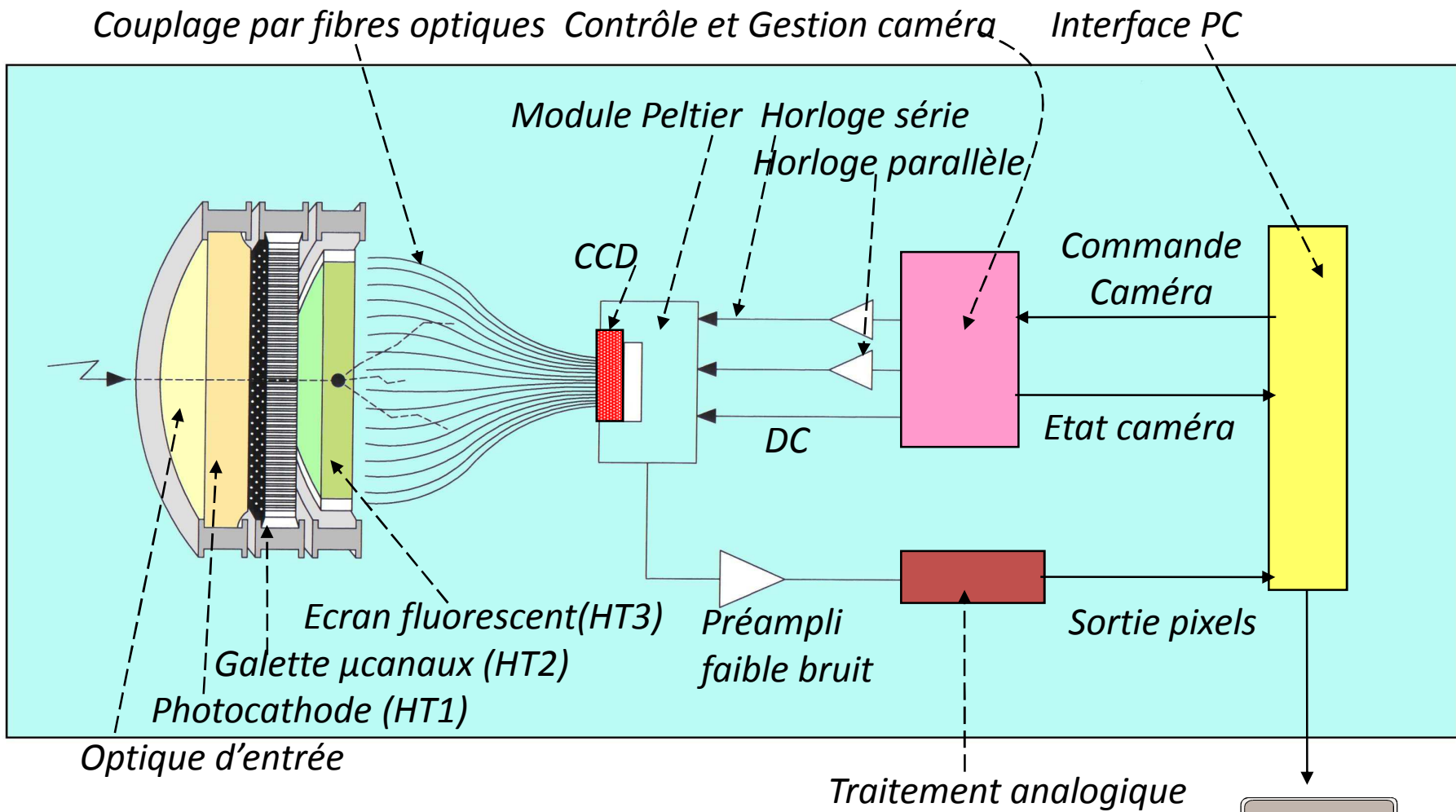
Photocathode: Conversion photon-électron



Amplification électronique: Alimentation H.T. des dynodes

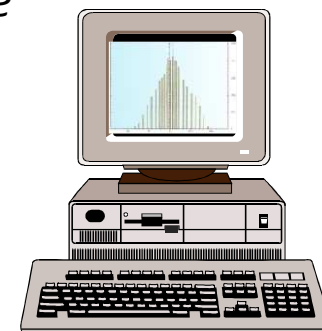
Schéma de principe d'un photo-multiplicateur à galette de μ canaux



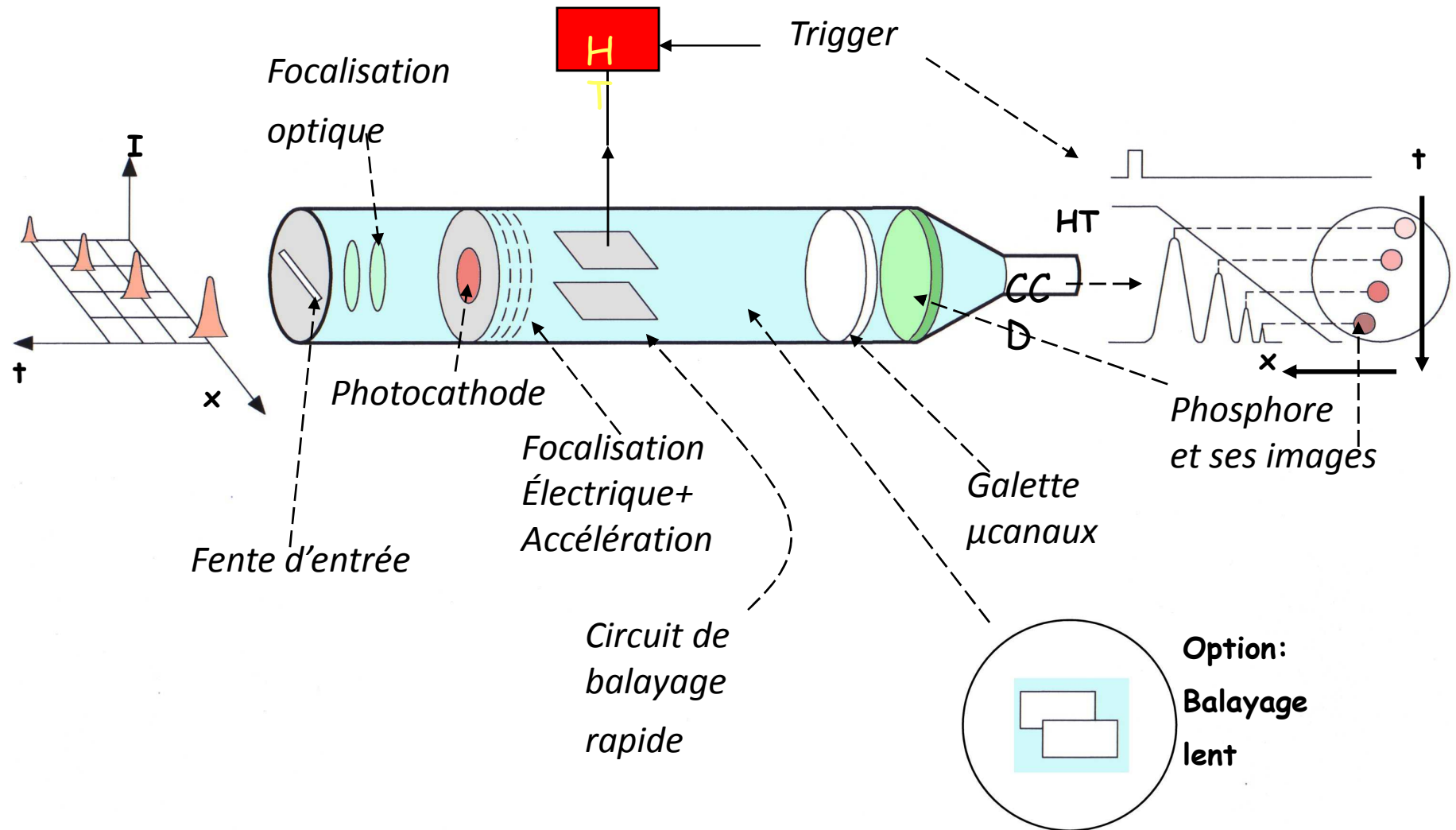


Détecteur à Caméra

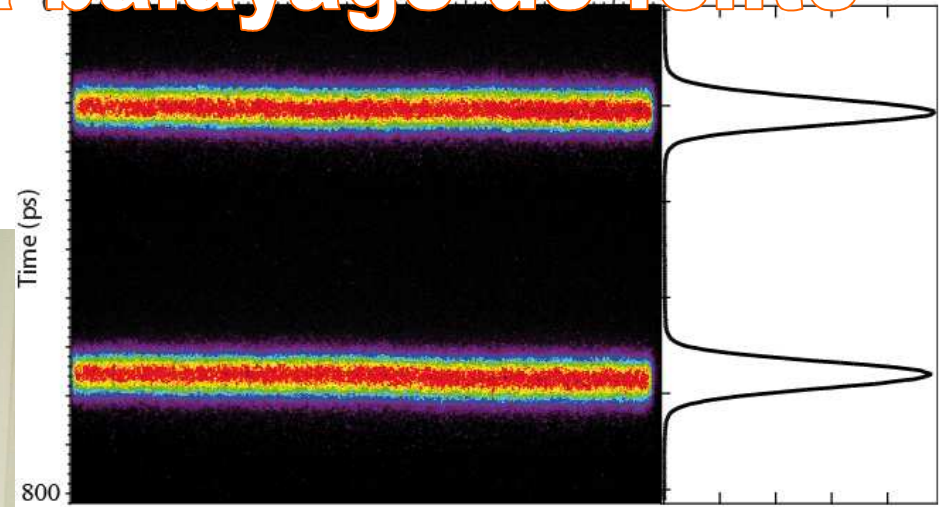
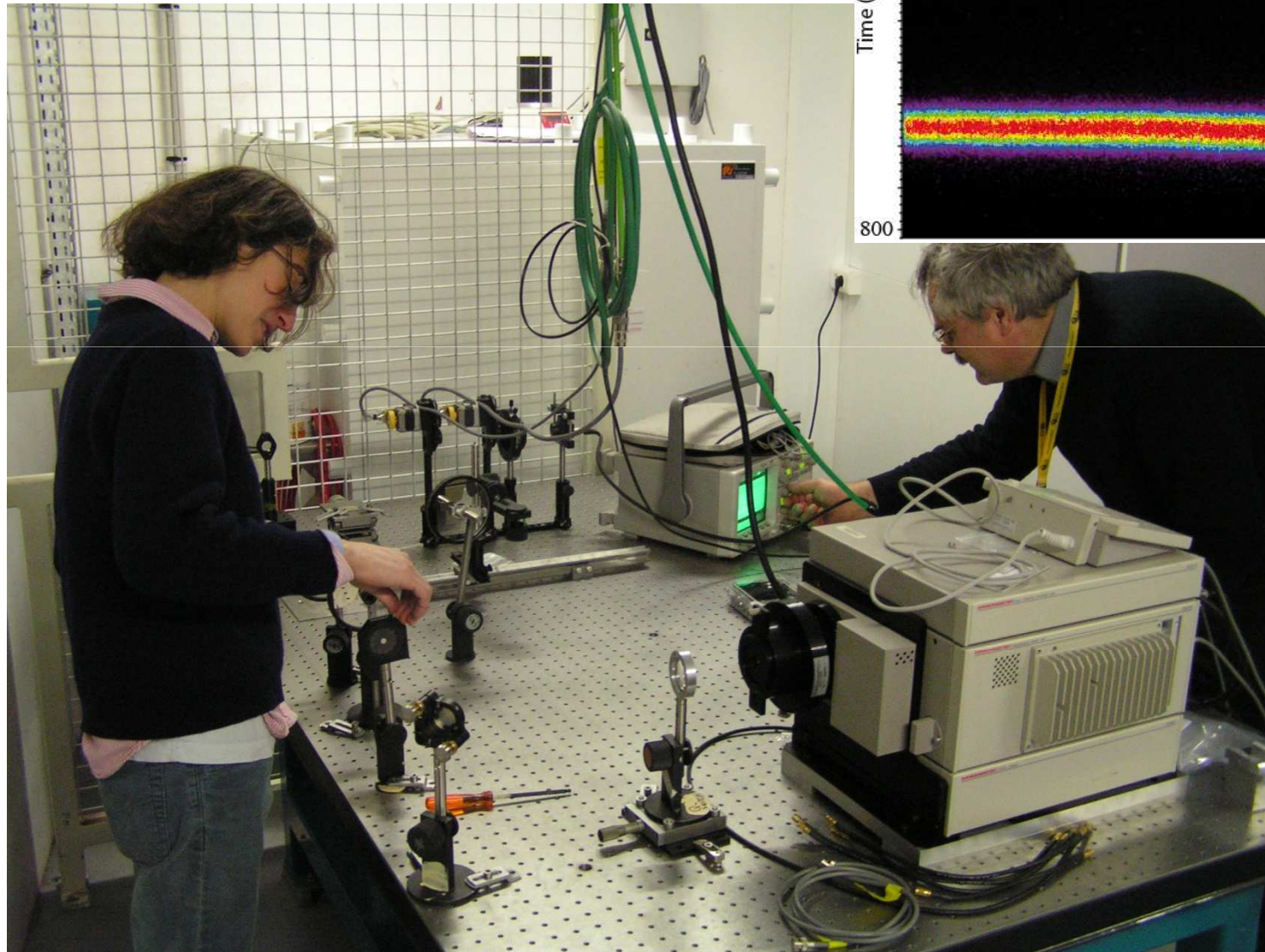
Principe d'une Caméra CCD Intensifiée



Détecteur "Caméra à balayage de fente"



Détecteur "Caméra à balayage de fente"



Moniteurs de pertes de faisceau

ROLE DES DETECTEURS DE PERTES DE FAISCEAU

- Couplage au dispositif de sécurité de l'accélérateur (déclenchement des alarmes)
- Aide à la protection contre l'activation à long terme des structures de l'accélérateur
- Par conséquent: Aide au réglage de l'accélérateur; optimisation faisceau

EFFETS DES RADIATIONS IONISANTES

- Systèmes mécaniques: échauffement excessif, détérioration des propriétés physiques
- Systèmes cryogéniques: apport excessif de calories => Quench
- Systèmes optiques: détérioration de la transmission de la lumière (fibres optiques, verres..)
- Systèmes électroniques: dysfonctionnement; détérioration définitive
- Systèmes de mesure: augmentation notoire du bruit de fond de la mesure
- Sur le personnel: exposition lors des périodes de réparation ou de maintenance (neutrons)

SOURCE DE RADIATIONS IONISANTES

- Erreurs de focalisation ou d'alignement du faisceau. Création de «Halo» autour du faisceau
- Production de rayons X par les dispositifs d'accélération
- Diagnostics interceptifs, objets «étrangers» sur le trajet du faisceau, strippers de faisceau
- Radiation synchrotron
- Scattering sur le gaz résiduel

Moniteurs de pertes de faisceau

Exemples de détecteurs

PRINCIPE DE LA DETECTION

Mesure sur un intervalle de temps déterminé. Localisation du nombre de particules perdues

TYPES DE PERTE DE FAISCEAU

- Pertes rapides de faisceau: Détection du niveau de perte nécessaire. En général localisation des pertes non nécessaires (cause: alimentation, pompe à vide , kicker..)
- Pertes lentes de faisceau:
Détecteur placé à l'extérieur du tube à vide: Utilisation des principes physiques déjà vus
Autre méthode: Mesure différentielle entre les diagnostics de faisceau de l'accélérateur.

Moniteurs de pertes de faisceau

Exemples de détecteurs

PLICs: PANOFSKY LONG IONISATION CHAMBERS

SLAC 1966:

- Câble coaxial RG-319 /U rempli avec Ar/CO₂, longueur: 3.5 km, monté à 2 m du tube à vide
- Mesure de position: Mesure de l'intervalle de temps entre le pulse direct à une extrémité et le pulse réfléchi à l'autre. Résolution initiale: 30 ns (~ 8m)
- Très nombreuses améliorations pour améliorer la résolution: SLC, AGS, CERN..

SHORT IONISATION CHAMBERS

-CHAMBRE A Ionisation (remplissage: air) réparties le long de la structure accélératrice:
CERN PS, TEVATRON..

COMPTEUR A SCINTILLATION

- Scintillateur plastique couplé à un P.M. (Utilisation temporaire)
- LAMPF: « Paint can » Beam Loss Monitor: Plastique remplacé par un liquide (huile) dans un réservoir de 500 cm³ . (Temps de montée : 10ns, dynamique: 10⁵). Sensibilité meilleure que les chambres à ionisation mais technologie liée à l'utilisation des P.M.: alimentations stabilisées , intercalibration des moniteurs nécessaire.

Moniteurs de pertes de faisceau

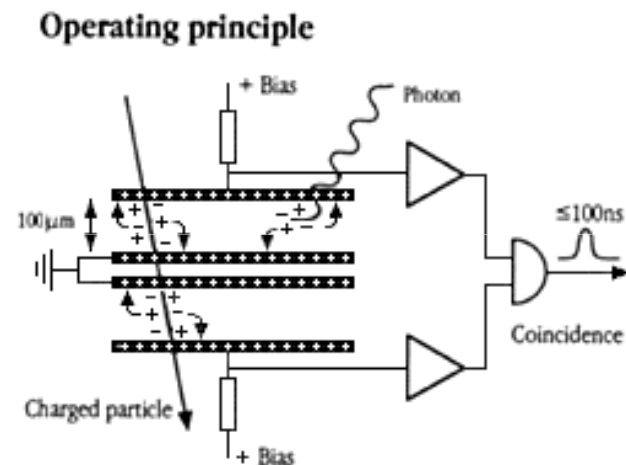
Exemples de détecteurs

SOLID STATE ION CHAMBERS (PIN Diodes)

- Chambre à ionisation à l'état solide : diode PIN polarisée en inverse
 - Surface sensible: 100 mm^2 , zone déplétion: 100 à 300 μm (Siemens, HAMAMATSU)
 - Amélioration : 2 diodes montées en coïncidence
- Exemple:

- Détection des pertes de protons sur HERA
- La coïncidence permet de diminuer la contribution due aux photons résultant des pertes d'e- circulant dans l'anneau voisin.

Taux de comptage max: 10.4 MHz
(Bergoz)



CRYOGENIC MICROCALORIMETERS

- LEP/ CERN 1992: Un thermomètre (résistance carbone) mesure l'élévation de température d'un « mini- cryostat » contenant de l'hélium liquide chauffé par les pertes de faisceau (pas de création de charges électriques par les particules perdue

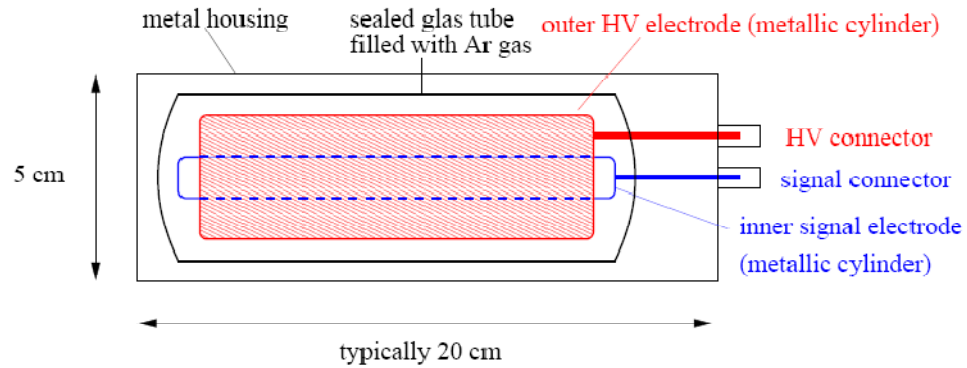
Et beaucoup d'autres détecteurs de perte faisceau...

Moniteurs de pertes de faisceau

Exemples de détecteurs

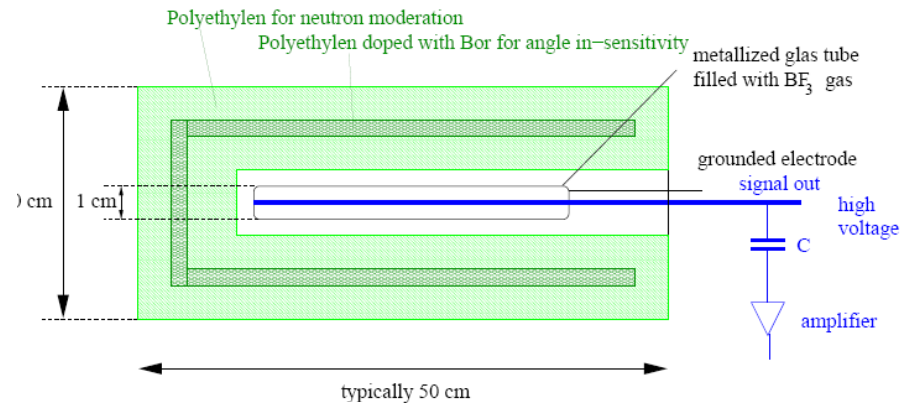
Ionization chamber

Measurement of charged particles *only*.

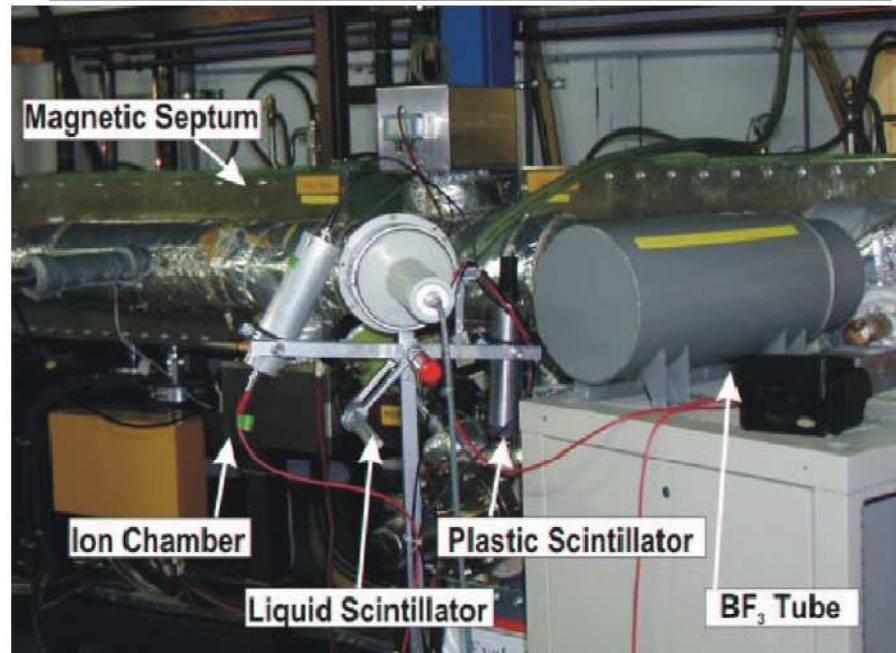


BF₃ proportional tube

Measurement of neutrons *only*.

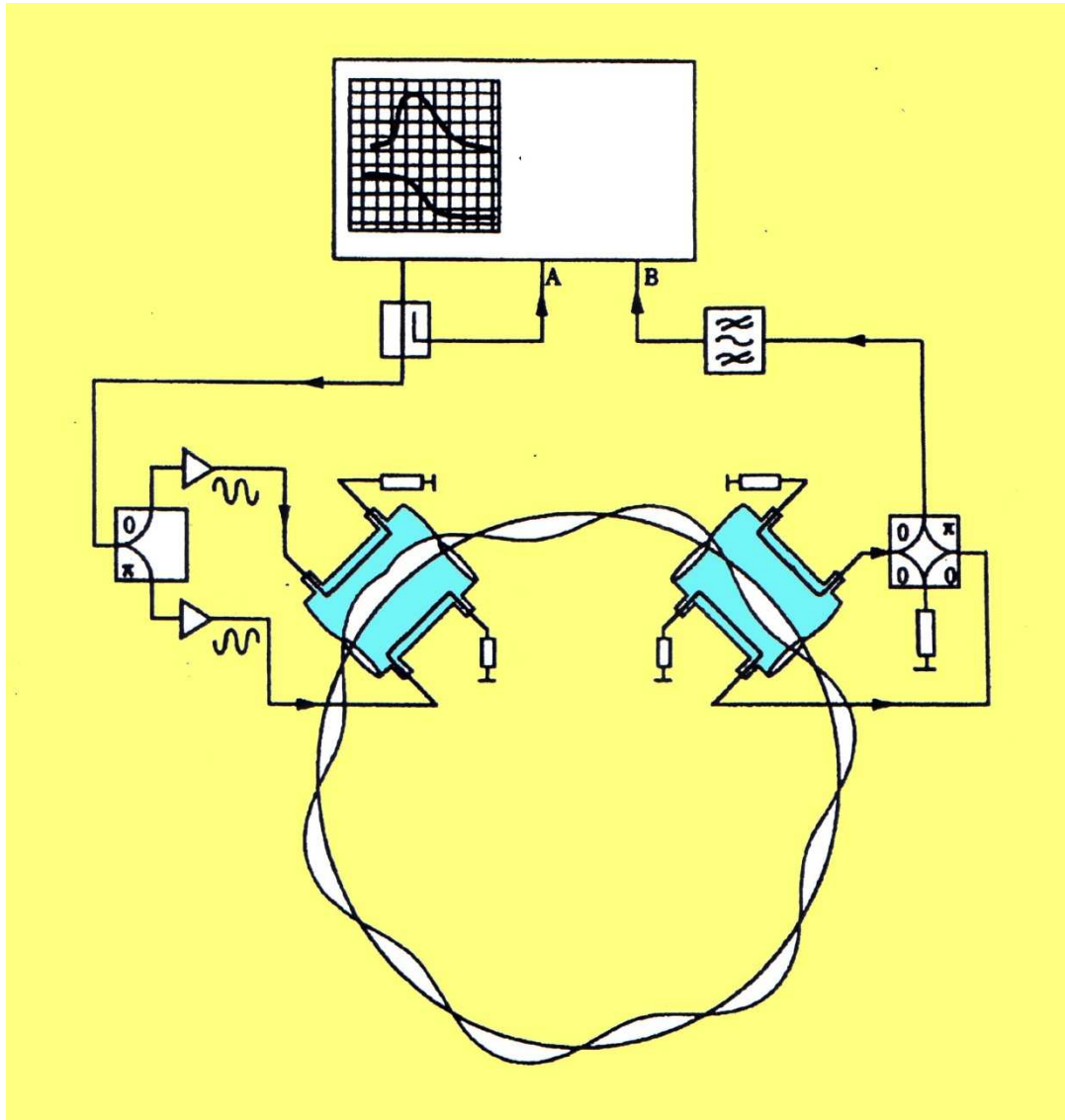


Different beam loss detectors at the GSI-synchrotron



Notions sur les mesures dynamiques : excitation du faisceau

SYNCHROTRON: Mesure du nombre d'onde. Beam Transfert Fonction



I- Excitation transitoire des modes d'oscillation transverses du faisceau (débunché) *Durée Impulsion Kicker $\tau \ll F_{rev}$*

- 1- Enregistrement tour par tour de la réponse temporelle d'un BPM
- 2- Obtention de la partie fractionnaire du nombre d'onde par transformation de Fourier

II- Excitation harmonique transverse

- 1- Mesure de la fonction de transfert du faisceau
- 1- Obtention du nombre d'onde à 10^{-4} mais méthode « lente » (qq mn)

III- Excitation par un bruit blanc

- 1- Méthode peu perturbative et rapide

Notions sur l'instrumentation Schottky

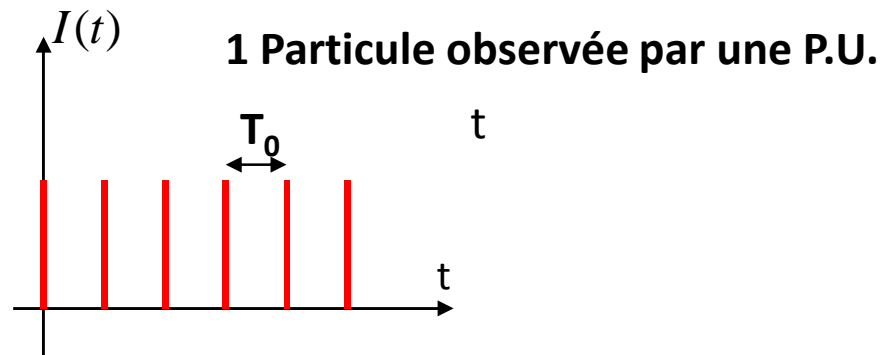
Synchrotron et anneaux de stockage: analyse du bruit Schottky du faisceau

- 1918: W. SCHOTTKY caractérise les fluctuations statistiques d'un courant créé par un ensemble fini de charges (arrivée aléatoire des e^- sur l'anode d'une diode à vide)
- Le faisceau d'un accélérateur est constitué d'un ensemble fini de particules: L'étude statistique du courant de ce faisceau permettra de remonter à ses caractéristiques

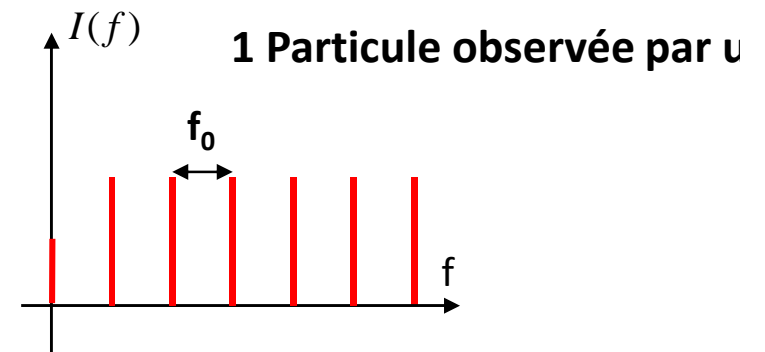
I - Cas d'une seule particule de charge Q et d'énergie E_0 dans un anneau de stockage:

- Courant électrique observé par un diagnostic parfait à une position déterminée :

$$I(t) = Q.f_0 \sum_{n=1}^{\infty} \delta(t - n.T_0) = Q. \sum_{n=-\infty}^{\infty} e^{2.\pi.i.n.f_0.t}$$



$$I(t) = Q.f_0 + 2.Q.f_0. \sum_{n=1}^{\infty} \cos(2.\pi.n.f_0.t)$$



$$I(f) = Q.f_0.\delta(0). + 2.Q.f_0 \sum_{n=1}^{\infty} \delta(f - n.f_0)$$

Notions sur l'instrumentation Schottky

Synchrotron et anneaux de stockage: analyse du bruit Schottky du faisceau

II - 2 particules d'énergies E_0 et $E_1 = E_0 + (\delta E)$ dans un anneau de stockage:

- Apparition dans le spectre en fréquence d'une raie f_1 décalée de f_0 de $(\delta f) = f_0 - f_1$ puis des raies $2f_1, 2f_1, 3f_1..$ correspondant aux harmoniques.

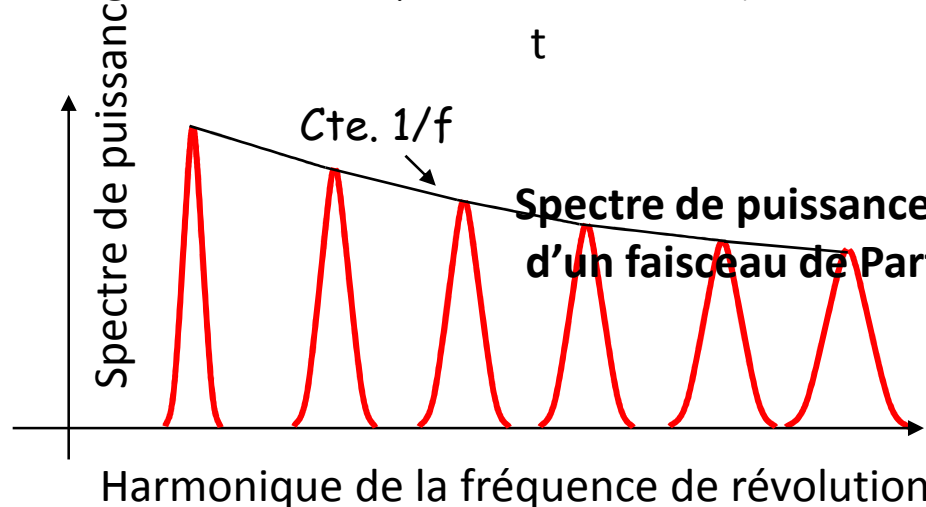
III - N particules avec chacune une différence d'énergie (δE_k) dans un anneau de stockage:

- Les particules sont distribuées aléatoirement autour de l'anneau avec un angle θ_k et une fréquence de révolution f_k . Le courant observé à une position fixe devient:

$$I(t) = \sum_{k=1}^{k=N} Q \cdot f_0 \cdot \cos \theta_k + 2 \cdot Q \cdot f_0 \cdot \sum_{n=1}^N \sum_{k=1}^{\infty} \cos(2 \cdot \pi \cdot k \cdot f_n \cdot t + k \cdot \theta_k)$$

→ Courant total par bande de fréquence:

$$I_{rms} = \sqrt{\langle I^2 \rangle} = Q \cdot f_0 \sqrt{2 \cdot N}$$



On déduit du spectre Schottky:

- La fréquence moyenne de révolution
- La distribution des particules en fonction de l'énergie

Conclusion

Mesures de base passives:

- Le bunch est considéré comme une « macro particule ». L'échelle de temps est celle de la révolution dans une machine circulaire ou de la répétition dans un LINAC.
- Le contrôle précis de la qualité des faisceaux, l'étude de la machine nécessitent la mesure de plus en plus fine de l'intensité, de la position et des profils.
- On en déduit les rendements de transmission, les durées de vie (anneaux de stockage),
- Les émittances seront mesurées en vue de l'adaptation entre les machines,
- L'augmentation de la bande passante permet l'étude des oscillations du faisceau, des instabilités, des couplages entre les bunch
- Certaines machines nécessitent la mise en oeuvre de dispositifs spécifiques: mesure de la polarisation du faisceau par exemple.

Mesures dynamiques:

- On s'intéresse à l'observation des signaux pendant une durée inférieure à la période de répétition HF ou même plus petite que celle du bunch. Le faisceau est considéré comme une distribution spatiale et temporelle de particules. Son étude nécessite le développement de nouvelles techniques
- L'évolution va ensuite vers l'augmentation des performances des machines en agissant sur le faisceau par l'intermédiaire de kickers pilotés par les signaux des diagnostics :
Cooling stochastique par exemple

Références:

DOCUMENTS :

- Laboratoire National Ganil (F. LOYER)
- Laboratoire National SATURNE
- E.S.R.F.
- CERN (« Diagnostics » de J. BORER, R. JUNG, «beam Instrumentation» de J. BOSSER)
- G.S.I. (cours « JUAS » 2002)
- I.P.N.O

BIBLIOGRAPHIE SOMMAIRE:

- CERN Accelerator School
- Publications dans les conférences et workshops: EPAC, PAC, APAC, DIPAC, BIW...
- Les écoles de l'IN2P3 : physique détecteurs , électronique, traitement du signal
- Publications sur le « WEB »: site du CERN et des autres laboratoires.

Ce fut un plaisir!
Merci de votre
courageuse
attention!!